Comune di Cantagallo Provincia di Prato



AREA TECNICA Servizio Patrimonio e Infrastrutture

MESSA IN SICUREZZA DI VIA L'ESTAQUE IN LOCALITÀ FOSSATO, MEDIANTE CONSOLIDAMENTO DEL VERSANTE A VALLE DI UN TRATTO DI VIABILITÀ SOGGETTO A MOVIMENTO FRANOSO

PROGETTO DEFINITIVO

CIG: Z37312AD61 CUP: F87H20001800001

Elaborato 19

Data: Settembre 2021

RTS GEO

Relazione Specialistica Geologica

DIRIGENTE: Arch. Nicola Serini

R.U.P.: Arch. Nicola Serini

PROGETTISTA: Dott. Ing. Gabriele Bravi

DIRETTORE DEI LAVORI: Dott. Ing. Gabriele Bravi

CSP e CSE ex D.Lgs 81/08 Dott. Ing. Gabriele Bravi

COMUNE DI CANTAGALLO

TITOLO PROGETTO:

MESSA IN SICUREZZA DI VIA L'ESTAQUE IN LOC. FOSSATO NEL COMUNE DI CANTAGALLO MEDIANTE CONSOLIDAMENTO DEL VERSANTE A VALLE DI UN TRATTODI VIABILITÀ, SOGGETTO A MOVIMENTO FRANOSO

PROGETTISTA:

ING GABRIELE BRAVI

TITOLO ELABORATO:

RELAZIONE GEOLOGICA

IL GEOLOGO:

Dr. Geol. Gianni Focardi

N. 659 O.d.G. della Toscana

CODIFICA INTERNA:

04gt21

DATA DOCUMENTO:

10 Settembre 2021

Viale della Cristallina n. 48, 50019 - Sesto Fiorentino (FI)

Tel.: 0554937392, fax 0550988172, cell. 3486703422; e mail: info@studiogeologicofocardi.it www.studiogeologicofocardi.it / pec : giannifocardi@epap.sicurezzapostale.it

Cod. Fisc.: FCRGNN67E03D612U - P. IVA: 05395830481

INDICE

1. PREMESSA	4
2. LE CONDIZIONI DI PERICOLOSITÀ DEL SITO DA S.U.	6
3. INQUADRAMENTO GEOMORFOLOGICO	7
4. DESCRIZIONE DEL FENOMENO FRANOSO	9
4.1 DINAMICA DI FORMAZIONE DEL DISSESTO	9
4.2 DESCRIZIONE E CLASSIFICAZIONE DEL MOVIMENTO FRANOSO	
4.3 Possibili cause ed evoluzioni	11
5. LE INDAGINI IN SITU E DI LABORATORIO	12
5.1 SONDAGGIO	12
5.2 LE PROVE GEOTECNICHE DI LABORATORIO	13
5.3 LA PROVE SISMICHE DI SUPERFICIE	14
6. IL MODELLO GEOLOGICO	18
7. CARATTERISTICHE SISMICHE LOCALI	20
8. LE CONDIZIONI DI STABILITÀ ED IL PROGETTO DELI	LE OPERE21
9. VERIFICHE DI STABILITÀ	22
9.1 MODELLO GEOTECNICO	22
9.2 IL SOFTWARE E CRITERI UTILIZZATI	22
9 3 ESITI DELLE VERIEICHE	24

FIGURE

Fig.1: Carta della Pericolosità Geologica;

Fig. 2: Carta della Pericolosità Idrogeologica;

Fig.3: Corografia;

Fig.4: Carta Geomorfologica;

Fig.5: Carta Geolitologica;

Fig.6: Carta Idrogeologica;

Fig.7-a: Inquadramento area franosa;

Fig.7-b: Inquadramento area franosa;

Fig.8: Ubicazione indagini;

Fig.9: Sezione litostratigrafica.

APPENDICE

Appendice 1: Carta Geologica da Data Base Regione Toscana;

Appendice 2: Carta Geomorfologica da Microzonazione Sismica Regione Toscana;

Appendice 3: Carta Geologico-tecnica da Microzonazione Sismica Regione

Toscana;

Appendice 4: tabulato verifica stabilità

ALLEGATI

ALL. 1 : Certificato IBT Prospezioni Srl per sondaggio con colonna stratigrafica e documentazione fotografica;

ALL. 2 : Certificato ELLE TI Laboratorio Terre srl per prove geotecniche di laboratorio;

ALL. 3: Certificato IBT prospezioni Srl per prove sismiche.

1. PREMESSA

Il presente lavoro espone i risultati dello studio geologico di supporto al progetto di messa in sicurezza di un tratto della sede stradale di via l'Estaque, nei pressi dell'abitato di Fossato. L'intervento si rende necessario al fine di mantenere le condizioni di sicurezza della viabilità contro il dissesto che ha interessato il versante immediatamente a valle.

Nel corso dello studio sono state determinate le caratteristiche geomorfologiche generali dell'area di progetto tramite sopralluogo della zona in esame e di un intorno ritenuto significativo. A verifica ed integrazione degli elementi raccolti è stata consultata la cartografia di supporto allo Strumento Urbanistico vigente oltre allo studio di Microzonazione Sismica della Regione Toscana e relativo al Comune di Cantagallo.

Per la caratterizzazione litostratigrafica e sismica del luogo sono state effettuate le seguenti indagini:

- n.1 sondaggio geognostico;
- prove geotecniche di laboratorio;
- prospezioni sismiche di superficie.

Il presente lavoro è redatto in ottemperanza alle seguenti normative:

- Decreto Ministeriale 17.01.2018 "Aggiornamento delle Norme Tecniche per le costruzioni";
- Consiglio Superiori dei Lavori Pubblici -Istruzione per l'applicazione delle "Norme tecniche per le costruzioni" di cui al D.M. 17 gennaio 2018. Circolare del 27 luglio 2018;
- d.p.g.r. 36/R/2009;
- Vincolo Idrogeologico R.D. 3267/1923.
- L.R. N. 39/2000 "Legge Forestale della Toscana" e successive modifiche ed integrazioni;
- L.R. N. 1/2003 "Modifiche alla L.R. del 21 marzo 2000 N. 39. Legge Forestale della Toscana" e successive modifiche ed integrazioni;
- D.P.G.R. 5 Maggio 2015 N. 53/R ("Modifiche al Regolamento Forestale della Toscana").
- Strumento Urbanistico vigente.

Con riferimento alle NTC 2018 i contenuti della presente relazione rispettano quanto previsto all'art. 6.2.1 "Caratterizzazione e modellazione geologica del sito"

e pertanto comprende, "sulla base di specifici rilievi ed indagini, la identificazione delle formazioni presenti nel sito, lo studio dei tipi litologici, la struttura del sottosuolo e dei caratteri fisici degli ammassi, definisce il modello geologico del sottosuolo, illustra e caratterizza gli aspetti stratigrafici, strutturali idrogeologici, geomorfologici, nonché i conseguenti livelli delle pericolosità geologiche".

2. LE CONDIZIONI DI PERICOLOSITÀ DEL SITO DA S.U.

Dalla carta della pericolosità geologica del Piano Strutturale l'area ricade in classe 3 con "substrato lapideo su pendenze maggiori del 35%.

Nella carta della pericolosità idrogeologica del Piano Strutturale l'area è esterna alle zone classificate in pericolosità idraulica.

3.INQUADRAMENTO GEOMORFOLOGICO

La zona più propriamente in studio riguarda un tratto di versante che si sviluppa in un settore prospiciente l'abitato di Fossato, fuori dall'area edificata (vedi anche la corografia di fig. 3).

Il pendio, nel tratto interessato dal fenomeno gravitativo, è delimitato sia a monte che a valle dalla viabilità pubblica comunale ed è compreso tra le quote di circa 725 e 695 m s.l.m..

Morfologicamente l'area dissestata corrisponde alla pendice, in sinistra idrografica, che delimita un vallecola incisa dal corso d'acqua del torrente Noceto, riconosciuto ufficialmente nel reticolo idrografico dalla LR 79/2012 aggiornata con DCR 81/2021 (vedi anche l'illustrazione seguente con evidenziata l'area franata in studio).



Il versante presenta pendenze notevoli anche del 50-60% e risulta coperto da vegetazione arborea, ad eccezione della parte dissestata dove è ricrescita una vegetazione arbustiva.

La carta geomorfologica del Piano Strutturale non riporta elementi di dissesto (fig. 4), così come la carta estratta dal Data Base della Regione Toscana (appendice 1). Analogamente anche la Carta geologica e geomorfologica della Regione Toscana e di supporto allo studio di Microzonazione Sismica riporta la presenza di depositi di versante in aree esterne a quella interessata dal fenomeno gravitativo (vedi appendice 2); più a valle è cartografato un settore classificato come deposito di frana quiescente.

Dal punto di vista geologico (vedi anche appendice 1 e 3) i rilievi che caratterizzano l'area sono costituiti da termini rocciosi appartenenti al Dominio Toscano - Formazione del Torrente Carigiola – Membro a megastrati arenacei (TGC1): torbiditi arenaceo pelitiche e siltitico pelitiche. Sono presenti megatorbiditi.

Nell'area in studio e per un congruo intorno non vi sono affioramenti evidenti del substrato roccioso. E' presente una coltre detritica diffusa.

Con riferimento alla circolazione idrogeologica superficiale che caratterizza i depositi detritici precedentemente descritti, la permeabilità è di tipo primario per porosità (determinata dalla presenza di vuoti intercomunicanti). La vulnerabilità dell'acquifero rientra pertanto in classe compresa tra media e ridotta a causa della granulometria eterogenea dei depositi. Nel periodo estivo non sono risultate evidenze di emergenze acquifere.

4. DESCRIZIONE DEL FENOMENO FRANOSO

Nell'area è stato eseguito un rilevamento di campagna al fine di inquadrare il dissesto nella più generale dinamica di versante sul quale insiste. Informazioni indiritte sono state desunte anche dal rilievo plano-altimetrico di dettaglio, mentre dati fondamentali per la comprensione dell'innesco del fenomeno gravitativo derivano da testimonianza diretta dei tecnici comunali.

4.1 DINAMICA DI FORMAZIONE DEL DISSESTO

Il movimento franoso ha avuto origine a Maggio del 2019 a seguito di condizioni meteoriche anomale. I tecnici del comune riportano infatti un'abbondante precipitazione nevosa fuori stagione seguita da intense precipitazioni piovose. L'insieme di questi due fenomeni ha molto probabilmente saturato gli strati più superficiali che in seguito si sono movimentati dando origine al movimento franoso. Il movimento è stato piuttosto repentino ed ha interessato un settore specifico del pendio causando l'asportazione della coltre vegetale (vedi foto seguente e figure 7-a, 7-b).



Foto 1 - Corpo di frana

4.2 DESCRIZIONE E CLASSIFICAZIONE DEL MOVIMENTO FRANOSO

Il versante oggetto della frana è costituito da una coltre detritica.

La corona della frana ha andamento frastagliato e si sviluppa sulla pendice immediatamente a valle della banchina stradale (vedi anche la foto 2) . Sia la banchina che la viabilità non mostrano segni di dissesto (foto 3). La scarpata di frana ha altezza indicativa di circa 2 metri e presenta alcuni scoscendimenti.

Il movimento si è sviluppato lungo la direzione di massima pendenza con tendenza alla richiusura verso valle raggiungendo comunque, con il corpo franato, il T. Noceto.

Dal rilievo di superficie la tipologia di dissesto sembrerebbe ricondursi ad una frana rotazionale (al coronamento) con evoluzione traslativa verso valle. Si presume che l'innesco sia da monte con trascinamento verso valle del detrito; la superficie di scorrimento dell'ordine di qualche metro di profondità .



Foto 2 - Corona di frana.



Foto 3 - Sede stradale in corrispondenza del fenomeno franoso. Al limite della pavimentazione, il tombino carrabile del sondaggio geognostico.

4.3 POSSIBILI CAUSE ED EVOLUZIONI

Sulla base degli elementi rilevati si possono ipotizzare le possibili cause del dissesto. Per praticità si dividono le cause tra predisponenti e scatenanti come segue:

Cause predisponenti

- Litologiche: Il versante è costituito da una spessa coltre detritica
- Geomorfologiche: Versante molto acclive con pendenze anche del 60%

Cause scatenanti

- Idrologiche: Sequenza anomala fuori stagione di precipitazioni nevose e a seguire piovose.

Nelle ultime stagioni non sembrerebbero esservi state riattivazioni del movimento. Non vi sono segni di retrogressione.

5. LE INDAGINI IN SITU E DI LABORATORIO

Come precedentemente accennato in premessa, per la caratterizzazione litostratigrafica e sismica del sito è stata effettuata una campagna di indagini consistita in:

- N.1 sondaggio a carotaggio continuo;
- Prove geotecniche di laboratorio;
- Prospezioni sismiche.

Il sondaggio e le prove sismiche sono state eseguite dalla società IBT Prospezioni Srl, le prove di laboratorio da ELLE TI.

L'ubicazione delle indagini è riportata in Figura 7.

5.1 SONDAGGIO

Il sondaggio, del tipo a carotaggio continuo, è stato realizzato in data 12/05/2021 ed ha raggiunto la profondità di 17,80 m dal locale p.d.c..

Dagli esiti della prospezione risulta la seguente successione litostratigrafica principale (vedi all.1):

- ➤ fino alla profondità di 11 m → detrito di versante costituito principalmente da limi e sabbie con ghiaie.
- → per profondità maggiori e fino alla massima indagata → alternanza di livelli arenacei con detrito di ghiaie media e grossolana in matrice limoso sabbiosa, presenza di marne e siltiti destrutturati e alterati.

Nel corso della perforazione sono state eseguite alcune prove S.P.T., gli esiti delle quali sono di seguito riportati:

n. S.P.T.	Profondità	Numero colpi	N_{SPT}
	m da p.c.		
SPT 1	da 2,0	9-2-3	5
SPT 2	da 7,5	7-9-8	17

Da tali valori deriva una consistenza del terreno che aumenta con la profondità e di tipo (vedi anche l'abaco di seguito riportato):

- "plastico"
- "duro-molto duro"

Definizione della consistenza	Numero dei colpi N (S.P.T.)	Indice di consistenza Ic	Coesione non drenata cu (bar)
Terreno coerente			
Molto soffice	< 2	~0	<0,1
Soffice	2÷ 4	$0 \div 0,25$	$0,1 \div 0,25$
Plastico	4÷ 8	$0,25 \div 0,5$	$0,25 \div 0,5$
Duro	8÷15	$0.5 \div 0.75$	$0,5 \div 1,0$
Molto duro	$15 \div 30$	$0,75 \div 1,0$	$1,0 \div 2,0$
Durissimo	>30	> 1,0	> 2,0
Terreno incoerente		Densità relativa Dr	Angolo di attrito φ'
(sabbie e ghiaie)			
Molto sciolto	<4	< 0,2	< 30°
Sciolto	4÷10	$0,2 \div 0,4$	30°÷35°
Medio	10÷30	0,4-0,6	35°÷40°
Denso	$30 \div 50$	$0,6 \div 0,8$	40°÷45°
Molto denso	>50	>0,8	>450

Valutazione dei parametri di resistenza dai dati S.P.T. (da *CESTELLI GUIDI, Geotecnica e tecnica delle fondazioni*, Vol.I, Ed Hoepli, 1987).

5.2 LE PROVE GEOTECNICHE DI LABORATORIO

Sono state eseguite prove geotecniche di laboratorio su due campioni prelevati tra le profondità di 6,4/6,8 m e 9,5/9,9 m. Nello specifico sono state effettuate le seguenti prove:

- Prova di taglio diretto con scatola di Casagrande consolidata drenata (CD)
- Analisi granulometrica sul primo campione

Di seguito si riporta una tabella con la sintesi dei dati maggiormente significativi estratti dal certificato di prova (vedi all. 2); alcuni di questi parametri derivano dall'elaborazione dei dati sperimentali.

Campione	1	2
Profondità prelievo (m)	6,4-6,8	9,5-9,9
Descrizione	Ghiaia con limo, argillosa sabbiosa	Limo argilloso con inclusi ghiaiosi
Peso volume (kN/mc)	20,7	20,3
Angolo di attrito interno φ' (°)	27	25
Coesione c' (kPa)	49	20
Ghiaia (%)	34	
Sabbia (%)	18	
Limo (%)	26	
Argilla (%)	22	

5.3 LA PROVE SISMICHE DI SUPERFICIE

Al fine di caratterizzare la risposta sismica del sito in esame, ed in particolare i valori di velocità delle onde di taglio, è stata eseguita una campagna geofisica consistita in:

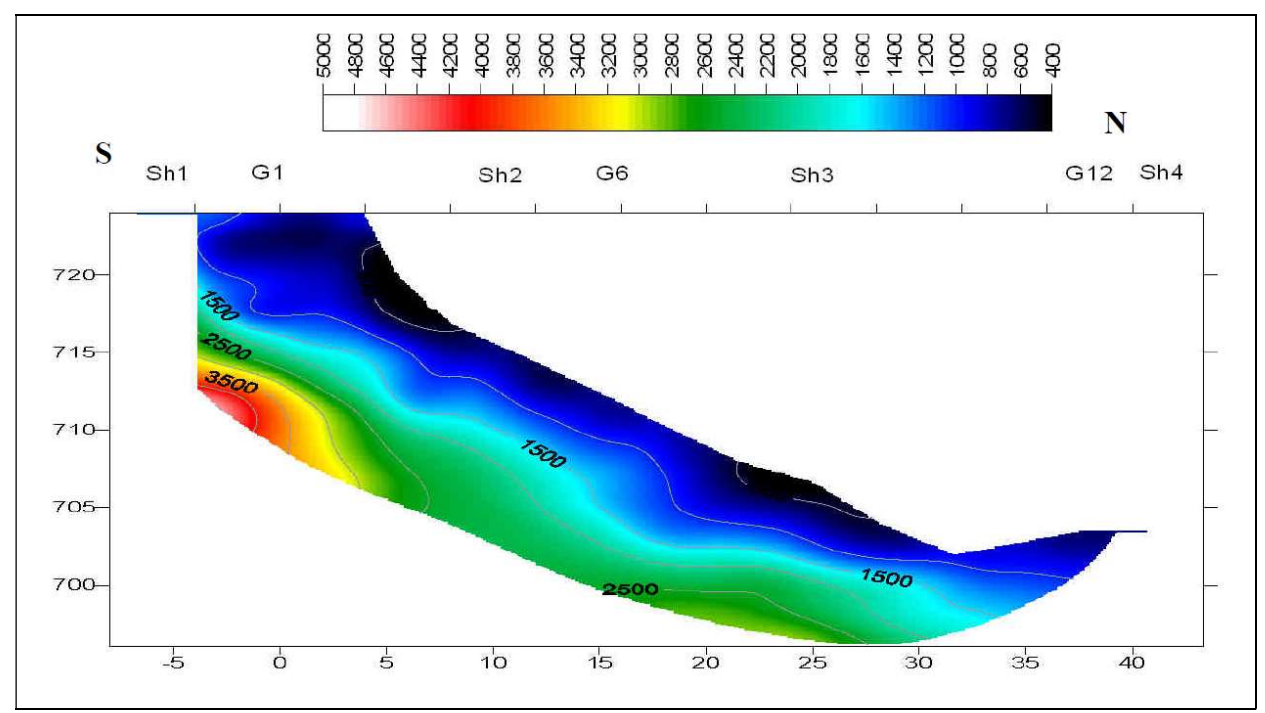
- Analisi della dispersione delle onde di Rayleigh da misure di sismica attiva
 MASW (Multi-channel Analysis of Surface Waves);
- Rilievo di microtremori con stazione singola HVSR per valutare la presenza di fenomeni di risonanza;
- Due stendimenti di sismica a rifrazione in onde P per la valutazione dei principali orizzonti presenti.

Per il dettaglio delle metodologie d'indagine, dello schema operativo, delle operazioni di campagna, delle strumentazioni e delle modalità di analisi dei dati, ed infine dell'interpretazione dei dati elaborati si rimanda al report di prova in allegato 3.

5.3.1 La sismica a rifrazione

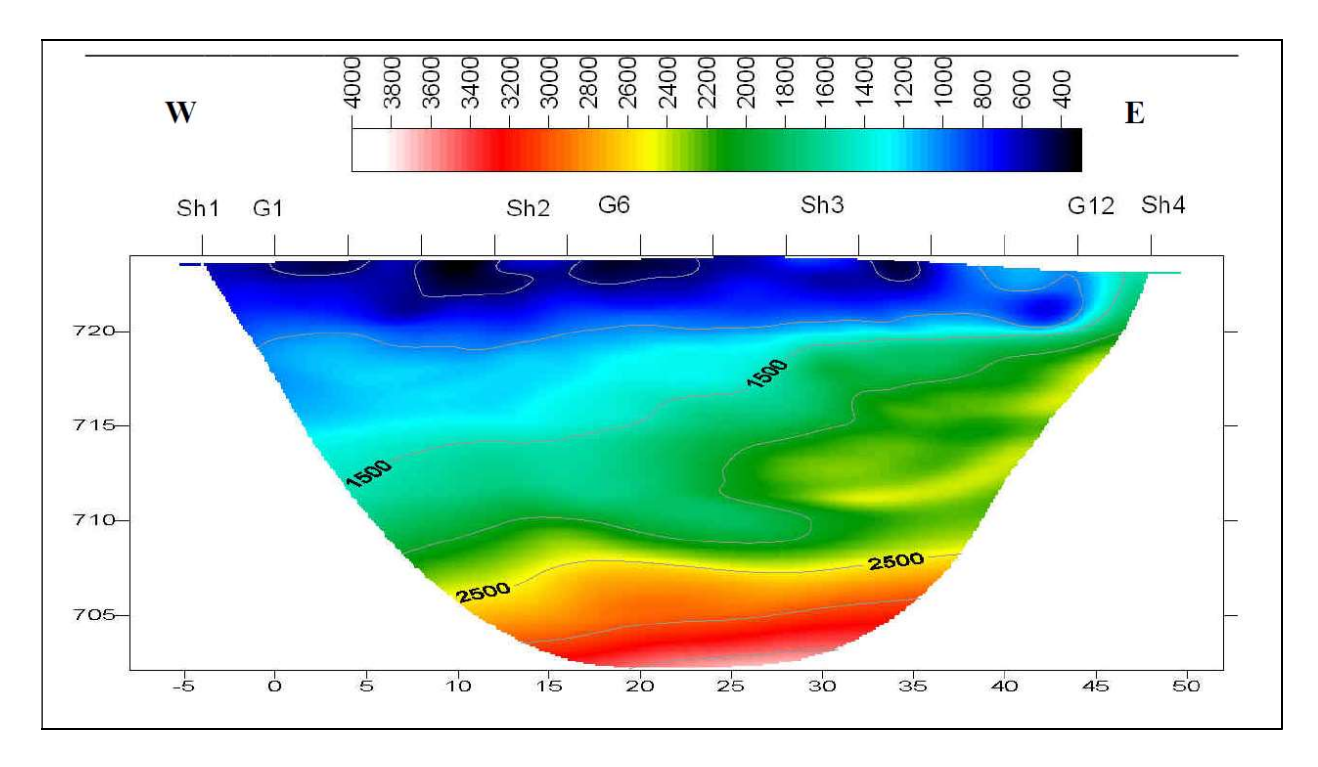
Gli stendimenti di sismica a rifrazione sono stati realizzati perpendicolarmente uno all'altro. In particolare lo stendimento 1 segue la frana nella direzione di scorrimento, orientato circa N-S; lo stendimento 2 si sviluppa sulla sede stradale quindi immediatamente a monte della zona dissestata, con direzione circa W-E. Dalla relazione geofisica, il primo stendimento ha riscontrato la presenza di tre strati principali:

"Un primo orizzonte con velocità di propagazione delle onde p fino a 700-900 m/s con spessore massimo varabile da 4 a 8-10m interpretabile come depositi copertura alterazione; lo spessore di questo livello si mostra molto diverso tra la parte alta dello stendimento dove si trova la strada e gli spessori sono massimi. È riconoscibile un secondo orizzonte con velocità delle onde p fino a 1500-1700 m/s con spessore massimo investigato di circa 5 m; questo orizzonte è interpretabile come substrato alterato / detrito addensato. Il terzo orizzonte con velocità maggiori è interpretabile come substrato poco alterato; è significativo notare come il substrato sia riconosciuto solo nel tratto iniziale dello stendimento e sembri approfondirsi nel tratto finale."



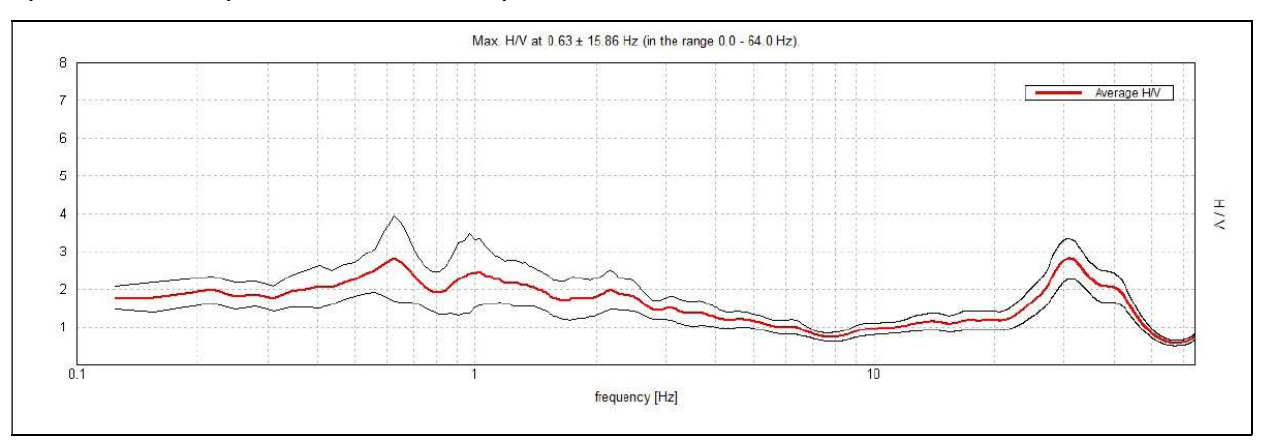
Anche il secondo stendimento ha rilevato 3 strati principali:

"Un primo orizzonte con velocità di propagazione delle onde p fino a 700-900 m/s con spessore massimo varabile da 4 a 10-12m interpretabile come depositi copertura alterazione; lo spessore di questo livello si mostra massimo nel tratto iniziale dello stendimento. È riconoscibile un secondo orizzonte con velocità delle onde p fino a 1500-1700 m/s con spessore massimo investigato di circa 5 m nel primo tratto dello stendimento e con spessore maggiore 8-12 m nel tratto finale; questo orizzonte è interpretabile come substrato alterato / detrito addensato. Il terzo orizzonte con velocità maggiori è interpretabile come substrato poco alterato."



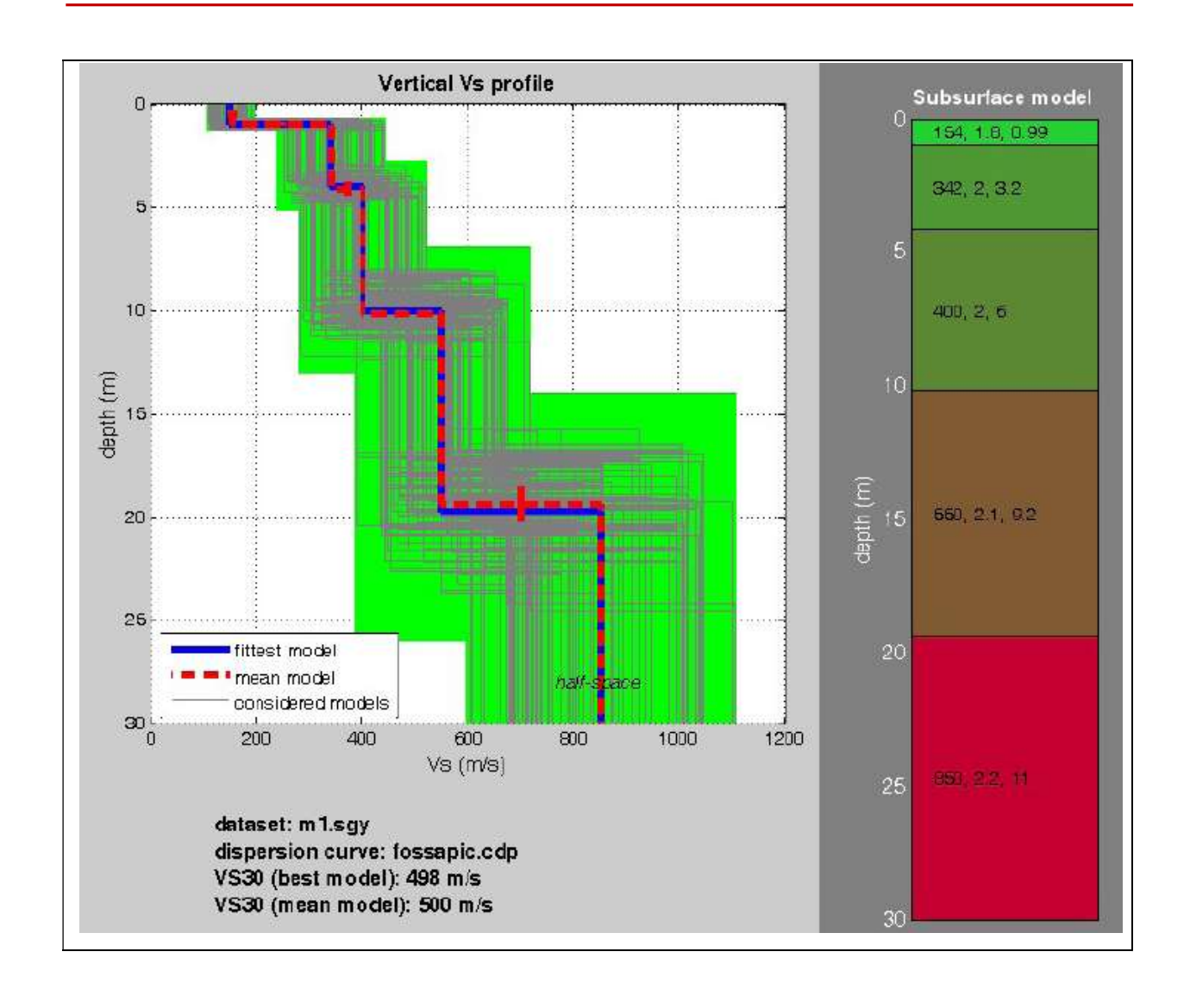
5.3.2 La misura HVSR

Dai risultati dell'indagine HVSR risulta (vedi anche la relazione) nella misura n.1 picco con frequenza 32 Hz e ampiezza 2.8.



5.3.3. La MASW

Dall'analisi congiunta dell'analisi HVSR e dell'analisi MASW deriva un modello sismo stratigrafico delle onde Vs con progressivo aumento delle velocità con la profondità (vedi anche l'illustrazione alla pagina seguente). Gli incrementi più significativi risultano a circa 10 metri (passaggio al substrato alterato?) e a 20 metri, quest'ultimo con raggiungimento delle velocità maggiori di 800 m/s (substrato a consistenza lapidea?).



6. IL MODELLO GEOLOGICO

Le indagini effettuate hanno consentito di verificare le caratteristiche geologiche della zona e la locale successione litostratigrafica. In particolare si distinguono:

- Il terreno franato che è costituito da una coltre eterogenea e scarsamente addensata di spessore medio stimato in circa 3-5 metri, al tetto di una coltre detritica di più ampio spessore (circa 10 metri).
- Al di sotto della coltre detritica si passa presumibilmente ai terreni di alterazione del substrato che risultano di composizione analoga ai soprastanti ma con maggiore grado di addensamento ed una percentuale più rilevante dei termini lapidei con strati e/o trovanti decimetrici di arenarie; il passaggio tra questa unità e la soprastante è piuttosto graduale.
- Infine dalla profondità di circa 20 metri (dalla sede stradale) è forse presente il substrato roccioso.

Pertanto si distinguono le seguenti unità litostratigrafiche:

UNITA' A : Terreno franato. Costituisce la coltre movimentata dal dissesto. Si stima di spessore medio circa 3-5 metri. E' costituito da limi sabbiosi con detrito arenaceo e trovanti. La consistenza è scarsa.

UNITA' B: Coltre detritica. E' una coltre diffusa lungo tutto il pendio e comprende anche la sede stradale di progetto. Ha un spessore medio di circa 10 metri dal locale piano di campagna. E' costituita da limi sabbiosi con detrito di ghiaie medie e grossolane, di consistenza da plastica a molto dura.

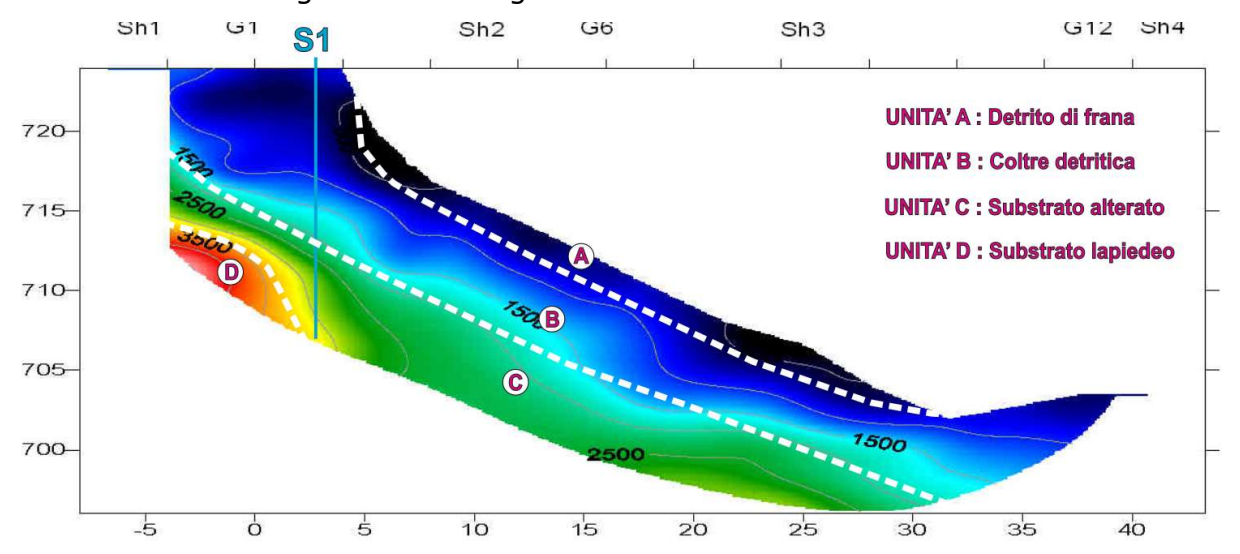
UNITA' C: Substrato alterato e/o molto alterato.

E' costituito da livelli arenacei con detrito di ghiaie medie e grossolana in matrice limoso sabbiosa e presenza di marne e siltiti destrutturati e alterati. Di consistenza medio-elevata.

UNITA' D : Substrato roccioso. E' stato rilevato solamente dalle prospezioni sismiche a profondità di circa 20 metri. Si tratta presumibilmente di arenarie stratificate.

Relativamente al livello di falda si potrà assumere che questo possa corrispondere pressoché al livello del piano di campagna nel periodo invernale con abbassamento di svariati metri in quello estivo.

La sezione stratigrafica con evidenziato il modello sopra ricostruito è riportata nell'illustrazione seguente ed in fig. 10.



7. CARATTERISTICHE SISMICHE LOCALI

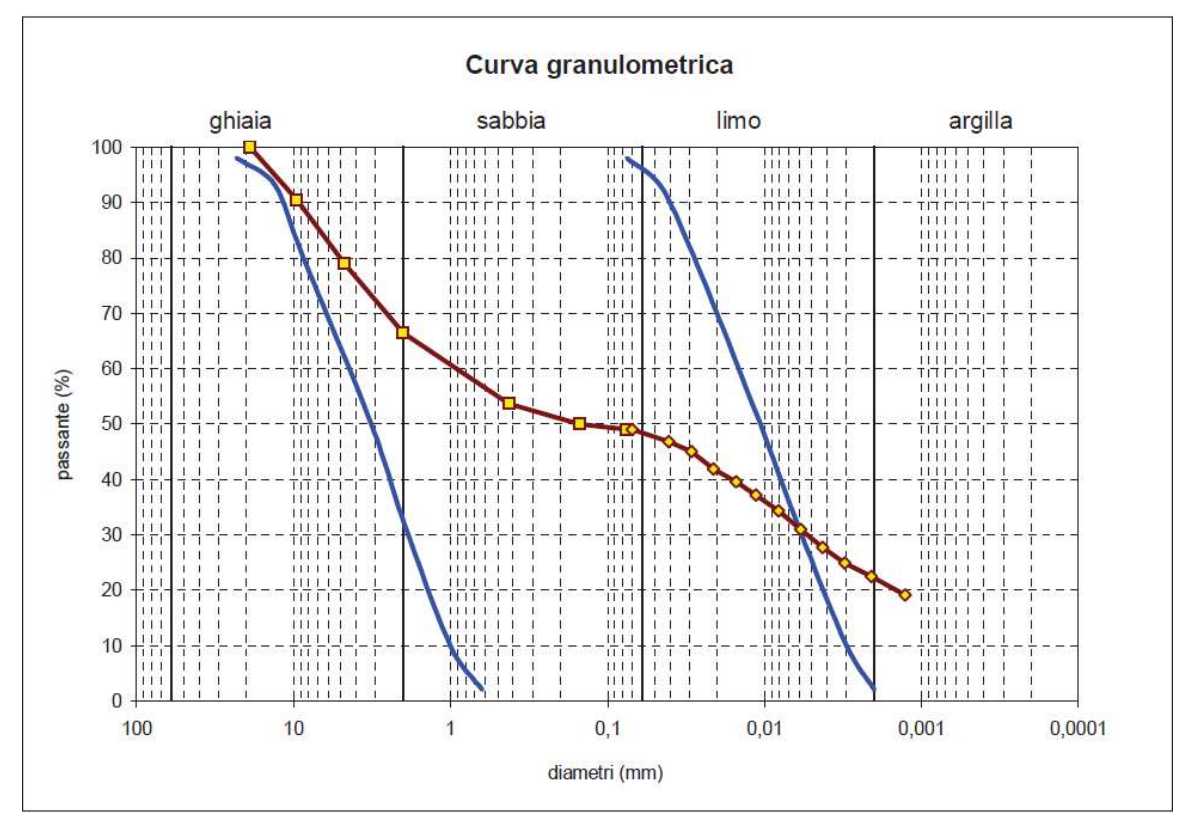
L'analisi tramite sistema HVSR ha evidenziato un picco alla frequenza 32 Hz e ampiezza 2.8.

Relativamente alla determinazione della categoria di sottosuolo si riporta quanto riportato nella relazione sismica:

"La velocità Ve per il terreno in esame è pari a 408 m/s. La categoria di suolo da attribuire al sito in esame è B".

Riguardo alla stabilità nei confronti della liquefazione l'analisi granulometrica è stata elaborata per confrontare la distribuzione dei valori ottenuti in relazione al fuso suscettibile di liquefazione previsto dalle NTC 2018.

Dal certificato di laboratorio risulta il seguente grafico:



Vi è una percentuale rilevante (circa 30%) che ricade esternamente al fuso di possibile liquefazione e pertanto si esclude tale verifica.

8. LE CONDIZIONI DI STABILITÀ ED IL PROGETTO DELLE OPERE

Dagli elementi emersi dal presente studio risulta in sintesi come il fenomeno gravitativo che ha interessato la pendice (molto acclive) immediatamente a valle della banchina stradale si è innescato in condizione meteo-climatiche particolari (neve e poi pioggia). Il dissesto ha avuto innesco e esaurimento in breve tempo. Non si segnalano particolari fenomeni di riattivazione e/o o retrogressione.

Il terreno franato riguarda lo strato più superficiale (qualche metro circa) di una coltre detritica di notevole spessore (circa 10 metri).

L'intervento strutturale proposto è relativo ad una paratia di micropali da sviluppare in prossimità del ciglio stradale, in una zona stabile seppure al limite del coronamento di frana. Tale opera si prefigge pertanto di garantire la sicurezza della viabilità pubblica nel caso di un'eventuale riattivazione di quel fenomeno franoso e nell'ipotesi di una retrogressione del ciglio di coronamento.

In sintesi la paratia dovrebbe garantire la stabilità della sede stradale anche nel caso, in cui per retrogressione del dissesto, l'opera strutturale di dovesse "scoprire" verso valle.

9. VERIFICHE DI STABILITÀ

Fermo restando lo sviluppo del corpo franoso a valle, sono state eseguite le verifiche di stabilità del versante considerando l'inserimento della paratia di progetto e nell'ipotesi di analizzare l'interazione dell'opera con un'eventuale evoluzione di quel dissesto franoso verso monte.

9.1 MODELLO GEOTECNICO

Per il modello geotecnico si è assunto conservativamente che il substrato alterato (unità C) abbia i medesimi parametri caratteristici della coltre detritica (unità B) e che la coltre franata (unità A) abbia coesione nulla.

Quindi i parametri caratteristici considerati sono i seguenti:

Unità A

Peso di volume $\gamma = 20,0 \text{ kN/mc}$

Coesione drenata c' = 0 kPaAngolo d'attrito interno drenato $\Phi' = 25^{\circ}$

Unità B+C

Peso di volume $\gamma = 20,0 \text{ kN/mc}$

Coesione drenata c' = 15 kPa

Angolo d'attrito interno drenato $\Phi' = 25^{\circ}$

Si trascura la presenza di roccia non alterata in profondità.

Inoltre, il modello assume, in via cautelativa, il livello della falda pari al piano campagna in modo da simulare le condizioni di saturazione che hanno portato originariamente all'innesco della frana.

9.2 IL SOFTWARE E CRITERI UTILIZZATI

Per la verifica è stato utilizzato il software "slope" prodotto dalla "Geostru software" con la seguente licenza d'uso:



Slope è un programma per l'analisi di stabilità dei pendii in terra con i metodi dell'Equilibrio Limite (Fellenius, Bishop, Janbu, Bell, Sarma, Spencer, Morgenstern e Price) e il metodo DEM (Elementi Distinti).

Consente di analizzare sia superfici di rottura circolari che di forma generica, in presenza di falda, sisma e terreno pluristratificato. Il software prevede anche l'inserimento di opere d'intervento come muri, tiranti, pali, terre rinforzate e sistemazioni a gradoni.

Le verifiche di sicurezza sono state effettuate con metodi che tengano conto del tipo di frana e dei possibili cinematismi, considerando forma e posizione della eventuale superficie di scorrimento, le proprietà meccaniche dei terreni e il regime delle pressioni interstiziali.

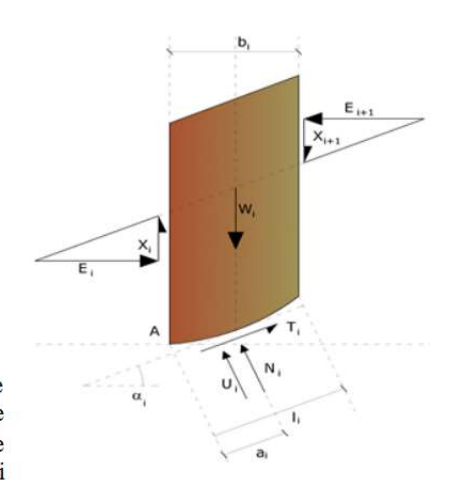
La valutazione del coefficiente di sicurezza dei pendii naturali, espresso dal rapporto tra la resistenza al taglio disponibile e la tensione di taglio agente lungo la superficie di scorrimento, è stata eseguita impiegando i parametri geotecnici, congruenti con i caratteri del cinematismo atteso o accertato presi con il loro valore caratteristico.

Tra le varie opzioni di calcolo offerte dal software, si è adottato il metodo di analisi proposto da Bishop del quale si riporta un estratto del modello.

Metodo di Bishop (1955)

Con tale metodo non viene trascurato nessun contributo di forze agenti sui blocchi e fu il primo a descrivere i problemi legati ai metodi convenzionali. Le equazioni usate per risolvere il problema sono:

I valori di F e di ΔX per ogni elemento che soddisfano questa equazione danno una soluzione rigorosa al problema. Come prima approssimazione conviene porre $\Delta X=0$ ed iterare per il calcolo del fattore di sicurezza, tale procedimento è noto come metodo di **Bishop ordinario**, gli errori commessi rispetto al metodo completo sono di circa 1%



I risultati del calcolo completi restituiti secondo l'editing del software sono riassunti in tabulati riportati in appendice e di quali contengono anche tutte le informazioni necessarie alla comprensione della situazione morfologica, stratigrafica e geotecnica considerata.

9.3 ESITI DELLE VERIFICHE

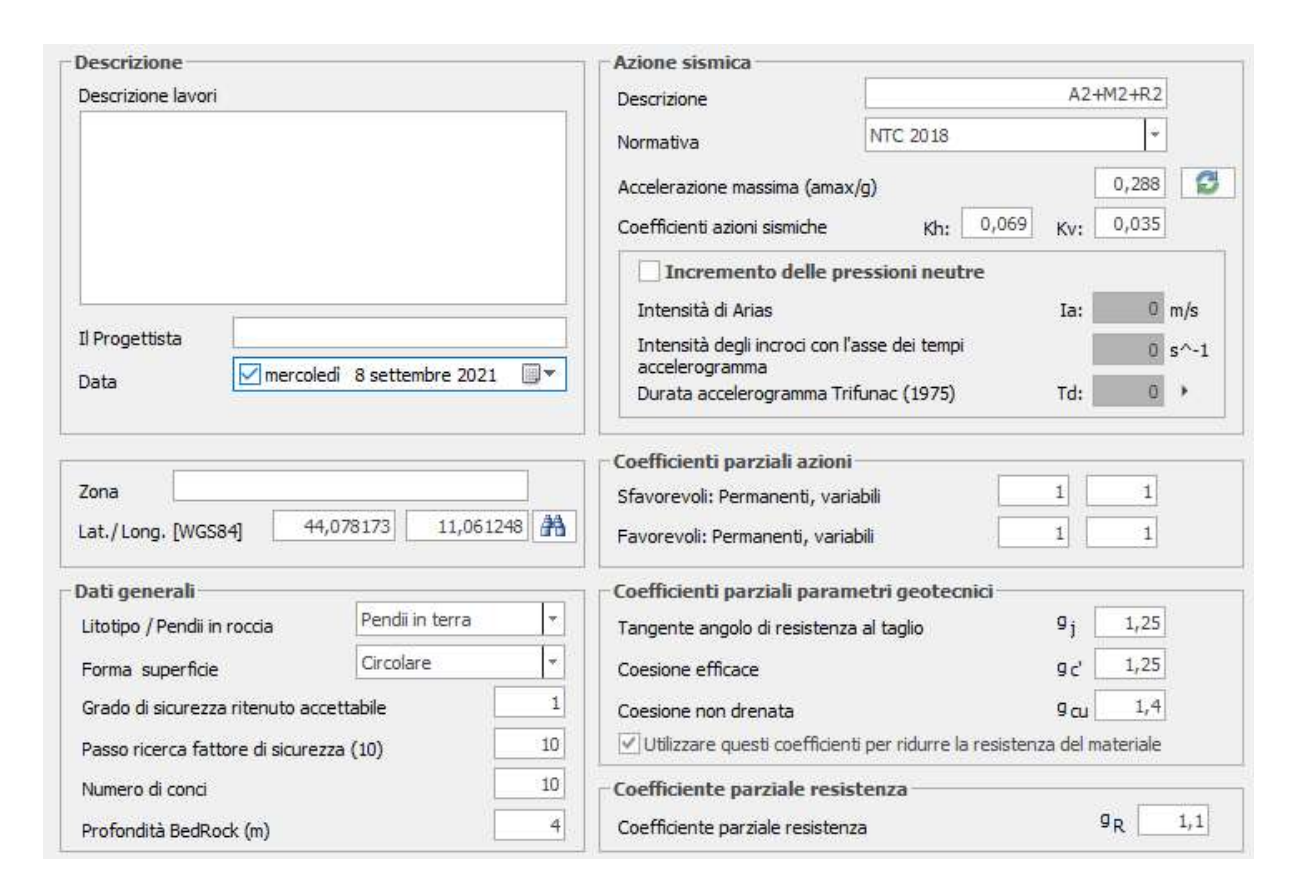
Le verifiche di stabilità sono state condotte facendo riferimento all'approccio 1 combinazione 2 (A2+M2+R2) <u>valutando però le condizioni maggiormente</u> <u>conservative in assoluto</u> e quindi :

- condizioni dinamiche;
- > coefficienti parziali per i parametri geotecnici di resistenza al taglio γ_{M2} , riportati nella Tabella 6.2.II :

Tab. 6.2.II – Coefficienti parziali per i parametri geotecnici del terreno							
Parametro	Coefficiente parziale γ_{M}	(M1)	(M2)				
Tangente dell'angolo di resi- stenza al taglio	tan φ' _k	$\gamma_{\phi'}$	1,0	1,25			
Coesione efficace	c′ _k	Ye	1,0	1,25			
Resistenza non drenata	c _{uk}	Ϋ́cu	1,0	1,4			
Peso dell'unità di volume	γγ	γ_{γ}	1,0	1,0			

 \triangleright coefficiente parziale per la resistenza globale $\gamma_R = 1, 1$.

I dati generali di imput per la verifica sono pertanto riassunti nella schermata seguente:



A chiarimento, il dato riportato nel "Grado di sicurezza ritenuto accettabile" che appare nella precedente immagine non ha alcun influenza numerica sul calcolo. In base al valore inserito il software evidenzierà nei diversi report (grafici e di testo) le superfici con fattore di sicurezza inferiori al valore imposto. Ossia, trattasi di un indicatore del livello di sicurezza che l'utente vuole mantenere in riferimento allo stato limite che sta verificando.

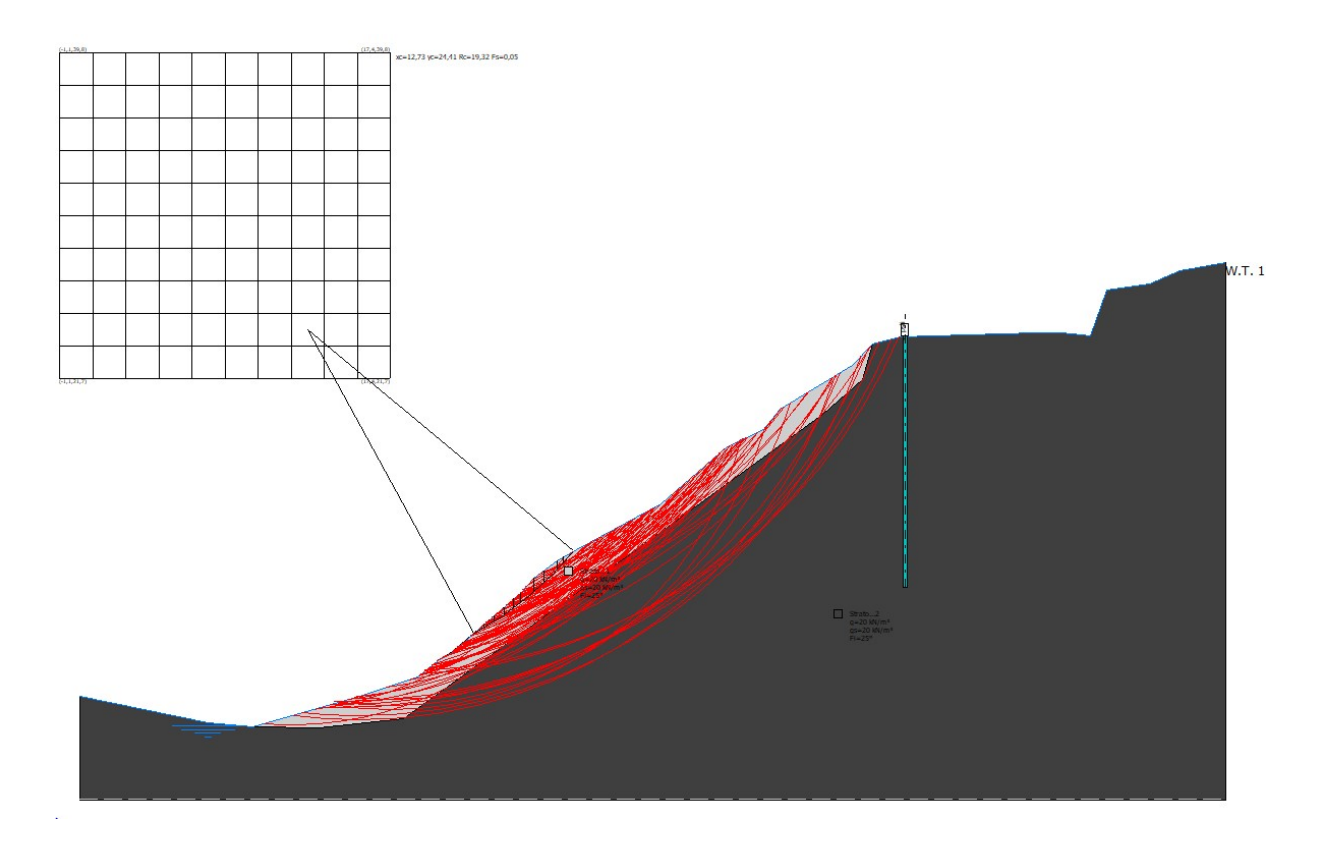
Infine, nel modello è stata inserita l'opera di progetto (paratia di micropali) che si considera di resistenza pressoché infinita al fine di valutare la sua utilità nella distribuzione delle superfici di scorrimento, non si entra nel merito del suo dimensionamento geotecnico.

I cerchi di verifica sono stati suddivisi in scala cromatica con i seguenti criteri in funzione del valore del coefficiente di sicurezza Fs:

- Fs<1 colore rosso
- 1≤Fs<1,3 giallo
- Fs≥1,3 verde

Tutti calcoli sono stati eseguiti in condizioni drenate.

Il risultato grafico è riassunto nella schermata seguente:



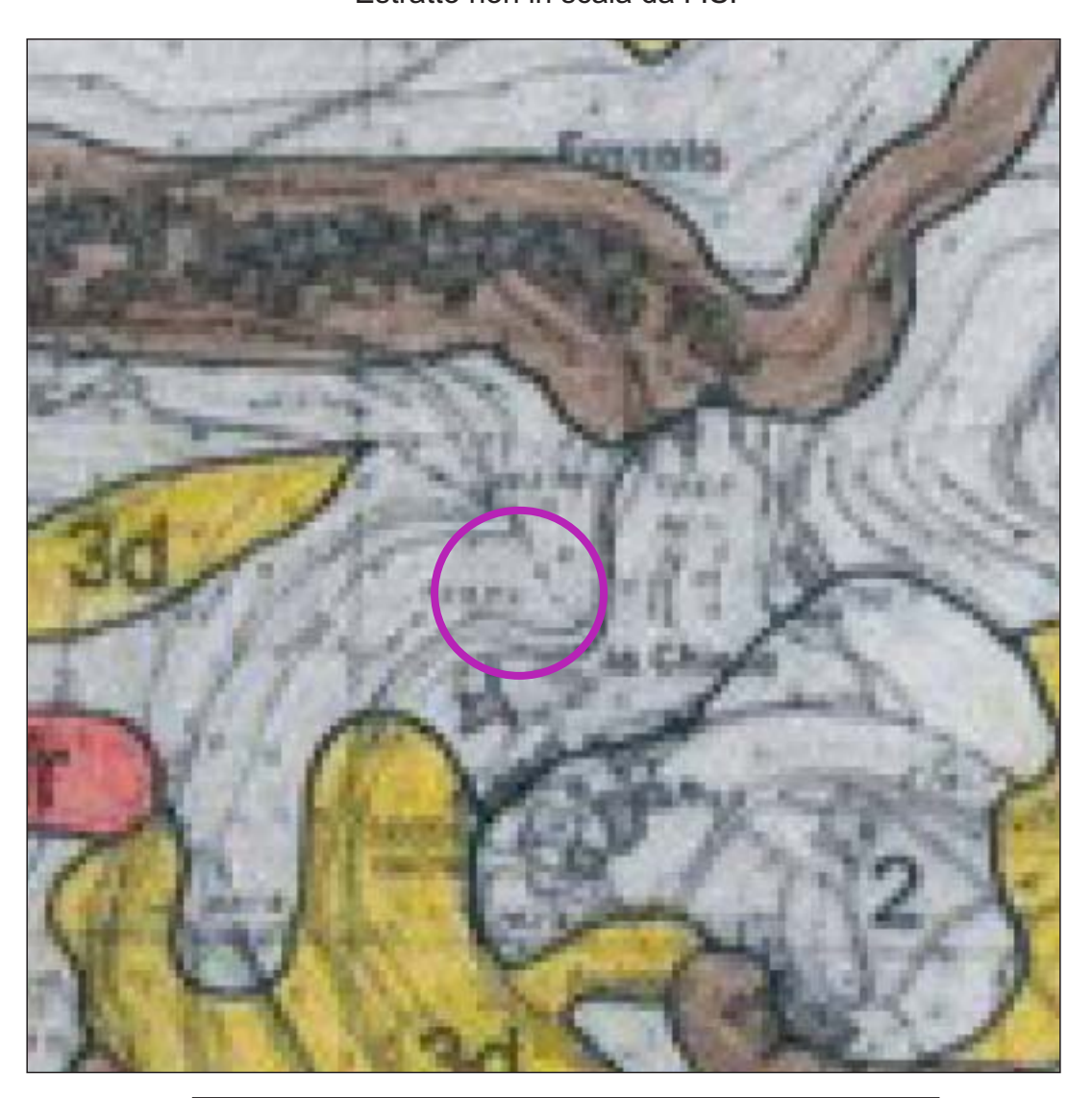
Lo strato in grigio chiaro rappresenta in maniera schematica la coltre franata (unità A), mentre lo strato sottostante grigio scuro la coltre detritica/substrato alterato (unità B+C).

Le pessime condizioni al contorno (condizioni dinamiche, parametri ridotti, terreno saturo) determinano le condizioni di instabilità del versante ma la palificata posta a salvaguardia della strada evita effettivamente conseguenze sulla viabilità.

Sesto Fiorentino, 10 Settembre 2021

Fig. 1 - Carta della Pericolosità Geologica

Estratto non in scala da P.S.



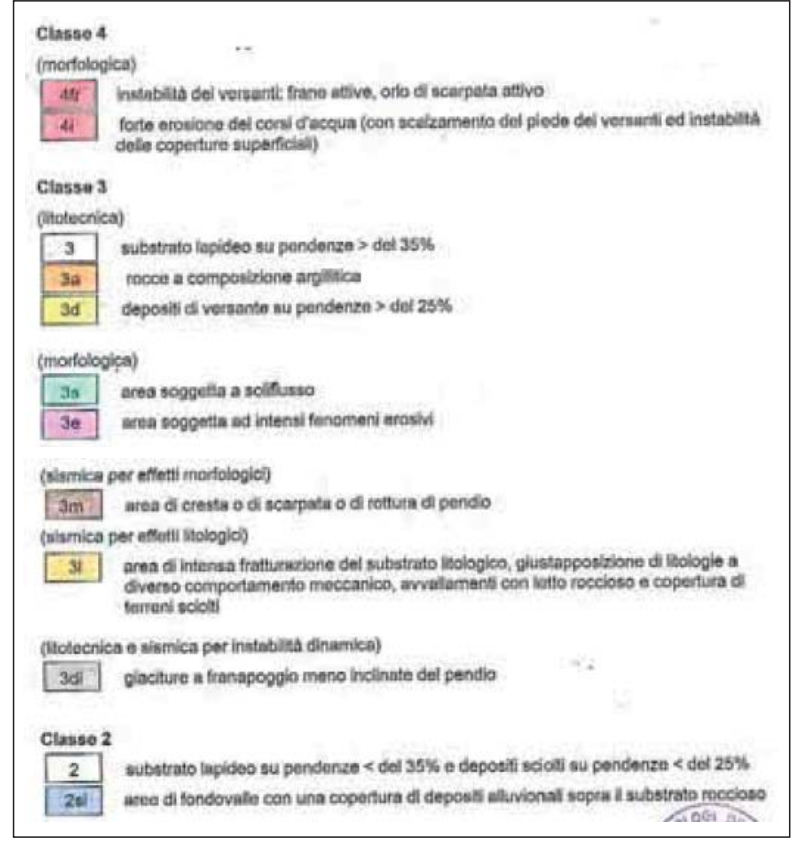
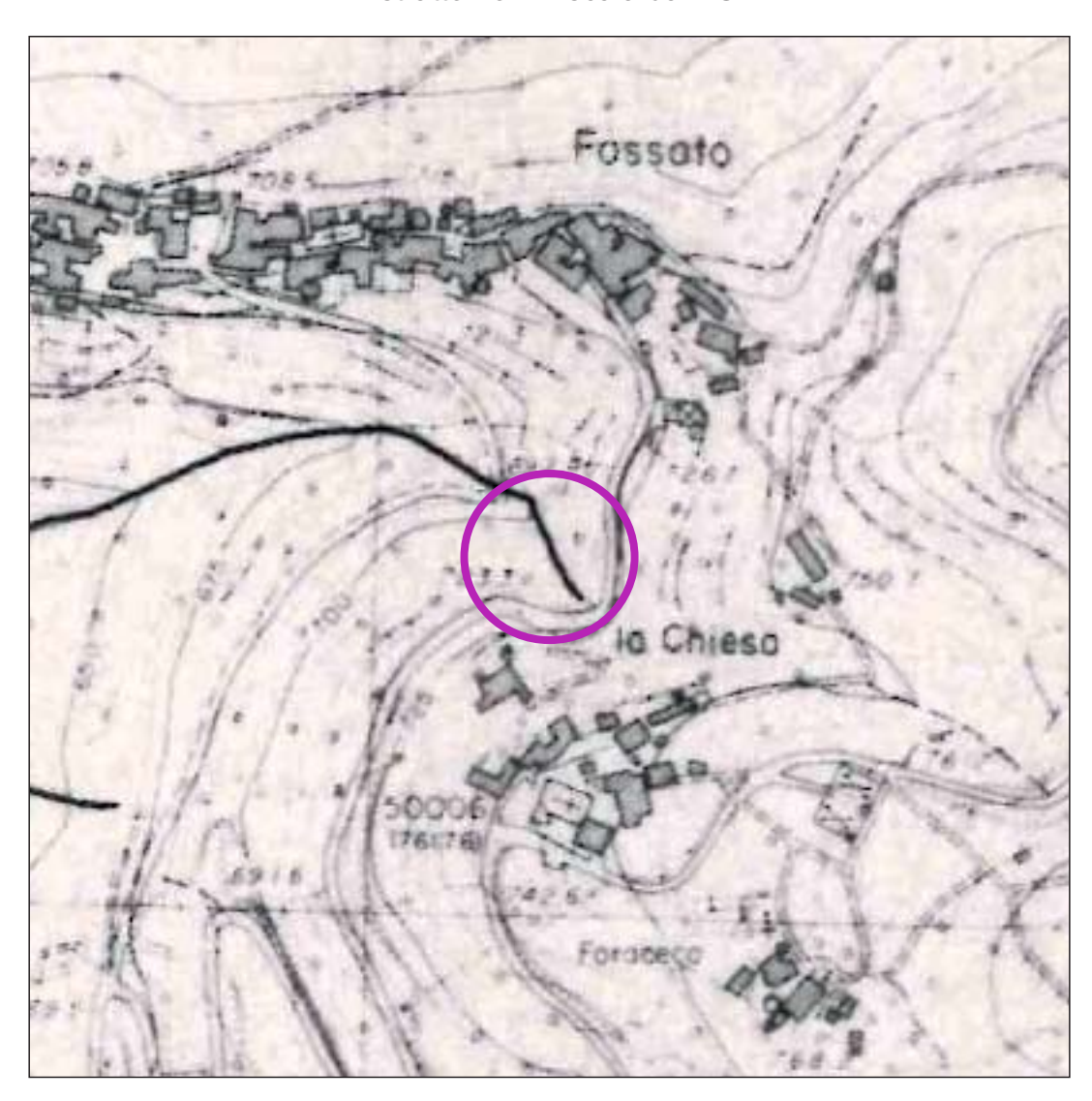




Fig. 2 - Carta della Pericolosità Idrogeologica

Estratto non in scala da P.S.



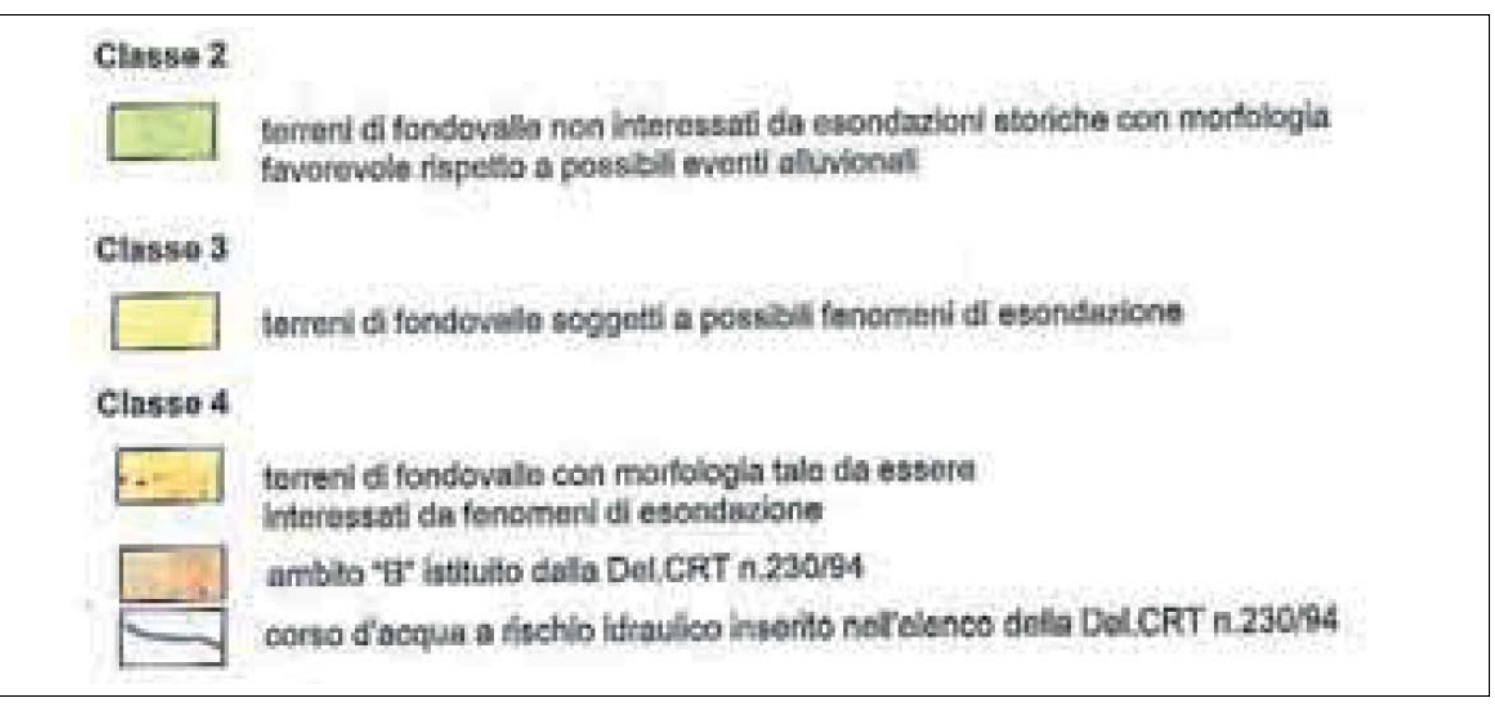




Fig. 3 - Corografia

Estratto in scala 1:2000 da CTR

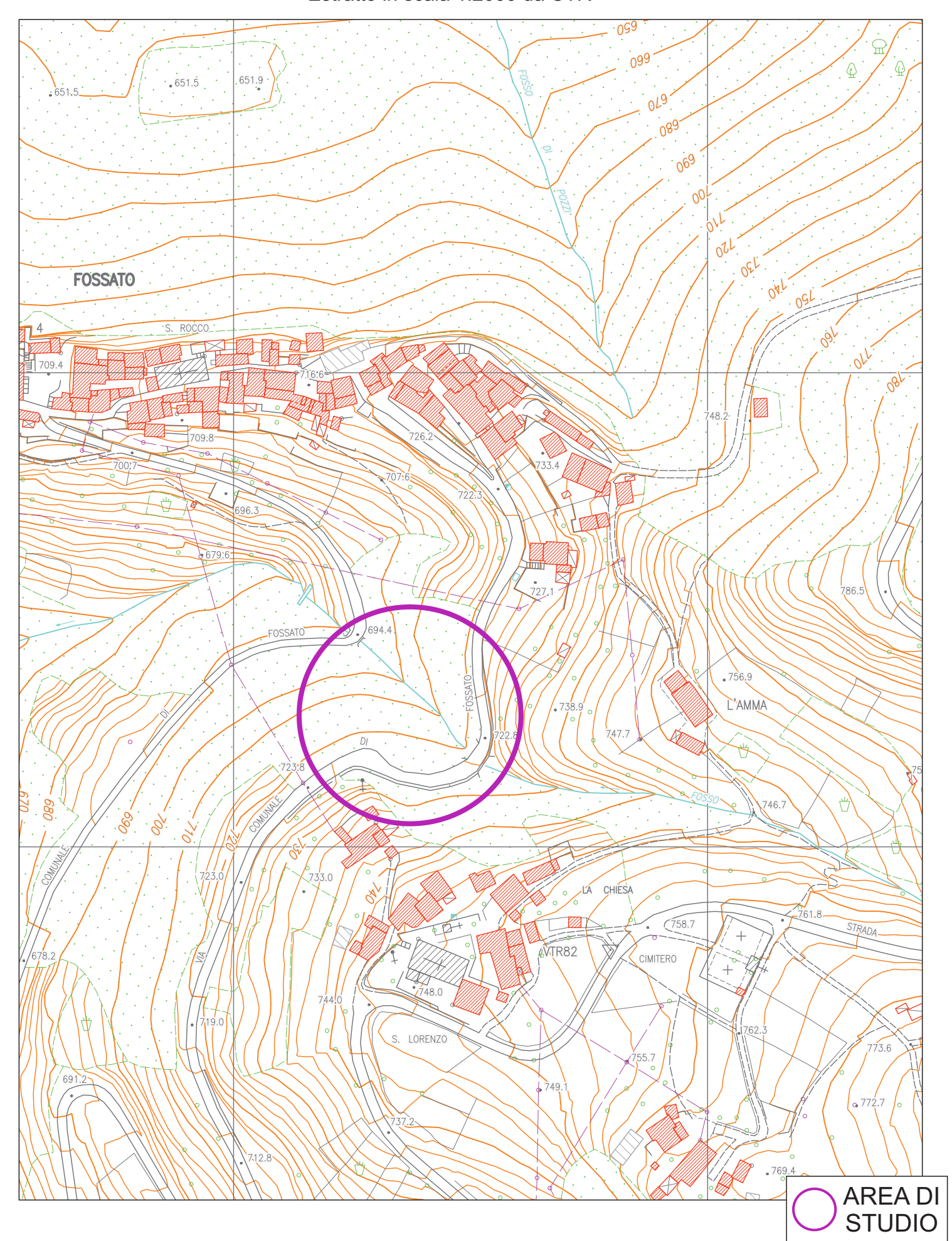
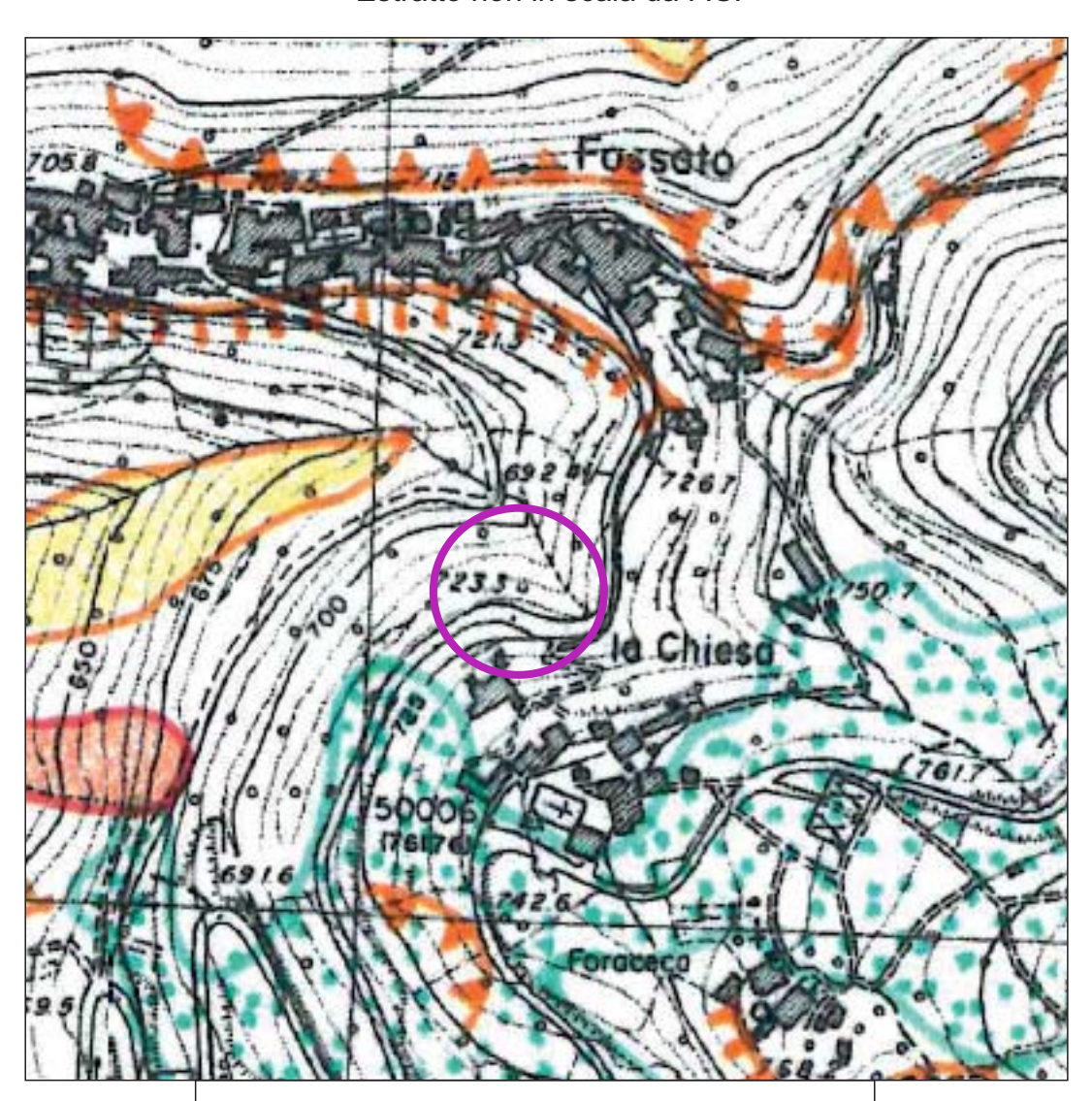


Fig. 4 - Carta Geomorfologica

Estratto non in scala da P.S.



PROCESSI SU VERSANTI gravità

FORME DI DENUDAZIONE	ATTIVE		INATTIVE
Niechia frana	ATT		A.F.
Contropendenza		-A-	
Superficie interessata da solifiusso	USF.		0
Scarpata di degradazione	THEFT		TITTE
Scarpata di degradazione con orlo arrotondato			7 11 7 11
Canalone in roccia con esportazione di detrito	the state of		A STATE OF THE PARTY OF THE PAR

FORME DI ACCUMULO	ATTIVE	INATTIVE
Corpo di frana		
Franosità diffusa	(EIIII)	
Frana di piccole dimensioni	64 44	- (+
Detrito di versante		
Cono di detrito	CAE	(4/15)
Falda di detrito	CAAAA	CALAD

PROCESSI CARSICI

FORME DI EROSIONE	
Dolina	9
Campi solcati	
Ingresso di grotta	Δ.
Forra fluvio carsica	Total .

PROCESSI POLIGENICI

Forme dovute al concorso di due o più processi morfogenetici
Forma apianata sui fianchi o alla sommità Orlo di scarpata di forma semispianata

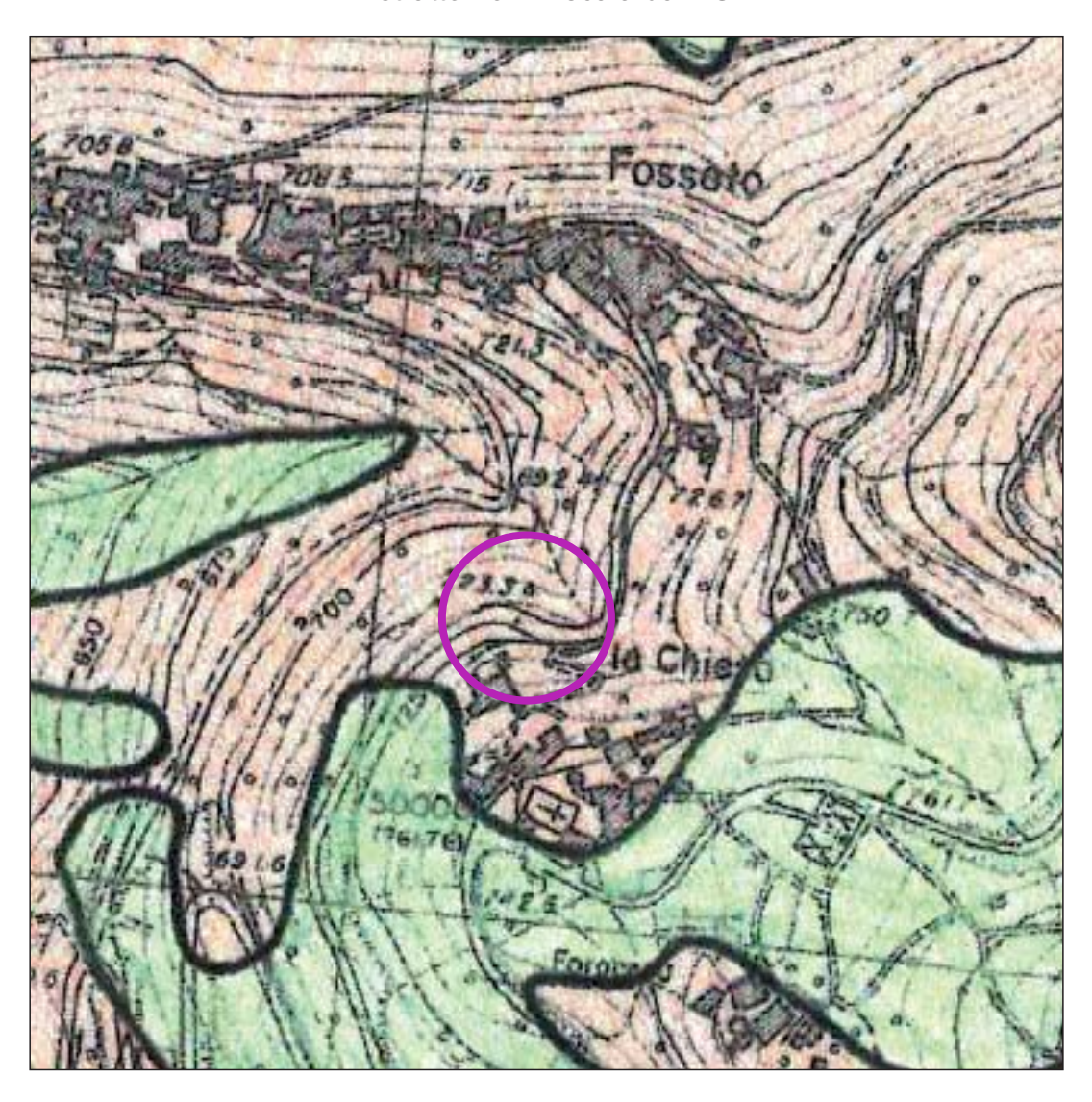
1	FOI	RM	Œ	٨	N	TR	OI	216	CHI	E
1	Su	per	fic	e	de	gri	dı	tu.	per	p
1	47.	15.3	4	-1	×.	7	4	-	200	4

Superficie degradata per pascolamento	ব্রেক্স
Superficie degradata per disboscamento	
Cava	457
Cava recuperata	"[AI"
Orlo di scarpata di cava	-Mentannana,
Discarica	(4)
Superficie di sbancamento e rel. scarpate	IS,
Terrapieno	(515)
Rilevato stradale e ferroviario	270
Corso d'acqua (pensile) in argine artificiale	nnnnm
Opera di sharramento per laghetti artificiali	
Briglia traversa etc.	>-<



Fig. 5 - Carta Geolitologica

Estratto non in scala da P.S.



ASSOCIAZ 7	MONI LITOLOGICHE A PREVALENTE COMPO Arenarie con argilliti e siltiti	mg, mcl, Cev
8	Arenarie e siltiti	mg, mc1, mc3,Cev
9	Siltiti con arenarie	mgL, mc1, mc3,Cev
10	Arenarie calcarec ed argillitiche (calc. e marne)	pF, fM
11	Marne e marne con argilliti	mPL, mc2
12	Calcari marnosi (alberese)	al
13	Calcari della serie ofiolitifera (Calc. a calpion.)	eP, cf, cc
14	Complesso siliceo e siliceo calcareo	4

AREA DI STUDIO

Fig. 6 - Carta Idrogeologica

Estratto non in scala da P.S.



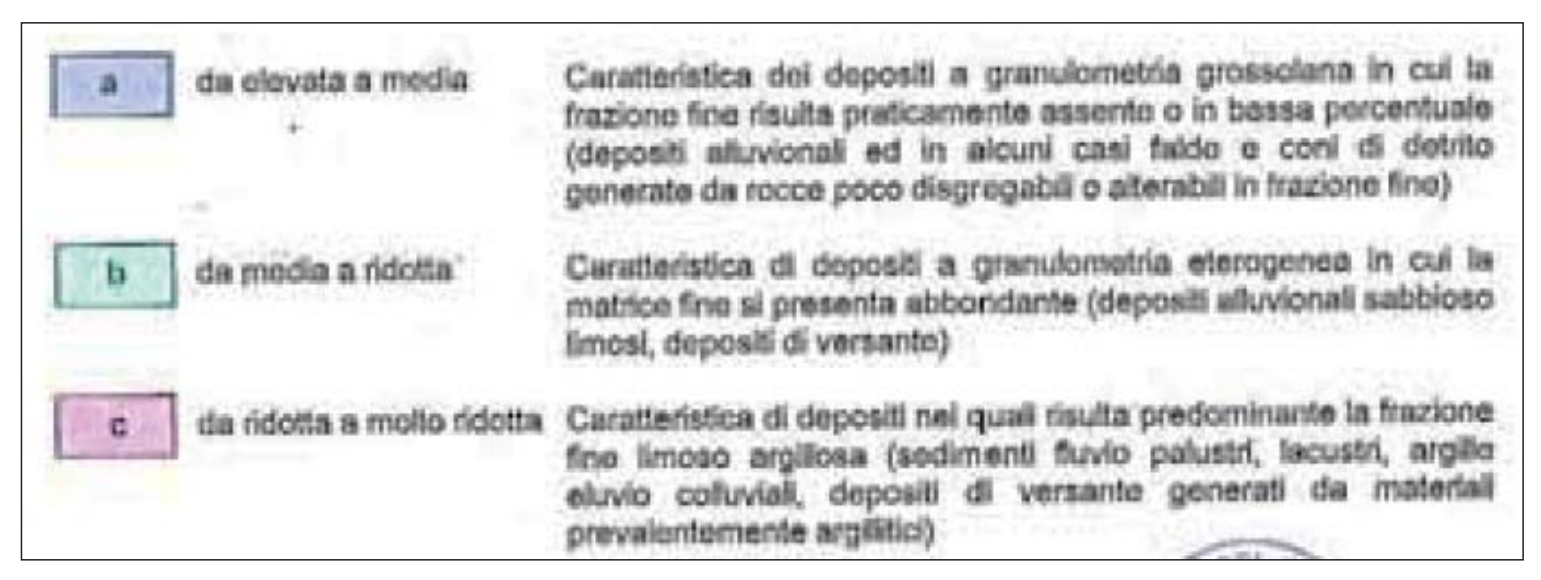




Fig. 7-a Inquadramento area franosa



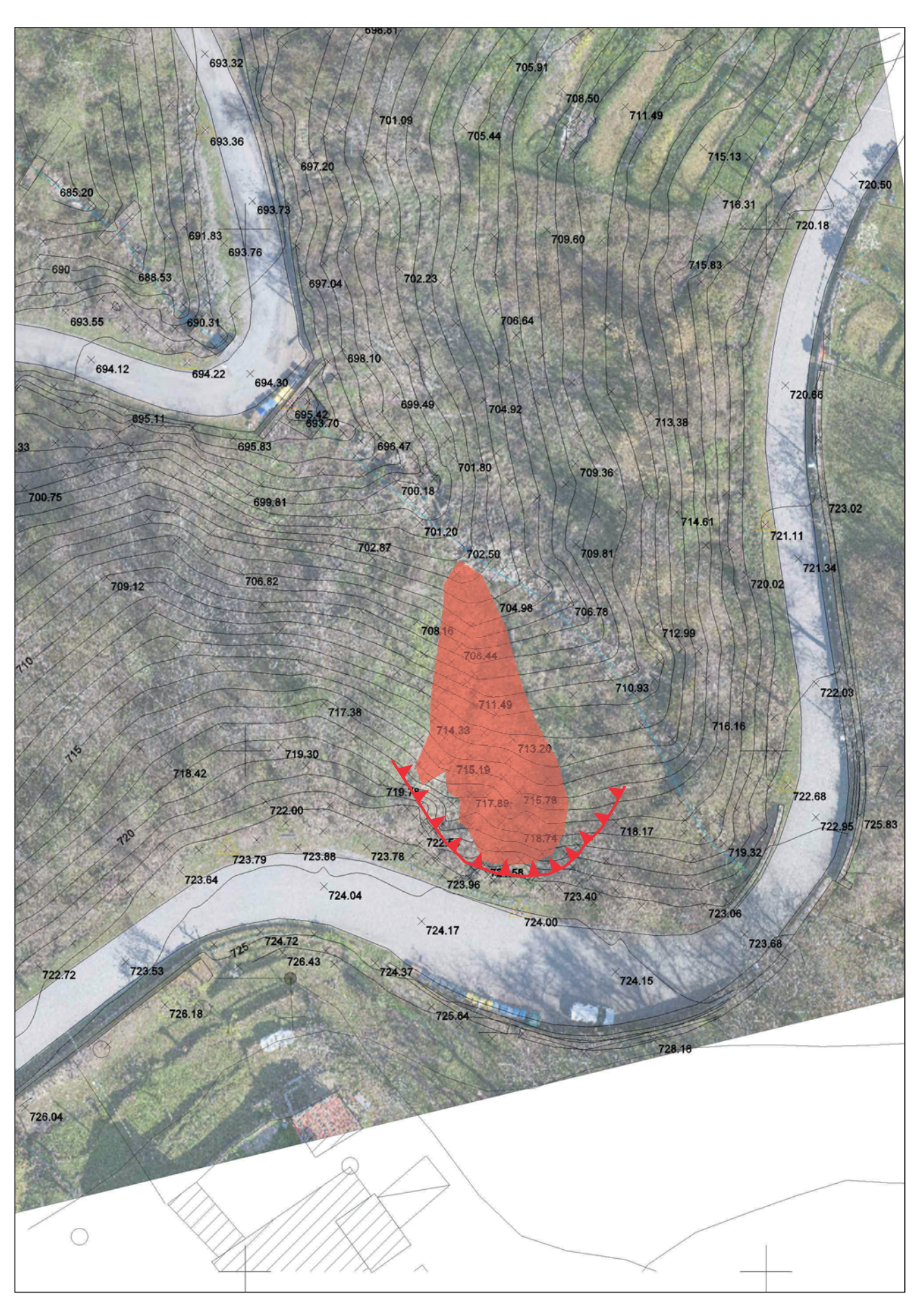
ANTE



POST



Fig. 7-b Inquadramento area franosa



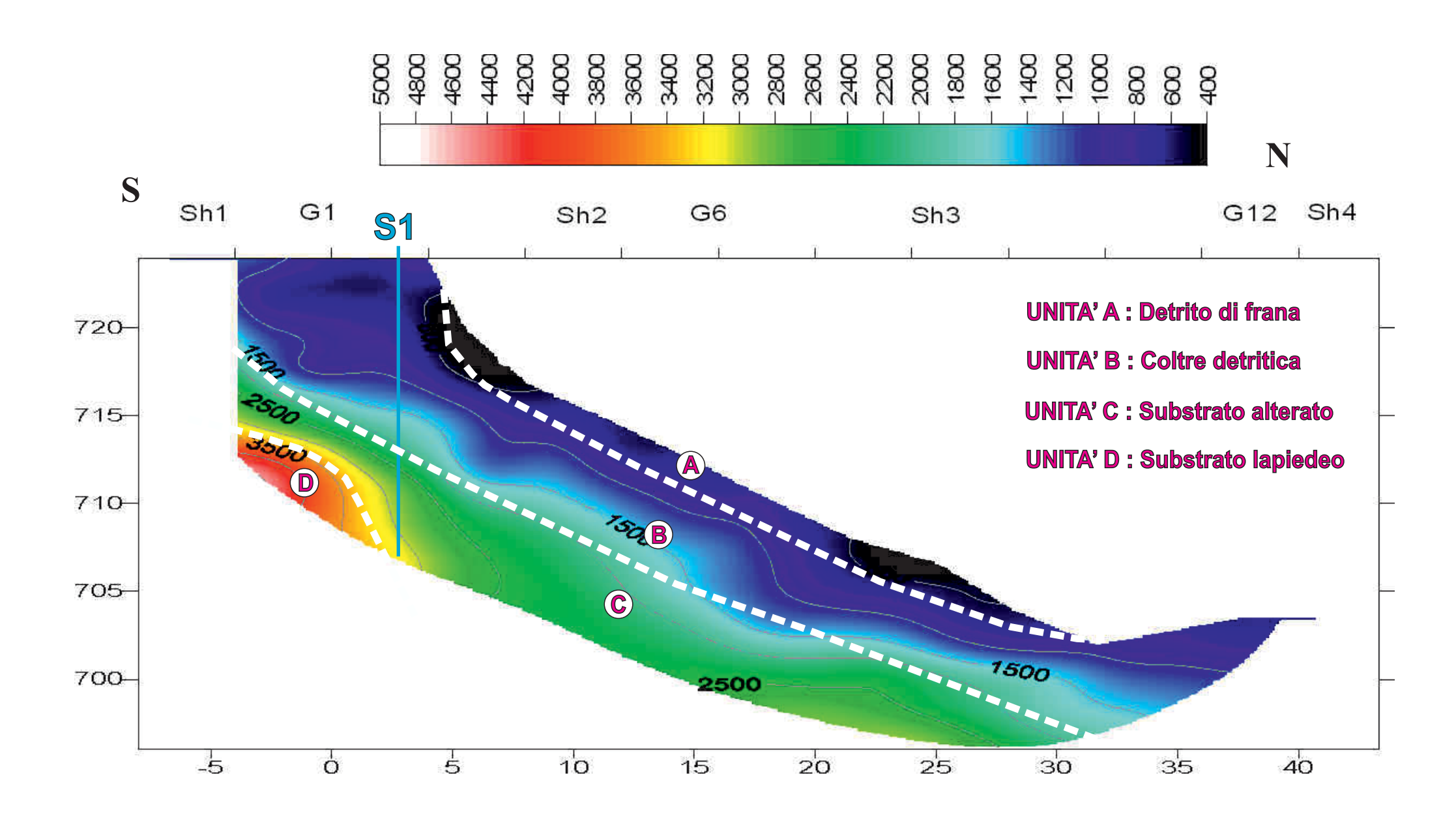
da rilievo plano-altimetrico



Fig. 8 - Ubicazione Indagini



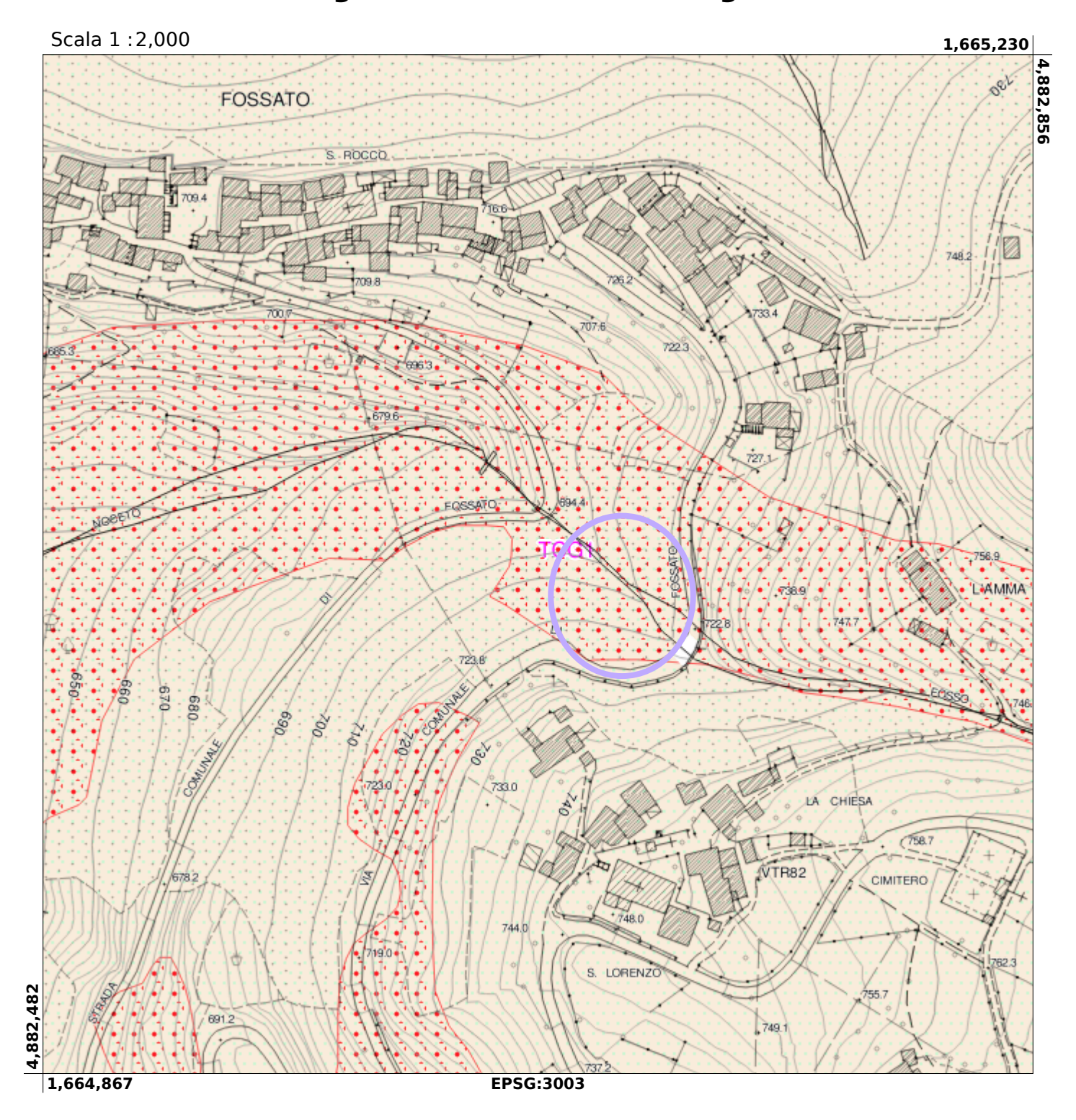
Fig. 9 - Sezione litostratigrafica





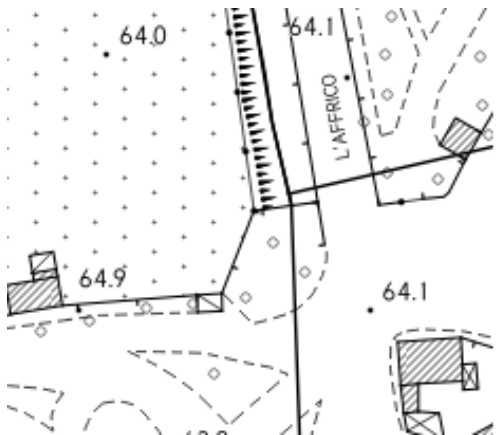


Regione Toscana - DB Geologico



Legenda

DBT multiscala da CTRN 1988-2007



Depositi Superficiali da Geomorfologia

Deposito di versante

Limite geologico

Unita geologica lineare

Affioramento areale

Etichette di Unita geologica areale

Unita geologica areale

TCG1 - Formazione del Torrente Carigiola: Membro a megastrati arenacei AQUITANIANO p.p.







COMUNE DI CANTAGALLO

Carta geologica e geomorfologica **MICROZONAZIONE SISMICA**

Legenda

Depositi Olocenici

- Deposito di frana attiva (a1a)
- Deposito di frana quiescente (a1q) Depositi di riporto antropico (h1)
- Depositi di versante (aa)
- Depositi eluvio-colluviali (b2a)
- Depositi alluvionali attuali (b)

Depositi alluvionali terrazzati (bn)

Formazione del Torrente Carigiola - Membro a megastrati arenacei (TGC1) - Acquitaniano p. p. Dominio Toscano

Formazione dell'Acquerino - Membro pelitico-arenaceo (AQR2) - Chattiano-Burdigaliano Formazione dell'Acquerino - Membro arenaceo-pelitico (AQR1) - Chattiano-Burdigaliano

Marne varicolori di Villore (MVV) - Rupeliano-Acquitaniano

Elementi tettonico strutturali

🕂 Faglia diretta accertata

Faglia diretta inferita

--- A Faglia inversa inferita Giacitura strati Traccia della sezione geologica Limite del territorio comunale 100 50

200 Metri

ecnici Responsabili: Dott. Geol. Andrea Fiaschi Dott. Geol. Luca Matassoni

Febbraio 2015

Fondazione Prato Ricerche Istituto per la ricerca ambientale e la mitigazione dei rischi

Carta geologica e geomorfologica n.77 **MICROZONAZIONE SISMICA** 2009, giugno dalla legge dell'articolo Attuazione

Scala 1:5.000

di Cantagallo Regione Toscana Comune

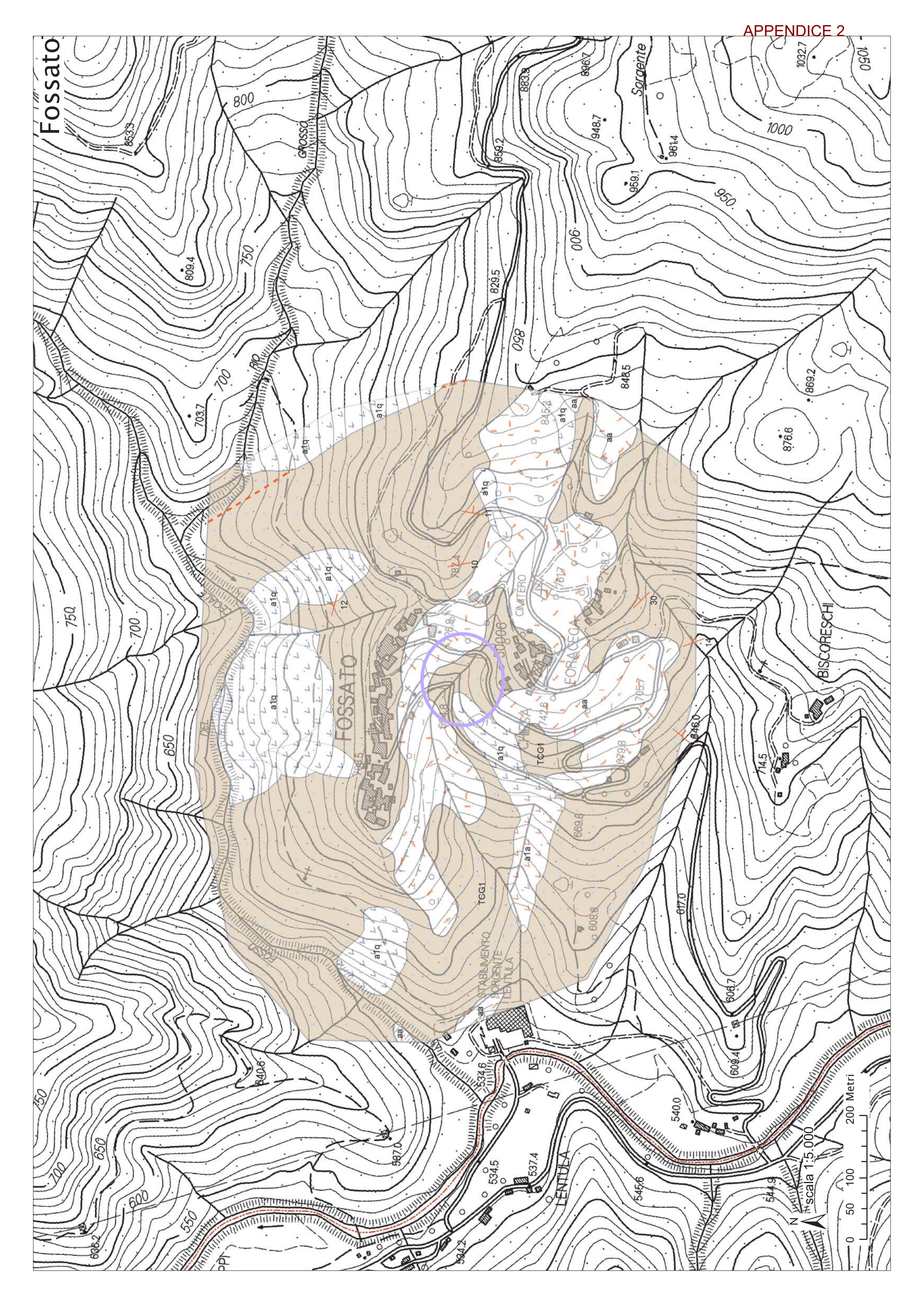


REGIONE Regione

Soggetto realizzatore

Fondazione Prato Ricerche Istituto per la ricerca ambientale e la mitigazione dei rischi Tecnici Responsabili: Dott. Geol. Andrea Fiaschi Dott. Geol. Luca Matassoni

Febbraio 2015









Attuazione dell'articolo 11 dalla legge 24 giugno 2009, n.77

MICROZONAZIONE SISMICA

Carta geologico tecnica per la microzonazione sismica

Scala 1:5.000

Regione Toscana Comune di Cantagallo



Regione



Soggetto realizzatore



Fondazione Prato Ricerche stituto per la ricerca ambientale e la mitigazione dei ris

Tecnici Responsabili: Dott. Geol. Andrea Fiaschi Dott. Geol. Luca Matassoni data

Febbraio 2015

COMUNE DI CANTAGALLO



MICROZONAZIONE SISMICA

Carta geologico tecnica per la microzonazione sismica

Legenda

Elementi tettonico strutturali

Faglia non attiva diretta accertata

+ + Faglia non attiva diretta inferita

△ → △ Faglia non attiva inversa accertata

△ - △ Faglia non attiva inversa inferita

Elementi geologici

30 Giacitura strati

Profondità (m) substrato rigido raggiunto da sondaggio o pozzo

Profondità (m) sondaggio o pozzo che non ha raggiunto il substrato rigido

Forme di superficie

Falda detritica

Instabilità di versante

di scorrimento, attiva

di scorrimento, quiescente di colamento, attiva

di colamento, quiescente

non definita, attiva

Unità geologico tecniche

SF – Substrato molto fratturato o alterato

RI – Terreni contenenti resti di attività antropica

GM –Ghiaie limose, miscela di ghiaia, sabbia e limo

ALS -Alternanza di litotipi stratificato

AL -Alternanza di litotipi

----- Traccia della sezione geologica

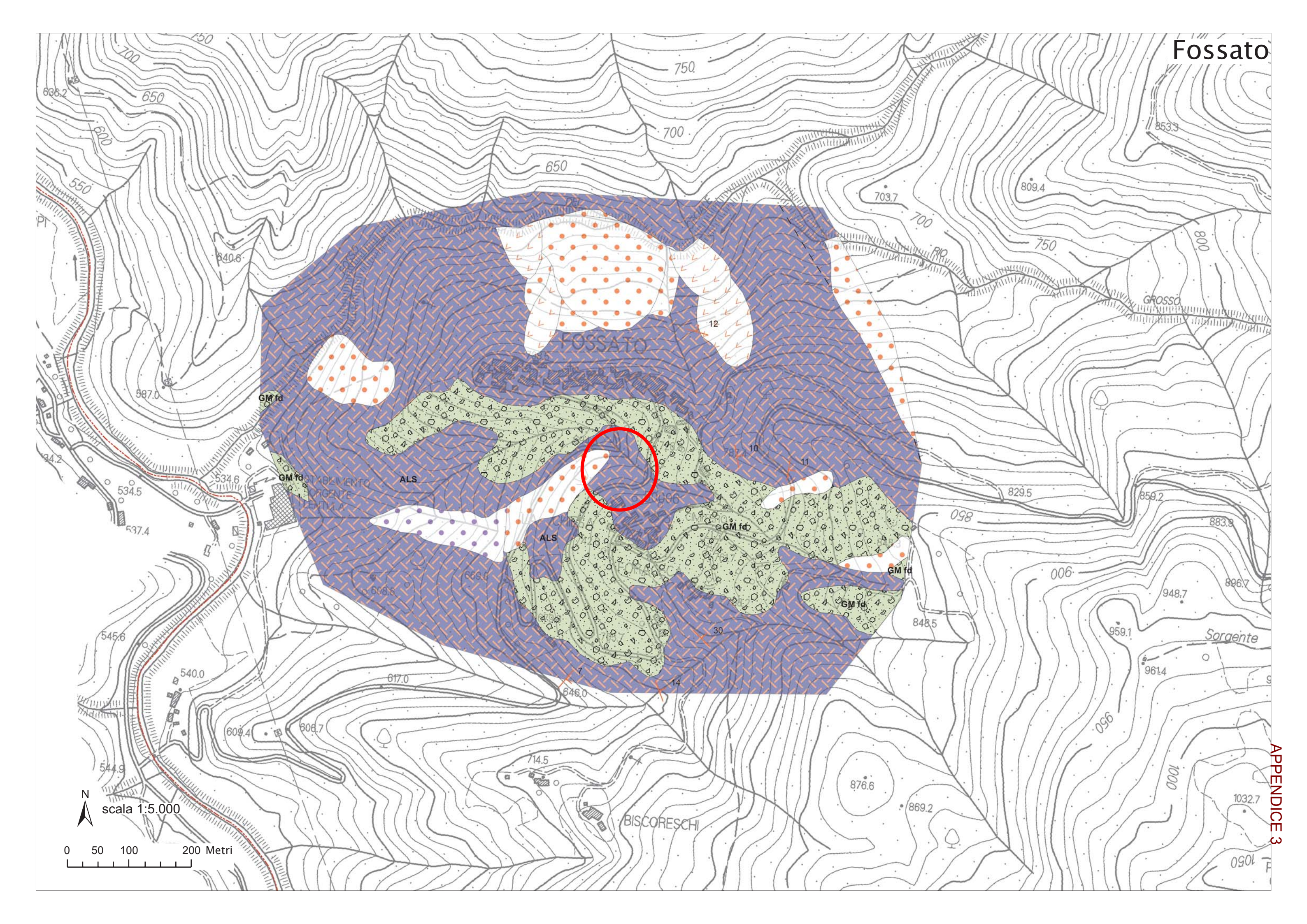
) 50 100 200 Metri

Fondazione Prato Ricerche

Istituto per la ricerca ambientale e la mitigazione dei rischi Tecnici Responsabili: Dott. Geol. Andrea Fiaschi



Febbraio 2015



Analisi di stabilità dei pendii con: BISHOP (1955)

Lat./Long.	44,078173/11,061248
Calcolo eseguito secondo	NTC 2018
Numero di strati	2,0
Numero dei conci	10,0
Grado di sicurezza ritenuto accettabile	1,0
Coefficiente parziale resistenza	1,1
Parametri geotecnici da usare. Angolo di attrito:	Picco
Analisi	Condizione drenata
Superficie di forma circolare	

Maglia dei Centri

Ascissa vertice sinistro inferiore xi	-1,14 m
Ordinata vertice sinistro inferiore yi	21,68 m
Ascissa vertice destro superiore xs	17,35 m
Ordinata vertice destro superiore ys	39,84 m
Passo di ricerca	10,0
Numero di celle lungo x	10,0
Numero di celle lungo y	10,0

Coefficienti sismici [N.T.C.]

Dati generali

Tipo opera: 2 - Opere ordinarie
Classe d'uso: Classe II
Vita nominale: 50,0 [anni]
Vita di riferimento: 50,0 [anni]

Parametri sismici su sito di riferimento

Categoria sottosuolo: B Categoria topografica: T2

	S.L.	TR	ag	F0	TC*
Sta	Stato limite Tempo ritorno		$[m/s^2]$	[-]	[sec]
		[anni]			
	S.L.O.	30,0	0,61	2,46	0,26
	S.L.D.	50,0	0,78	2,44	0,26
	S.L.V.	475,0	1,96	2,39	0,28
	S.L.C.	975,0	2,51	2,4	0,29

Coefficienti sismici orizzontali e verticali

Opera: Stabilità dei pendii e Fondazioni

S.L.	amax	beta	kh	kv
Stato limite	$[m/s^2]$	[-]	[-]	[sec]
S.L.O.	0,8784	0,2	0,0179	0,009
S.L.D.	1,1232	0,2	0,0229	0,0115
S.L.V.	2,8224	0,24	0,0691	0,0345
S.L.C.	3,4767	0.28	0,0993	0,0496

Coefficiente azione sismica orizzontale 0,069 Coefficiente azione sismica verticale 0,035

Vertici profilo		
Nr	X y	
	(m) (m)	
1	0,0	3,93
2	7,17	2,49
3 4	9,65 15,6	2,22 3,93
5	18,89	5,01
6	19,98	5,95
7	20,8	6,42
8	24,6	9,7
9 10	25,36 26,66	10,55 11,49
11	27,72	12,13
12	29,86	13,25
13	32,44	14,67
14	36,15	17,89
15 16	38,21 39,12	18,83 19,99
17	43,12	22,4
18	44,25	23,6
19	45,82	24,03
20	53,36	24,25
21 22	54,83 56,44	24,25 24,08
23	57,34	26,61
24	59,72	26,95
25	61,42	27,72
26	63,99	28,16
Falda	V	
Falda Nr.	X y (m) (m)	
	$egin{array}{ccc} X & y & \\ (m) & (m) & \\ 0,0 & \end{array}$	3,92
Nr. 1	(m) (m) 0,0 7,17	2,48
Nr. 1	(m) (m) 0,0 7,17 9,65	2,48 2,21
Nr. 1 2 3 4	(m) (m) 0,0 7,17 9,65 15,6	2,48 2,21 3,92
Nr. 1 2 3 4 5	(m) (m) 0,0 7,17 9,65 15,6 18,89	2,48 2,21 3,92 5,0
Nr. 1 2 3 4	(m) (m) 0,0 7,17 9,65 15,6	2,48 2,21 3,92
Nr. 1 2 3 4 5 6 7 8	(m) (m) 0,0 7,17 9,65 15,6 18,89 19,98 20,8 24,6	2,48 2,21 3,92 5,0 5,94 6,41 9,69
Nr. 1 2 3 4 5 6 7 8 9	(m) 0,0 7,17 9,65 15,6 18,89 19,98 20,8 24,6 25,36	2,48 2,21 3,92 5,0 5,94 6,41 9,69 10,54
Nr. 1 2 3 4 5 6 7 8 9 10	(m) (m) 0,0 7,17 9,65 15,6 18,89 19,98 20,8 24,6 25,36 26,66	2,48 2,21 3,92 5,0 5,94 6,41 9,69 10,54 11,48
Nr. 1 2 3 4 5 6 7 8 9 10 11	(m) (m) 0,0 7,17 9,65 15,6 18,89 19,98 20,8 24,6 25,36 26,66 27,72	2,48 2,21 3,92 5,0 5,94 6,41 9,69 10,54 11,48 12,12
Nr. 1 2 3 4 5 6 7 8 9 10 11 12 13	(m) (m) 0,0 7,17 9,65 15,6 18,89 19,98 20,8 24,6 25,36 26,66	2,48 2,21 3,92 5,0 5,94 6,41 9,69 10,54 11,48
Nr. 1 2 3 4 5 6 7 8 9 10 11 12 13 14	(m) (m) (m) 0,0 7,17 9,65 15,6 18,89 19,98 20,8 24,6 25,36 26,66 27,72 29,86 32,44 36,15	2,48 2,21 3,92 5,0 5,94 6,41 9,69 10,54 11,48 12,12 13,24 14,66 17,88
Nr. 1 2 3 4 5 6 7 8 9 10 11 12 13 14 15	(m) (m) (0,0 7,17 9,65 15,6 18,89 19,98 20,8 24,6 25,36 26,66 27,72 29,86 32,44 36,15 38,21	2,48 2,21 3,92 5,0 5,94 6,41 9,69 10,54 11,48 12,12 13,24 14,66 17,88 18,82
Nr. 1 2 3 4 5 6 7 8 9 10 11 12 13 14 15	(m) (m) 0,0 7,17 9,65 15,6 18,89 19,98 20,8 24,6 25,36 26,66 27,72 29,86 32,44 36,15 38,21 39,12	2,48 2,21 3,92 5,0 5,94 6,41 9,69 10,54 11,48 12,12 13,24 14,66 17,88 18,82 19,98
Nr. 1 2 3 4 5 6 7 8 9 10 11 12 13 14 15	(m) (m) (m) 0,0 7,17 9,65 15,6 18,89 19,98 20,8 24,6 25,36 26,66 27,72 29,86 32,44 36,15 38,21 39,12 43,12	2,48 2,21 3,92 5,0 5,94 6,41 9,69 10,54 11,48 12,12 13,24 14,66 17,88 18,82 19,98 22,39
Nr. 1 2 3 4 5 6 7 8 9 10 11 12 13 14 15 16 17 18 19	(m) (m) (m) 0,0 7,17 9,65 15,6 18,89 19,98 20,8 24,6 25,36 26,66 27,72 29,86 32,44 36,15 38,21 39,12 43,12 44,25 45,82	2,48 2,21 3,92 5,0 5,94 6,41 9,69 10,54 11,48 12,12 13,24 14,66 17,88 18,82 19,98 22,39 23,59 24,02
Nr. 1 2 3 4 5 6 7 8 9 10 11 12 13 14 15 16 17 18 19 20	(m) (m) (m) 0,0 7,17 9,65 15,6 18,89 19,98 20,8 24,6 25,36 26,66 27,72 29,86 32,44 36,15 38,21 39,12 43,12 44,25 45,82 53,36	2,48 2,21 3,92 5,0 5,94 6,41 9,69 10,54 11,48 12,12 13,24 14,66 17,88 18,82 19,98 22,39 23,59 24,02 24,24
Nr. 1 2 3 4 5 6 7 8 9 10 11 12 13 14 15 16 17 18 19 20 21	(m) (m) (m) 0,0 7,17 9,65 15,6 18,89 19,98 20,8 24,6 25,36 26,66 27,72 29,86 32,44 36,15 38,21 39,12 43,12 44,25 45,82 53,36 54,83	2,48 2,21 3,92 5,0 5,94 6,41 9,69 10,54 11,48 12,12 13,24 14,66 17,88 18,82 19,98 22,39 23,59 24,02 24,24 24,24
Nr. 1 2 3 4 5 6 7 8 9 10 11 12 13 14 15 16 17 18 19 20 21 22	(m) (m) (m) 0,0 7,17 9,65 15,6 18,89 19,98 20,8 24,6 25,36 26,66 27,72 29,86 32,44 36,15 38,21 39,12 44,25 45,82 53,36 54,83 56,44	2,48 2,21 3,92 5,0 5,94 6,41 9,69 10,54 11,48 12,12 13,24 14,66 17,88 18,82 19,98 22,39 23,59 24,02 24,24 24,24 24,07
Nr. 1 2 3 4 5 6 7 8 9 10 11 12 13 14 15 16 17 18 19 20 21	(m) (m) (m) 0,0 7,17 9,65 15,6 18,89 19,98 20,8 24,6 25,36 26,66 27,72 29,86 32,44 36,15 38,21 39,12 43,12 44,25 45,82 53,36 54,83	2,48 2,21 3,92 5,0 5,94 6,41 9,69 10,54 11,48 12,12 13,24 14,66 17,88 18,82 19,98 22,39 23,59 24,02 24,24 24,24
Nr. 1 2 3 4 5 6 7 8 9 10 11 12 13 14 15 16 17 18 19 20 21 22 23	(m) (m) (0,0 7,17 9,65 15,6 18,89 19,98 20,8 24,6 25,36 26,66 27,72 29,86 32,44 36,15 38,21 39,12 43,12 44,25 45,82 53,36 54,83 56,44 57,34	2,48 2,21 3,92 5,0 5,94 6,41 9,69 10,54 11,48 12,12 13,24 14,66 17,88 18,82 19,98 22,39 23,59 24,02 24,24 24,24 24,07 26,6

63,99	28,15
X	у
(m)	(m)
0,0	3,93
7,17	2,49
9,65	2,22
13,34	2,16
18,07	2,69
41,47	19,71
43,71	21,62
44,25	23,6
45,82	24,03
53,36	24,25
54,83	24,25
56,44	24,08
57,34	26,61
59,72	26,95
61,42	27,72
61,42	27,72
63,99	28,16
	X (m) 0,0 7,17 9,65 13,34 18,07 41,47 43,71 44,25 45,82 53,36 54,83 56,44 57,34 59,72 61,42 61,42

Coefficienti parziali azioni

Sfavorevoli: Permanenti, variabili	1,0 1,0
Favorevoli: Permanenti, variabili	1,0 1,0

Coefficienti parziali per i parametri geotecnici del terreno

Tangente angolo di resistenza al taglio	1,25
Coesione efficace	1,25
Coesione non drenata	1,4
Riduzione parametri geotecnici terreno	Si

Stratigrafia

Strate	0	Coesio (kN/m	l ²)	drenata re (kN/m²)	Angolo esistenza al taglio	Peso unità volume (kN/m³)	di Peso sa (kN/r		ologia	
		1	0	0	25	,	20	20		
		2	15	0	25	2	20	20		
Pali										
N°		X	У	Diametro	Lunghezz	Inclinazio	Interasse	Resistenza	Momento	Metodo
		(m)	(m)	(m)	a	ne	(m)	al taglio	plasticizza	stabilizzaz
					(m)	(°)		(kN/m^2)	zione	ione
									(kN*m)	
	1	45,96387	24,050	02 0,22	14	90	0,35	100000		Tensione
										tangenzial
										e

Risultati analisi pendio [A2+M2+R2]

Fs minimo individuato	0,05
Ascissa centro superficie	12,73 m
Ordinata centro superficie	24,41 m
Raggio superficie	19,32 m

Numero di superfici esaminate....(86)

	·			
N°	Xo	Yo	Ro	Fs
1	10,9	22,6	19,5	0,11
2	11,8	21,7	19,3	0,36
3	12,7	22,6	18,2	0,05
4	13,7	21,7	18,2	0,32
5	14,6	22,6	16,7	0,05
6	15,5	21,7	16,7	0,10
7	16,4	22,6	17,2	0,34
8	17,4	21,7	14,4	0,08
9	12,7	24,4	19,3	0,05
10	13,7	23,5	19,2	0,09
11	14,6	24,4	20,1	0,37
12	15,5	23,5	17,6	0,09
13	16,4	24,4	18,4	0,11
14	17,4	23,5	20,3	0,38
15	12,7	26,2	20,9	0,07
16	13,7	25,3	20,5	0,09
17	14,6	26,2	21,7	0,38
18	15,5	25,3	18,8	0,09
19	16,4	26,2	20,0	0,12
20	17,4	25,3	21,9	0,36
21	10,9	28,0	23,9	0,07
22	11,8	27,1	23,6	0,30
23	12,7	28,0	24,6	0,44
24	13,7	27,1	21,8	0,10
25	14,6	28,0	22,6	0,27
26	15,5	27,1	19,9	0,11
27	16,4	28,0	20,5	0,13
28	17,4	27,1	23,3	0,33
29	10,9	29,9	25,4	0,08
30 31	11,8	28,9	24,9	0,10 0,50
31	12,7 13,7	29,9 28,9	26,1 22,9	0,30
33	14,6	29,9	24,1	0,10
34	15,5	28,9	23,7	0,41
35	16,4	29,9	21,9	0,14
36	17,4	28,9	21,5	0,13
37	10,0	30,8	25,9	0,07
38	11,8	30,8	26,6	0,33
39	12,7	31,7	25,0	0,11
40	13,7	30,8	24,5	0,11
41	14,6	31,7	25,7	0,36
42	15,5	30,8	28,1	0,37
43	16,4	31,7	23,6	0,14
44	17,4	30,8	23,1	0,20
45	10,9	33,5	28,8	0,11
46	11,8	32,6	28,3	0,39
47	12,7	33,5	26,7	0,12
48	13,7	32,6	26,2	0,12
49	14,6	33,5	30,2	0,30
50	15,5	32,6	29,7	0,32
51	16,4	33,5	25,2	0,13
52	17,4	32,6	24,7	0,29
53	9,0	35,3	30,0	0,09

54	10,0	34,4	29,4	0,10
55	10,9	35,3	30,5	0,11
56	11,8	34,4	30,0	0,43
57	12,7	35,3	28,4	0,13
58	13,7	34,4	27,9	0,12
59	14,6	35,3	31,8	0,29
60	15,5	34,4	25,7	0,17
61	16,4	35,3	26,9	0,13
62	17,4	34,4	29,3	0,36
63	10,0	36,2	31,1	0,11
64	10,9	37,1	32,3	0,33
65	11,8	36,2	31,7	0,41
66	12,7	37,1	30,1	0,13
67	13,7	36,2	29,6	0,12
68	14,6	37,1	33,5	0,29
69	15,5	36,2	30,2	0,44
70	16,4	37,1	28,6	0,13
71	17,4	36,2	30,9	0,35
72	9,0	38,9	33,5	0,12
73	10,0	38,0	32,9	0,11
74	11,8	38,0	30,7	0,16
75	12,7	38,9	31,8	0,12
76	13,7	38,0	31,3	0,32
77	14,6	38,9	32,4	0,43
78	15,5	38,0	29,1	0,13
79	16,4	38,9	30,2	0,12
80	17,4	38,0	29,7	0,39
81	8,1	39,8	34,2	0,12
82	10,0	39,8	34,6	0,11
83	11,8	39,8	32,4	0,16
84	13,7	39,8	33,0	0,33
85	15,5	39,8	30,8	0,12
86	17,4	39,8	31,4	0,35

Indice

1.Dati generali	1
2. Vertici profilo	2
3.Falda	2
4. Vertici strato1	3
5.Coefficienti parziali azioni	3
6.Coefficienti parziali per i parametri geotecnici del terreno	3
7.Stratigrafia	3
8.Pali	3
9.Risultati analisi pendio [A2+M2+R2]	3
Indice	6

IBT Prospezioni Srl

MODELLO STRATIGRAFIA

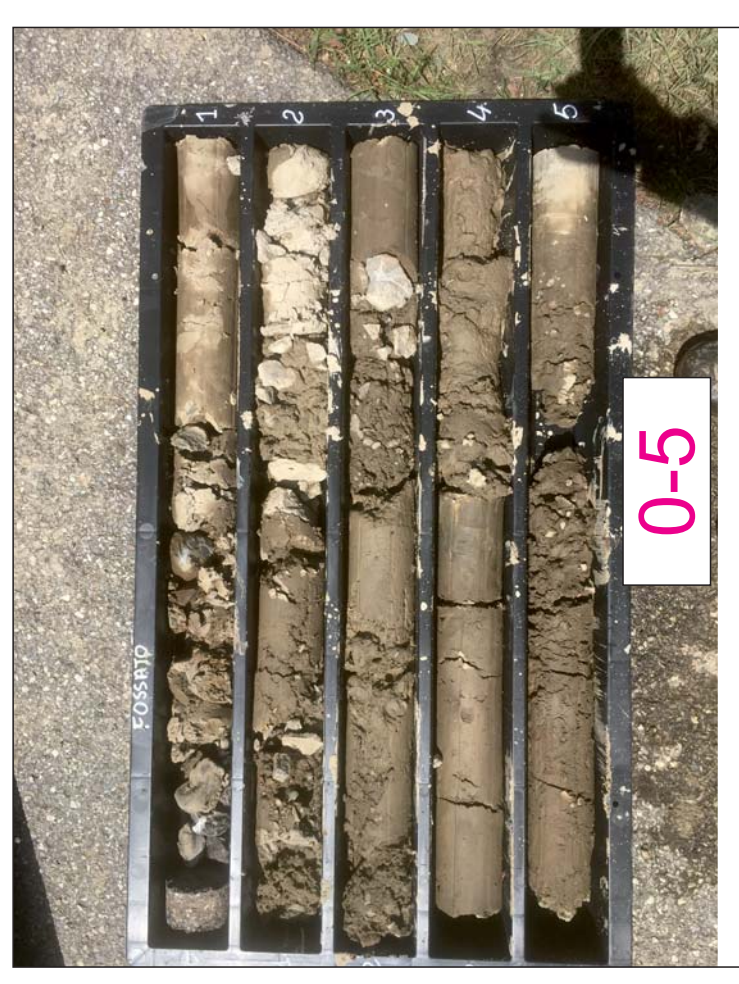
ALLEGATO 1

Loc. Castiglioni 56 50068 Rufina Numero REA FI - 657392 CF - PIVA 06802820487

Committente Comune di Cantagllo	Profondità raggiunta 17.8	Quota Ass. P.C.	Certificato nº 120521-1	Pagina
Operatore Alberto Iotti	Indagine Fossato	Note1	Note1	
Responsabile	Sondaggio C1	Tipo Carotaggio	Tipo Sonda	Coordinate X Y

Responsabile Dott. Alberto Iot	tti	Sondaggio S1		Tipo Carotaggio Continuo		Tipo Sonda Beretta T41				Coordinate X Y 44.078155, 11.061239				
Litologia (329)	Descrizione	Quota	Parametri ge	otecnici	S.P.T.	Pocket Test kg/cmq	Vane Test kg/cmq	Campioni	Metodo Perforazione	Metodo Stabilizzaz.	Cass. Catalog.	Falda	Altre prove	Altre prove
-1	Riporto Detrito di versante costituito da limi sabbie con ciottoli varia natura	e		%C=100	9-2-3 -2.00 P				a.					
-4					7-9-8 -7.50 P	ď		-6.4 R						
-10	Alternanza di liuve arenacei e marnosi spessore variabile a 60 cm. Substrato fratturato?	con		%C=100				-9.5 R						
-14 -15 -16		-17.80		%C=100										
-18 -19 -20														

ALLEGATO 1











Concessione Ministeriale Circ. 7618/STC - Settore A Sistema di Qualità certificato UNI EN ISO 9001:2007 Certificato Nr 50 100 10624 TUV SUD - Italia

Via Galeotti 3 - 50136 Firenze - Tel/fax 055 6505508 - www.laboratorioelleti.it - laboratorio.elleti@tiscali.it

CERTIFICATO N° 029-21 DATA 03/06/21 PAGINA 1 / 22

VERBALE DI ACCETTAZIONE: 21027 DATA 12/05/21

COMMITTENTE Comune di Cantagallo

Area 5 - Ufficio Tecnico

Cantagallo (PO)

RICHIEDENTE Geol. Gianni Focardi

PROVENIENZA (dlchiarata) Via L'Estaque - Loc. Fossato - Cantagallo (PO)

CIG ZF331B773E - CUP: F87H20001800001

NUMERO CAMPIONI 2

ELENCO PROVE ESEGUITE

C	Contras	segno	Codice	÷	Codici delle prove eseguite, oggetto del certif			rtific	ato											
Sond.	Sond. Camp. Prof.		campio	ne			COI	aici c	iclic	piov	C C.	segu	iite, t	Jyye	illo u	CI CC	אוווו וכ	alu		
1	1	6,4-6,8	21027	01	-	G	Gs	Gr	-	-	-	-	TG	-	-	-	-	-	-	-
1	2	9,5-9,9	21027	02	-	G	-	-	ı	-	-	ı	TG	ı	-	-	-	-	ı	-
-	-	-	-	-	-	-	-	-	-	-	-	-	-	-	-	-	-	-	-	-
-	-	-	-	-	-	-	-	-	-	-	-	-	-	-	-	-	-	-	-	-
-	-	-	-	-	-	-	-	-	-	-	-	-	-	-	-	-	-	-	-	-
-	-	-	-	-	-	-	-	-	-	-	-	-	-	-	-	-	-	-	-	-
-	-	-	-	-	-	-	-	-	-	-	-	-	-	-	-	-	-	-	-	-
-	-	-	-	-	-	-	-	-	-	-	-	-	-	-	-	-	-	-	-	-
-	-	-	-	-	-	-	-	-	-	-	-	-	-	-	-	-	-	-	-	-
-	-	-	-	-	-	-	-	-	-	-	-	-	-	-	-	-	-	-	-	-
-	-	-	-	-	-	-	-	-	-	-	-	-	-	-	-	-	-	-	ı	-

Simbologia: w=contenuto di acqua; G=peso di volume; Gs=peso specifico; GR=granulometria; LC= limite liquido e limite plastico; LR = limite di ritiro; BM= Blu di metilene; ELL= compres- sione semplice; TG= taglio diretto; ED= prova edometrica; RIG= prova di rigonfiamento; TX=prova triassiale; TT= taglio torsionale; K=permeabilità; CH= analisi chimiche; PC=prova di costipamento; cbr= CBR.

OSSERVAZIONI

Il Direttore
Prof. Geol-Piero Focardi



Sistema di Qualità certificato UNI EN ISO 9001:2007 Certificato Nr 50 100 10624 TUV SUD - Italia

Via Galeotti 3 - 50136 Firenze - Tel/fax 055 6505508 - www.laboratorioelleti.it - laboratorio.elleti@tiscali.it

Committente Richiedente Comune di Cantagallo - Area 5 - Ufficio Tecnico - Cantagallo (Geol. Gianni Focardi						Pagina allo (PO)	2 / 22	2
Provenienza Contenitore Contrassegno	Via L'Estaqu Fustella PV Sor	C	Fossato - Ca Diametr 1 Camp.			ınghezza	(cm) 6,4 - 6,8	35
	DESCRIZIO	NE DEL	CAMPIONE I	PROG	RAMMA PROVE			
Data di apertura	del campione		17/5/21					
Descrizione del d	campione:							
Limo argilloso sabbioso bruno con abbondanti inclusi ghiaiosi.								
Classe di qualità	C	Q5						
Fotografia del ca	mpione (se ric	chiesta)			-			
Ubicazione dei p	rovini sottopo	sti ad ana	alisi (disegno	non in s	cala)			
	P	.P. V			ocket penetrome	ter (kPa)		
Alto				V.T. = ∨	ane test (kPa)			
TG	1	50 7	0	OSSER	VAZIONI:			
	1	50 8	30					
Basso								





Sistema di Qualità certificato UNI EN ISO 9001:2007 Certificato Nr 50 100 10624 TUV SUD - Italia

Via Galeotti 3 - 50136 Firenze - Tel/fax 055 6505508 - www.laboratorioelleti.it - laboratorio.elleti@tiscali.it

Certificato n°	029-21	Data	3	/6/21	Pagina	3 / 22
Verbale di acce	ettazione n°	21027	del 12	2/5/21	Prova numero	2102701 -G

Committente Comune di Cantagallo - Area 5 - Ufficio Tecnico - Cantagallo (PO)

Richiedente Geol. Gianni Focardi Provenienza Loc. Fossato - Cantagallo (PO)

Contenitore Fustella PVC Diametro (mm) 85 Lunghezza (cm) 35

Contrassegno Sond. 1 Camp. 1 Profondità (m) 6,4 - 6,8

PESO DI VOLUME

(UNI CEN ISO/TS 17892/2)

Data di prova: 17/05/2021

Peso di volume	kN/m ³	20,7
Massa specifica	g/cm ³	2,11
Volume del terreno	cm ³	1940,7
Peso del terreno	g	4093,0

il Direttore Prof. Geol. Piero Focardi



Sistema di Qualità certificato UNI EN ISO 9001:2007 Certificato Nr 50 100 10624 TUV SUD - Italia

Via Galeotti 3 - 50136 Firenze - Tel/fax 055 6505508 - www.laboratorioelleti.it - laboratorio.elleti@tiscali.it

Certificato n°	029-21	Data	3	03/06/21	Pagina	4 / 22
Verbale di acce	ttazione n°	21027	del	12/5/21	Prova numero	2102701 - Gs

Committente Comune di Cantagallo - Area 5 - Ufficio Tecnico - Cantagallo (PO)

Richiedente Geol. Gianni Focardi Provenienza Loc. Fossato - Cantagallo (PO)

Contenitore Fustella PVC Diametro (mm) 85 Lunghezza (cm) 35

Contrassegno Sond. 1 Camp. 1 Profondità (m) 6,4 - 6,8

PESO SPECIFICO DEI GRANI

(UNI CEN ISO/TS 17892/3)

Data di prova inizio 22/5/21 termine 24/5/21

Picnometro Campione + picnometro	<u>g</u>	40,88 66,80
Camp.+ picnometro + acqua	g g	158,63
Picnometro + acqua	g	142,15
Temperatura ℃	C	20,0
Peso specifico dell'acqua (alla temperatura di prova)	-	1,0000
Peso specifico dei grani	-	2,75
Peso di volume dei grani	kN/m ³	26,9

il Direttore
Prof. Geol. Piero Focardi



Sistema di Qualità certificato UNI EN ISO 9001:2007 Certificato Nr 50 100 10624 TUV SUD - Italia

Via Galeotti 3 - 50136 Firenze - Tel/fax 055 6505508 - www.laboratorioelleti.it - laboratorio.elleti@tiscali.it

 Certificato n°
 029-21
 Data
 3/6/21
 Pagina
 5 / 22

 Verbale di accettazione n°
 21027 del
 12/5/21
 Prova numero
 2102701 - GR 1

Committente Comune di Cantagallo - Area 5 - Ufficio Tecnico - Cantagallo (PO)

Richiedente Geol. Gianni Focardi Provenienza Loc. Fossato - Cantagallo (PO)

Contenitore Fustella PVC Diametro (mm) 85 Lunghezza (cm) 35

Contrassegno Sond. 1 Camp. 1 Profondità (m) 6,4 - 6,8

ANALISI GRANULOMETRICA

Date di prova: inizio 17/5/21 termine 29/5/21

Analisi granulometrica per setacciatura (via umida) (CNR-UNI A. V N.23)

Massa del materiale g = 472,32

Set.	Diam.	Peso	Tratt.	Pass.	
ASTM	ASTM mm		%	%	
3"	76,2	0,00	0,00	100,0	
2"	50,8	0,00	0,00	100,0	
1,5"	38,1	0,00	0,00	100,0	
3/4"	19	0,00	0,00	100,0	
3/8"	9,5	9,51	9,51	90,5	
4	4,75	11,55	21,06	78,9	
10	2,00	12,48	33,55	66,5	
40	0,425	12,78	46,33	53,7	
100	0,150	3,69	50,02	50,0	
200	0,075	0,97	51,00	49,0	

Analisi granulometrica per sedimentazione (AASHTO T 88-72)

Agente disperdente: esametafosfato di sodio 45,70 g/l

Idrometro: tipo 151 H

Massa del materiale g = 50,00

Materiale passante al setaccio ASTM 40 Peso specifico dei grani: 2,75

Temp.	Tempo	Lettura	Dimen.	Pass.
${\mathcal C}$	min	densim.	mm	%
18	0,33	1,0310	0,069	49,0
18	1	1,0296	0,041	46,8
18	2	1,0285	0,029	45,1
18	4	1,0265	0,021	41,9
18	8	1,0250	0,015	39,5
18	15	1,0235	0,011	37,1
18	30	1,0217	0,008	34,3
18	60	1,0196	0,006	31,0
18	120	1,0175	0,004	27,7
18	240	1,0157	0,003	24,8
18	544	1,0142	0,002	22,4
18	1521	1,0121	0,001	19,1

il Direttore Prof. Geol. Piero Focardi

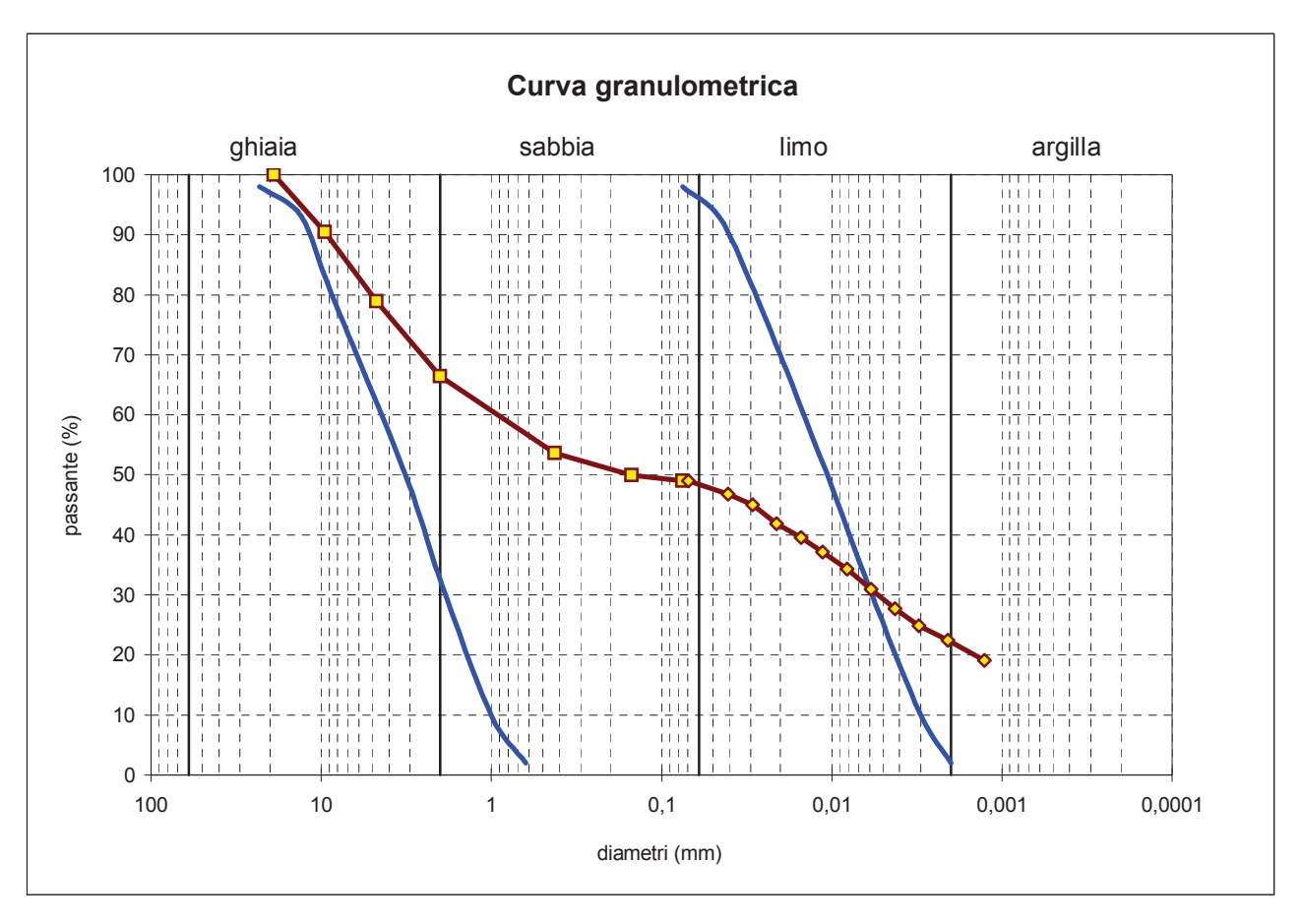


Sistema di Qualità certificato UNI EN ISO 9001:2007 Certificato Nr 50 100 10624 TUV SUD - Italia

Via Galeotti 3 - 50136 Firenze - Tel/fax 055 6505508 - www.laboratorioelleti.it - laboratorio.elleti@tiscali.it

Certificato n°	029-21	Data		03/06/21	Pagina	6 / 22
Verbale di accet	tazione n°	21027	del	12/5/21	Prova numero	2102701 - GR 2
Committente Comune di Cantagallo				Provenienza	Loc. Fossato - 0	Cantagallo (PO)
Sondaggio n°	1	Campion	e n°	1	Prof. (metri)	6,4 - 6,8

CURVA GRANULOMETRICA



Riepilogo dei risultati

Ciottoli	(> 60mm)	%	0
Ghiaia	(60 - 2 mm)	%	34
Sabbia	(2 - 0,060 mm)	%	18
Limo	(0,060-0,002 mm)	%	26
Argilla	(< 0,002 mm)	%	22

Coefficiente di uniformità:

U(D60/D10) =

non determinabile

Il Direttore
Prof. Geol. Piero Focardi





Sistema di Qualità certificato UNI EN ISO 9001:2007 Certificato Nr 50 100 10624 TUV SUD - Italia

1

Via Galeotti 3 - 50136 Firenze - Tel/fax 055 6505508 - www.laboratorioelleti.it - laboratorio.elleti@tiscali.it

Certificato n°	029-21	Data	а	3/6/21	Pagina	7 / 22
Verbale di acce	ttazione n°	21027	del	12/05/21	Prova numero	2102701 -TG/1

Committente Comune di Cantagallo - Area 5 - Ufficio Tecnico - Cantagallo (PO)

Richiedente Geol. Gianni Focardi Provenienza Loc. Fossato - Cantagallo (PO)

Contenitore Fustella PVC Diametro (mm) 85 Lunghezza (cm) 35

Contrassegno Sond. 1 Camp. 1 Profondità (m) 6,4 - 6,8

PROVA DI TAGLIO DIRETTO

(UNI CEN 17892-10)

Data di prova inizio 17/5/21 termine 21/5/21

TEST DI CONSOLIDAZIONE SUL PROVINO NUMERO

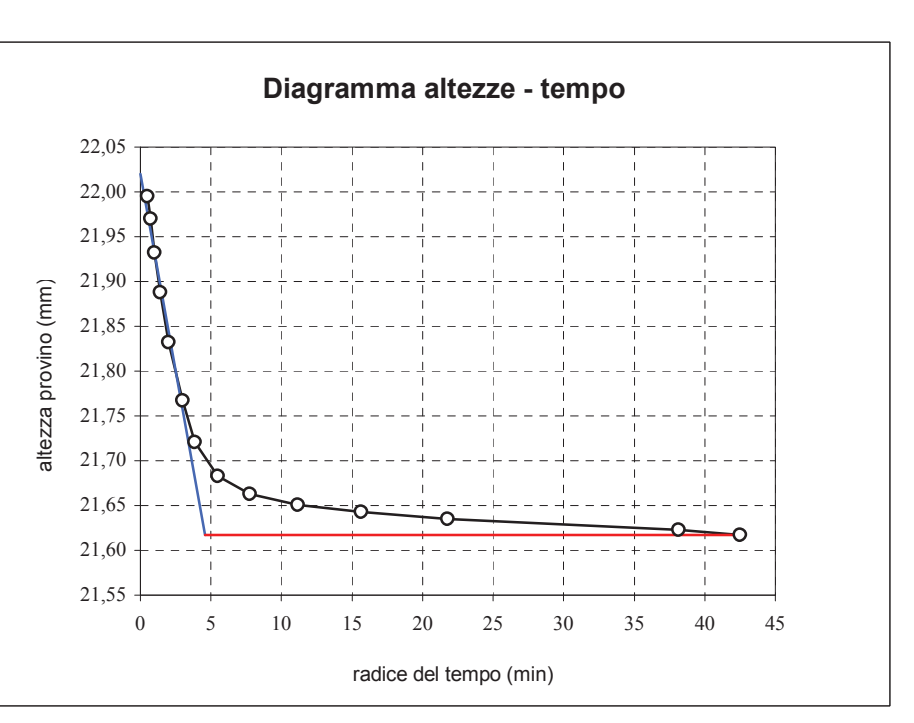
Dimensioni iniziali altezza mm 22,60

sezione cm² 36,00

Pressione normale: kPa 100

Drenaggio attraverso pietre porose situate sopra e sotto il provino.

t	Lett.	Н
(min)	mm	mm
0	22,73	22,60
0,25	22,13	22,00
0,5	22,10	21,97
1	22,06	21,93
2	22,02	21,89
4	21,96	21,83
9	21,90	21,77
15	21,85	21,72
30	21,81	21,68
60	21,79	21,66
125	21,78	21,65
245	21,77	21,64
475	21,77	21,64
1455	21,75	21,62
1805	21,75	21,62



Tempo di consolidazione $\,t_{100}\,$

Velocità di taglio da imporre (per deformazioni a rottura di 6,0 mm) <

21 min 0,0223 mm/min

il Direttore Prof. Geol. Piero Focardi



Sistema di Qualità certificato UNI EN ISO 9001:2007 Certificato Nr 50 100 10624 TUV SUD - Italia

Via Galeotti 3 - 50136 Firenze - Tel/fax 055 6505508 - www.laboratorioelleti.it - laboratorio.elleti@tiscali.it

Certificato n°	029-21	Data	03/06/21	Pagina	8 / 22
Verbale di acce	ttazione n°	21027	Prova nume	ero / pagina prova	2102701 -TG/2
Committente	Comune di	Cantagallo	Provenienza	Loc. Fossato - 0	Cantagallo (PO)
Sondaggio n°	1	Campione n°	1	Prof. (metri)	6,4 - 6,8

PROVA DI TAGLIO DIRETTO

TEST DI CONSOLIDAZIONE SUL PROVINO NUMERO

2

Dimensioni iniziali

altezza

mm 22,60

cm2

sez.

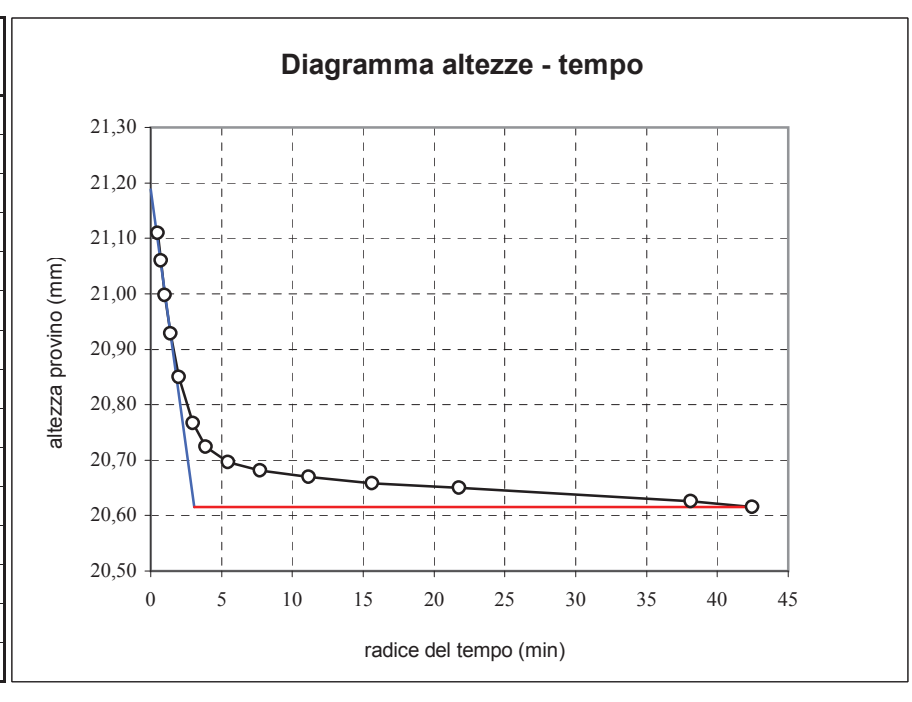
36,00

Pressione normale:

200 kPa

Drenaggio attraverso pietre porose situate sopra e sotto il provino.

t	Lett.	Н
(min)	mm	mm
0	10,34	22,60
0,25	8,85	21,11
0,5	8,80	21,06
1	8,74	21,00
2	8,67	20,93
4	8,59	20,85
9	8,51	20,77
15	8,46	20,72
30	8,44	20,70
60	8,42	20,68
125	8,41	20,67
245	8,40	20,66
475	8,39	20,65
1455	8,37	20,63
1805	8,36	20,62



Tempo di consolidazione t₁₀₀

10

Velocità di taglio da imporre (per deformazioni a rottura di 6,0 mm) <

0,0496 mm/min

min

il Direttore Prof. Geol-Piero Focardi



Sistema di Qualità certificato UNI EN ISO 9001:2007 Certificato Nr 50 100 10624 TUV SUD - Italia

Via Galeotti 3 - 50136 Firenze - Tel/fax 055 6505508 - www.laboratorioelleti.it - laboratorio.elleti@tiscali.it

Certificato n°	029-21	Data	03/06/21	Pagina	9 / 22
Verbale di accet	tazione n°	21027	Prova nume	ero / pagina prova	2102701 -TG/3
Committente	Comune di	Cantagallo	Provenienza	Loc. Fossato - C	Cantagallo (PO)
Sondaggio n°	1	Campione n°	1	Prof. (metri)	6,4 - 6,8

PROVA DI TAGLIO DIRETTO

TEST DI CONSOLIDAZIONE SUL PROVINO NUMERO

3

Dimensioni iniziali

altezza sez. mm 22,60

cm2

300

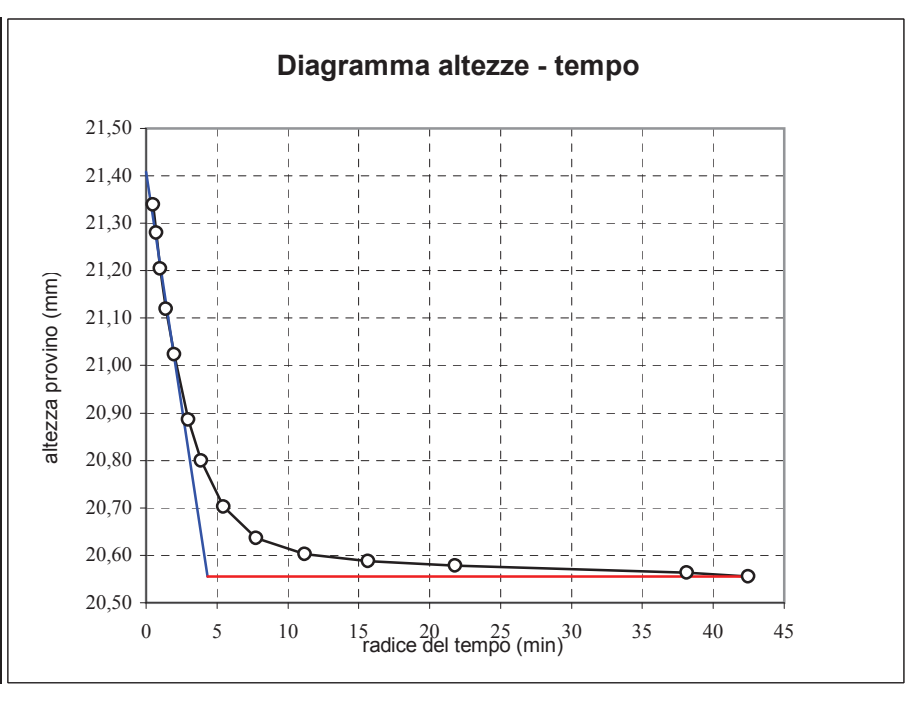
36,00

Pressione normale:

kPa

Drenaggio attraverso pietre porose situate sopra e sotto il provino.

	7
Lett.	Н
mm	mm
6,07	22,60
4,81	21,34
4,75	21,28
4,68	21,21
4,59	21,12
4,49	21,02
4,36	20,89
4,27	20,80
4,17	20,70
4,11	20,64
4,07	20,60
4,06	20,59
4,05	20,58
4,03	20,56
4,03	20,56
	mm 6,07 4,81 4,75 4,68 4,59 4,49 4,36 4,27 4,17 4,11 4,07 4,06 4,05 4,03



Tempo di consolidazione t₁₀₀

Velocità di taglio da imporre (per deformazioni a rottura di 6,0 mm) <

19 min0,0251 mm/min

il Direttore
Prof. Geol. Piero Focardi



Sistema di Qualità certificato UNI EN ISO 9001:2007 Certificato Nr 50 100 10624 TUV SUD - Italia

Via Galeotti 3 - 50136 Firenze - Tel/fax 055 6505508 - www.laboratorioelleti.it - laboratorio.elleti@tiscali.it

Certificato n°	029-21	Data	03/06/21	Pagina	10 / 22
Verbale di acce	ttazione n°	21027	Prova nume	ero / pagina prova	2102701 -TG/4
Committente	Comune di	Cantagallo	Provenienza	Loc. Fossato - C	Cantagallo (PO)
Sondaggio n°	1	Campione n°	1	Prof. (metri)	6,4 - 6,8

PROVA DI TAGLIO DIRETTO

1

PROVA DI TAGLIO SUL PROVINO NUMERO

Pressione di consolidazione kPa 100
Tempo di consolidazione ore 30
Pressione normale kPa 100
Resistenza al taglio kPa 96
Spostamento orizz. a rottura mm 6,62

VELOCITA' DI PROVA 0

0,005 mm/min

s = spostamento (mm)

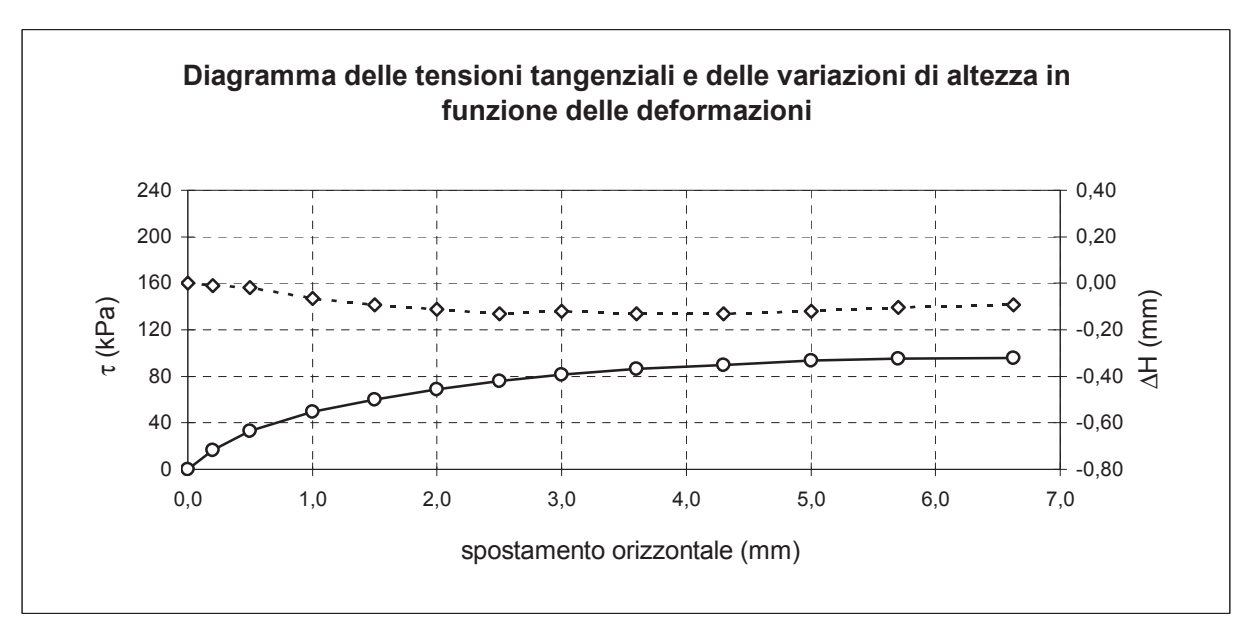
e = deformazione provino (%)

Din = lettura dinamometro (mm)

DH = variazione di altezza del provino (mm)

t = resistenza al taglio (kPa)

s	Din.	DH	t
mm	mm	mm	kPa
0,00	0,000	0,00	0
0,20	0,109	-0,01	17
0,50	0,215	-0,02	33
1,00	0,323	-0,07	50
1,50	0,390	-0,09	60
2,00	0,450	-0,11	69
2,50	0,496	-0,13	76
3,00	0,532	-0,12	82
3,60	0,562	-0,13	86
4,30	0,586	-0,13	90
5,00	0,611	-0,12	94
5,70	0,620	-0,10	95
6,62	0,624	-0,09	96



il Direttore Prof. Geol. Piero Focardi



Sistema di Qualità certificato UNI EN ISO 9001:2007 Certificato Nr 50 100 10624 TUV SUD - Italia

Via Galeotti 3 - 50136 Firenze - Tel/fax 055 6505508 - www.laboratorioelleti.it - laboratorio.elleti@tiscali.it

Certificato n°	029-21	Data	03/06/2021	Pagina	11 / 22
Verbale di accet	tazione n°	21027	Prova nume	ero / pagina prova	2102701 -TG/5
Committente	Comune d	i Cantagallo	Provenienza	Loc. Fossato - C	Cantagallo (PO)
Sondaggio n°	1	Campione n°	1	Prof. (metri)	6,4 - 6,8

PROVA DI TAGLIO DIRETTO

2

PROVA DI TAGLIO SUL PROVINO NUMERO

Pressione di consolidazione kPa 200
Tempo di consolidazione ore 30
Pressione normale kPa 200
Resistenza al taglio kPa 158
Spostamento orizz. a rottura mm 5,70

VELOCITA' DI PROVA 0,005 mm/min

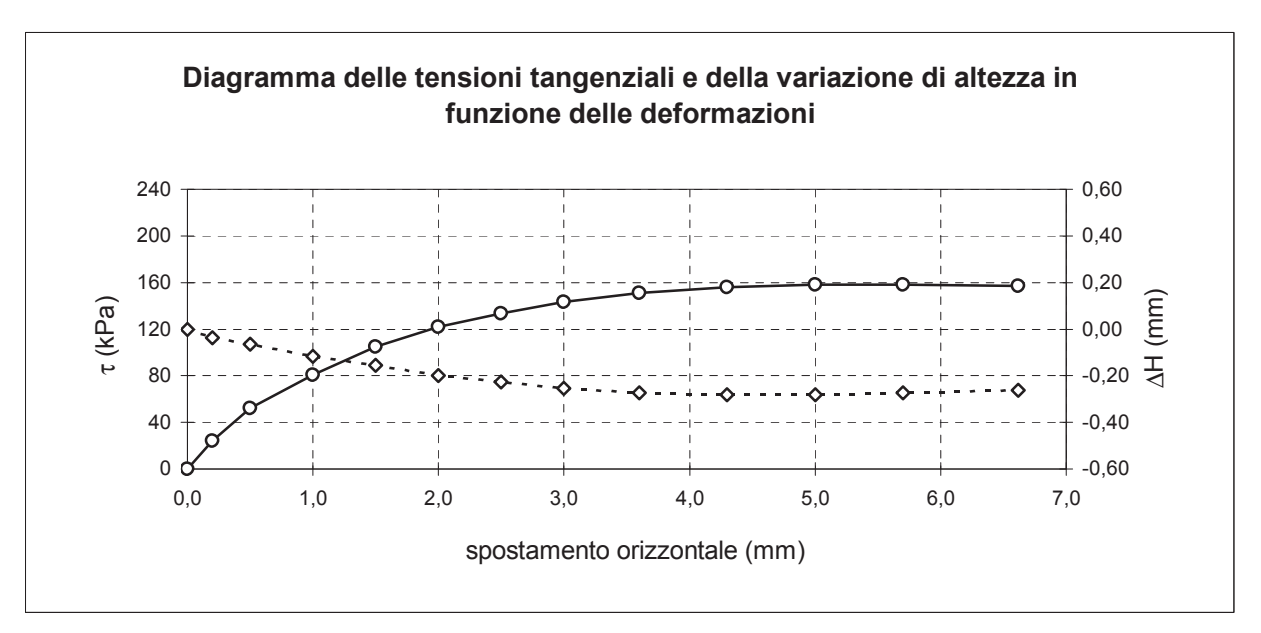
s = spostamento (mm)

Din = lettura dinamometro (mm)

DH = variazione di altezza del provino (mm)

t = resistenza al taglio (kPa)

s	Din.	DH	t
mm	mm	mm	kPa
0,00	0,000	0,00	0
0,20	0,095	-0,04	24
0,50	0,205	-0,06	52
1,00	0,318	-0,12	81
1,50	0,412	-0,15	105
2,00	0,479	-0,20	122
2,50	0,525	-0,23	133
3,00	0,563	-0,25	143
3,60	0,593	-0,27	151
4,30	0,613	-0,28	156
5,00	0,621	-0,28	158
5,70	0,622	-0,27	158
6,62	0,618	-0,26	157



il Direttore Prof. Geol. Piero Focardi



Sistema di Qualità certificato UNI EN ISO 9001:2007 Certificato Nr 50 100 10624 TUV SUD - Italia

Via Galeotti 3 - 50136 Firenze - Tel/fax 055 6505508 - www.laboratorioelleti.it - laboratorio.elleti@tiscali.it

Certificato n°	029-21	Data	03/06/21	Pagina	12 / 22
Verbale di accet	tazione n°	21027	Prova nume	ero / pagina prova	2102701 -TG/6
Committente	Comune di	Cantagallo	Provenienza	Loc. Fossato - C	antagallo (PO)
Sondaggio n°	1	Campione n°	1	Prof. (metri)	6,4 - 6,8

PROVA DI TAGLIO DIRETTO

3

PROVA DI TAGLIO SUL PROVINO NUMERO

Pressione di consolidazione kPa 300
Tempo di consolidazione ore 30
Pressione normale kPa 300
Resistenza al taglio kPa 196
Spostamento orizz. a rottura mm 6,42

VELOCITA' DI PROVA 0,005 mm/min

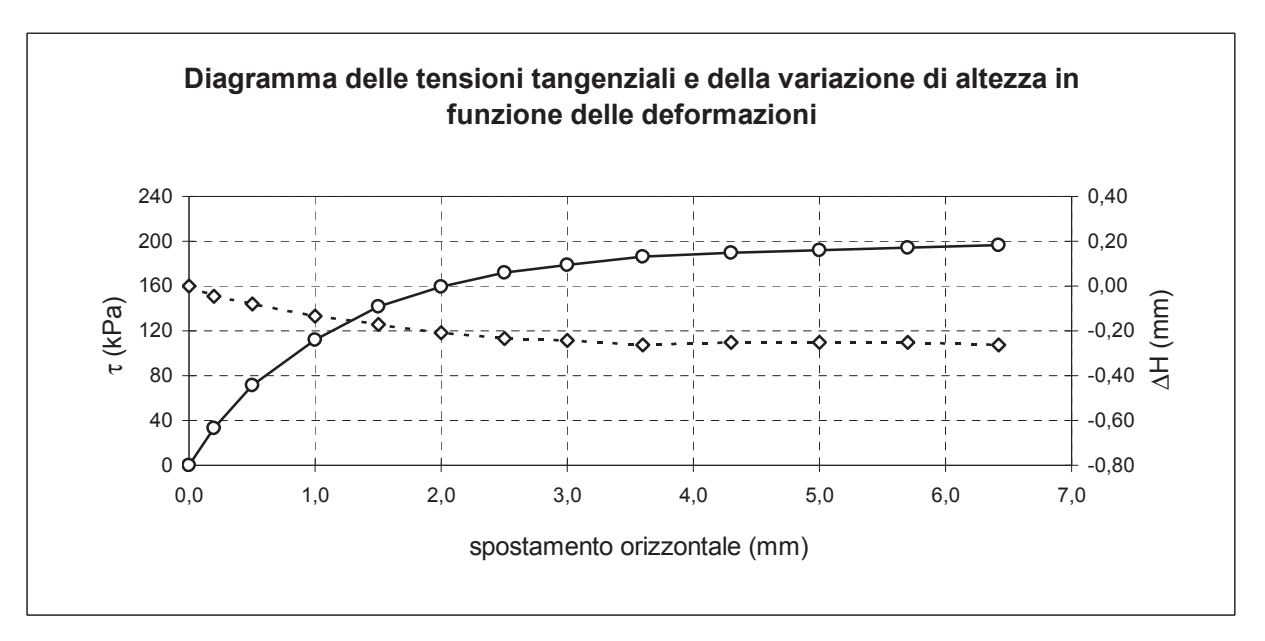
s = spostamento (mm)

Din = lettura dinamometro (mm)

DH = variazione di altezza del provino (mm)

t = resistenza al taglio (kPa)

S	Din.	DH	t
mm	mm	mm	kPa
0,00	0,000	0,00	0
0,20	0,072	-0,05	33
0,50	0,154	-0,08	71
1,00	0,241	-0,14	112
1,50	0,305	-0,17	142
2,00	0,343	-0,21	159
2,50	0,371	-0,23	172
3,00	0,385	-0,24	179
3,60	0,401	-0,26	186
4,30	0,409	-0,25	190
5,00	0,414	-0,25	192
5,70	0,419	-0,25	194
6,42	0,423	-0,26	196



Il Direttore
Prof. Geol. Piero Focardi



Sistema di Qualità certificato UNI EN ISO 9001:2007 Certificato Nr 50 100 10624 TUV SUD - Italia

Via Galeotti 3 - 50136 Firenze - Tel/fax 055 6505508 - www.laboratorioelleti.it - laboratorio.elleti@tiscali.it

Certificato n° 029-21 03/06/21 Pagina 13 / 22 Data Verbale di accettazione n° 21027 Prova numero / pagina prova 2102701 -TG/7 Committente Provenienza Loc. Fossato - Cantagallo (PO) Comune di Cantagallo Sondaggio n° 1 Campione n° 1 Prof. (metri) 6,4 - 6,8

PROVA DI TAGLIO DIRETTO

(ASTM D 3080)

Dimensioni iniziali : altezza 2,26 cm sezione 36,00 cm²

PESO DI VOLUME

		Prima della prova			Dopo la rottura			
Provino numero		1	2	3	1	2	3	
Massa del terreno	g	172,23	172,51	172,30	169,29	165,13	164,42	
Volume del terreno	cm ³	81,36	81,36	81,36	77,46	73,17	72,96	
Massa specifica	g/cm ³	2,12	2,12	2,12	2,19	2,26	2,25	
Peso di volume	kN/m ³	20,76	20,79	20,77	21,43	22,13	22,10	

CONTENUTO DI ACQUA

		Prima della prova			Dopo la rottura		
Provino numero		1	2	3	1	2	3
Massa terreno umido	g	172,23	172,51	172,30	169,29	165,13	164,42
Massa terreno secco	g	144,38	144,68	144,00	144,38	144,68	144,00
Contenuto di acqua	%	19,29	19,24	19,65	17,25	14,13	14,18

il Direttore Prof. Geol. Piero Focardi



Sistema di Qualità certificato UNI EN ISO 9001:2007 Certificato Nr 50 100 10624 TUV SUD - Italia

Via Galeotti 3 - 50136 Firenze - Tel/fax 055 6505508 - www.laboratorioelleti.it - laboratorio.elleti@tiscali.it

Certificato n° Committente Richiedente Provenienza Contenitore Contrassegno	029-21 Comune di Canta Geol. Gianni Foca Via L'Estaque - Le Fustella PVC Sond.	ardi	tagallo (PO)	Lunghezza	14 / 22 (cm) 38 9,5 - 9,9
	DESCRIZIONE D	EL CAMPIONE E	PROGRAMMA	PROVE	
Data di apertura	del campione	20/5/21			
Descrizione del d	campione:				
Limo argillos br	uno molto compat	to. Presenza di in	clusi ghiaiosi.		
Classe di qualità	Q5				
Fotografia del ca	mpione (se richiesta	а)			
Ubicazione dei p	rovini sottoposti ad	analisi (disegno no	on in scala)		
Alto	P.P.		P.P. = Pocket per P.T. = Vane test	netrometer (kPa) (kPa)	
TG	550	> 200	SSERVAZIONI		
Basso	300				







Sistema di Qualità certificato UNI EN ISO 9001:2007 Certificato Nr 50 100 10624 TUV SUD - Italia

Via Galeotti 3 - 50136 Firenze - Tel/fax 055 6505508 - www.laboratorioelleti.it - laboratorio.elleti@tiscali.it

Certificato n°	029-21	Dat	а	3/6/21	Pagina	15 / 22
Verbale di acce	ttazione n°	21027	del	12/5/21	Prova numero	2102702 -G

Committente Comune di Cantagallo - Area 5 - Ufficio Tecnico - Cantagallo (PO)

Richiedente Geol. Gianni Focardi Provenienza Loc. Fossato - Cantagallo (PO)

Contenitore Fustella PVC Diametro (mm) 85 Lunghezza (cm) 38

Contrassegno Sond. 1 Camp. 2 Profondità (m) 9,5 - 9,9

PESO DI VOLUME

(UNI CEN ISO/TS 17892/2)

Data di prova: 20/05/2021

Peso del terreno	g	4110,0
Volume del terreno	cm ³	1986,1
Massa specifica	g/cm ³	2,07
Peso di volume	kN/m³	20,3

il Direttore Prof. Geol. Piero Focardi



Sistema di Qualità certificato UNI EN ISO 9001:2007 Certificato Nr 50 100 10624 TUV SUD - Italia

1

Via Galeotti 3 - 50136 Firenze - Tel/fax 055 6505508 - www.laboratorioelleti.it - laboratorio.elleti@tiscali.it

Certificato n°	029-21	Data	a	3/6/21	Pagina	16 / 22
Verbale di acce	ettazione n°	21027	del	12/05/21	Prova numero	2102702 -TG/1

Committente Comune di Cantagallo - Area 5 - Ufficio Tecnico - Cantagallo (PO)

Richiedente Geol. Gianni Focardi Provenienza Loc. Fossato - Cantagallo (PO) Contenitore Fustella PVC Diametro (mm) 85 Lunghezza (cm) 38 2 9,5 - 9,9 Contrassegno Sond. Camp. Profondità (m)

PROVA DI TAGLIO DIRETTO

(UNI CEN 17892-10)

Data di prova inizio 20/5/21 termine 24/5/21

TEST DI CONSOLIDAZIONE SUL PROVINO NUMERO

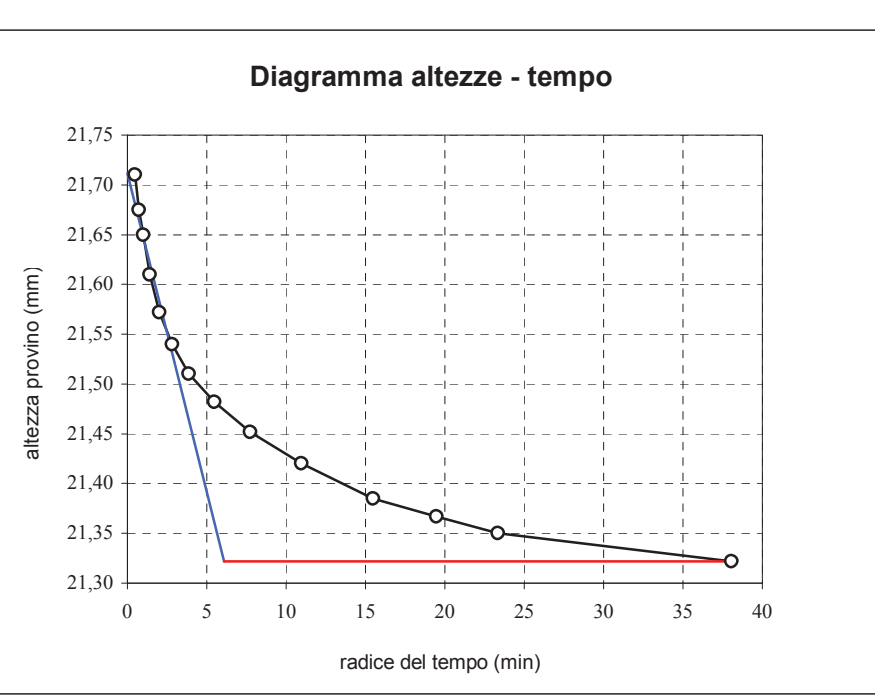
Dimensioni iniziali altezza mm 22,60

sezione cm² 36,00

Pressione normale: kPa 100

Drenaggio attraverso pietre porose situate sopra e sotto il provino.

t	Lett.	Н	
(min)	mm	mm	
0	22,35	22,60	
0,25	21,46	21,71	
0,5	21,43	21,68	
1	21,40	21,65	
2	21,36	21,61	
4	21,32	21,57	
8	21,29	21,54	
15	21,26	21,51	
30	21,23	21,48	
60	21,20	21,45	
120	21,17	21,42	
240	21,14	21,39	
380	21,12	21,37	
545	21,10	21,35	
1450	21,07	21,32	



Tempo di consolidazione $\,t_{100}\,$

Velocità di taglio da imporre (per deformazioni a rottura di 6,0 mm) <

37 min 0,0128 mm/min

il Direttore
Prof. Geol. Piero Focardi



Sistema di Qualità certificato UNI EN ISO 9001:2007 Certificato Nr 50 100 10624 TUV SUD - Italia

Via Galeotti 3 - 50136 Firenze - Tel/fax 055 6505508 - www.laboratorioelleti.it - laboratorio.elleti@tiscali.it

Certificato n°	029-21	Data	03/06/21	Pagina	17 / 22
Verbale di accet	tazione n°	21027	Prova nume	ro / pagina prova	2102702 -TG/2
Committente	Comune di	i Cantagallo	Provenienza	Loc. Fossato - C	antagallo (PO)
Sondaggio n°	1	Campione n°	2	Prof. (metri)	9,5 - 9,9

PROVA DI TAGLIO DIRETTO

TEST DI CONSOLIDAZIONE SUL PROVINO NUMERO

2

Dimensioni iniziali

altezza

mm 22,60

cm2

sez.

36,00

Pressione normale:

kPa 200

Drenaggio attraverso pietre porose situate sopra e sotto il provino.

t	Lett.	Н
(min)	mm	mm
0	10,42	22,60
0,25	9,53	21,71
0,5	9,50	21,68
1	9,48	21,66
2	9,44	21,62
4	9,42	21,60
8	9,39	21,57
15	9,36	21,54
30	9,33	21,51
60	9,29	21,47
120	9,22	21,40
240	9,18	21,36
380	9,17	21,35
545	9,16	21,34
1450	9,15	21,33
	•	,

	Diagramma altezze - tempo
	21,80
	21,75
	21,70
Ē	21,65
m) or	21,60
altezza provino (mm)	21,55
zza p	21,50
alte	21,45
	21,40
	21,35
	21,30
	0 5 10 15 20 25 30 35 40
	radice del tempo (min)

Tempo di consolidazione t₁₀₀

Velocità di taglio da imporre (per deformazioni a rottura di 6,0 mm) <

27 min0,0175 mm/min

il Direttore
Prof. Geol. Piero Focardi



Sistema di Qualità certificato UNI EN ISO 9001:2007 Certificato Nr 50 100 10624 TUV SUD - Italia

Via Galeotti 3 - 50136 Firenze - Tel/fax 055 6505508 - www.laboratorioelleti.it - laboratorio.elleti@tiscali.it

Certificato n°	029-21	Data	03/06/21	Pagina	18 / 22
Verbale di acce	ttazione n°	21027	Prova nume	ero / pagina prova	2102702 -TG/3
Committente	tente Comune di Cantagallo		Provenienza	Loc. Fossato - C	antagallo (PO)
Sondaggio n°	1	Campione n°	2	Prof. (metri)	9,5 - 9,9

PROVA DI TAGLIO DIRETTO

TEST DI CONSOLIDAZIONE SUL PROVINO NUMERO

3

Dimensioni iniziali

altezza

mm 22,60

cm2

sez.

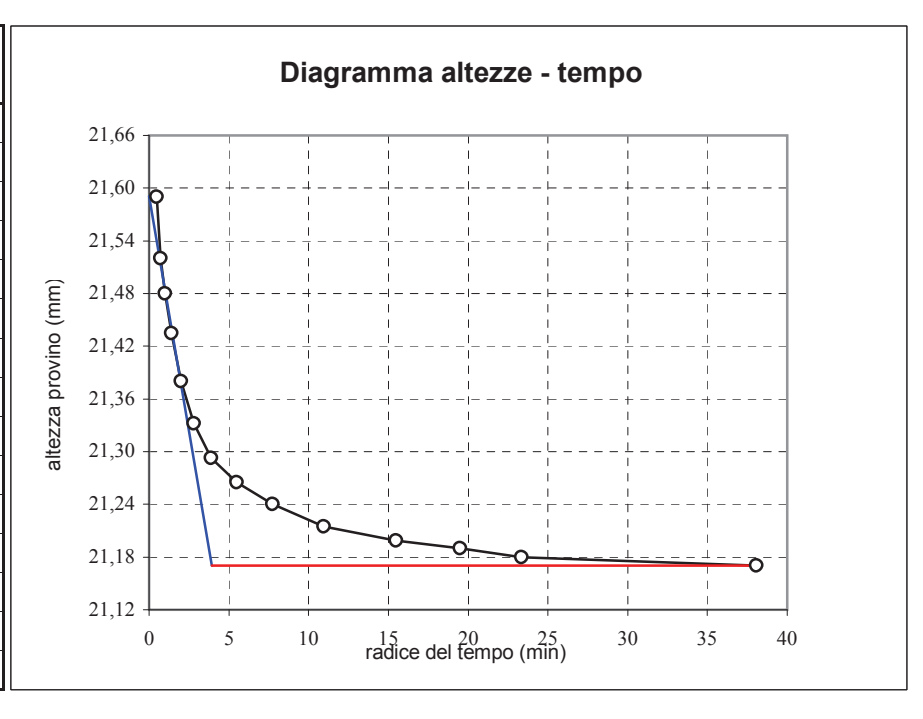
36,00

Pressione normale:

kPa 300

Drenaggio attraverso pietre porose situate sopra e sotto il provino.

1 11	
Lett.	Н
mm	mm
6,78	22,60
5,77	21,59
5,70	21,52
5,66	21,48
5,62	21,44
5,56	21,38
5,51	21,33
5,47	21,29
5,45	21,27
5,42	21,24
5,40	21,22
5,38	21,20
5,37	21,19
5,36	21,18
5,35	21,17
	mm 6,78 5,77 5,70 5,66 5,62 5,56 5,51 5,47 5,45 5,42 5,40 5,38 5,37 5,36



Tempo di consolidazione t₁₀₀

Velocità di taglio da imporre (per deformazioni a rottura di 6,0 mm) <

15 min 0,0306 mm/min

il Direttore Prof. Geof. Piero Foçardi



Sistema di Qualità certificato UNI EN ISO 9001:2007 Certificato Nr 50 100 10624 TUV SUD - Italia

Via Galeotti 3 - 50136 Firenze - Tel/fax 055 6505508 - www.laboratorioelleti.it - laboratorio.elleti@tiscali.it

Certificato n°	029-21	Data	03/06/21	Pagina	19 / 22
Verbale di acce	ttazione n°	21027	Prova nume	ero / pagina prova	2102702 -TG/4
Committente	Comune di	Cantagallo	Provenienza	Loc. Fossato - C	Cantagallo (PO)
Sondaggio n°	1	Campione n°	2	Prof. (metri)	9,5 - 9,9

PROVA DI TAGLIO DIRETTO

PROVA DI TAGLIO SUL PROVINO NUMERO

Pressione di consolidazione kPa 100
Tempo di consolidazione ore 24
Pressione normale kPa 100
Resistenza al taglio kPa 70
Spostamento orizz. a rottura mm 6,46

VELOCITA' DI PROVA

0,005 mm/min

s = spostamento (mm)

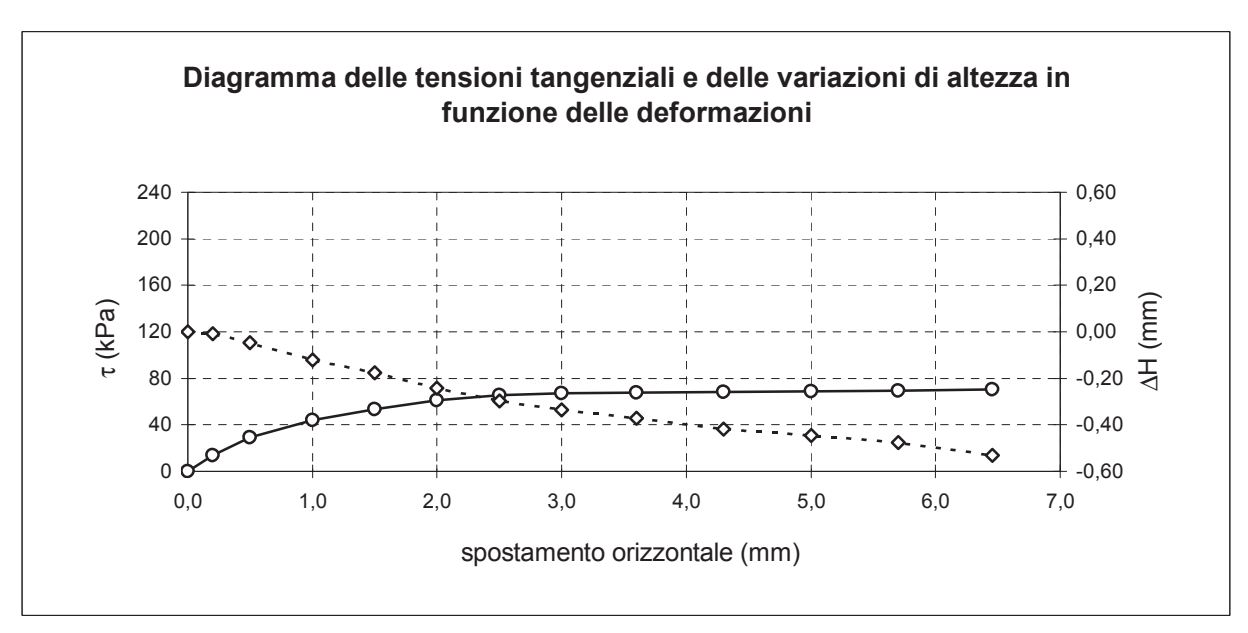
e = deformazione provino (%)

Din = lettura dinamometro (mm)

DH = variazione di altezza del provino (mm)

t = resistenza al taglio (kPa)

S	Din.	DH	t
mm	mm	mm	kPa
0,00	0,000	0,00	0
0,20	0,090	-0,01	14
0,50	0,192	-0,05	29
1,00	0,288	-0,12	44
1,50	0,349	-0,18	54
2,00	0,397	-0,24	61
2,50	0,428	-0,30	66
3,00	0,437	-0,34	67
3,60	0,441	-0,37	68
4,30	0,446	-0,42	68
5,00	0,449	-0,45	69
5,70	0,454	-0,47	70
6,46	0,458	-0,53	70



il Direttore Prof. Geol. Piero Focardi



Sistema di Qualità certificato UNI EN ISO 9001:2007 Certificato Nr 50 100 10624 TUV SUD - Italia

Via Galeotti 3 - 50136 Firenze - Tel/fax 055 6505508 - www.laboratorioelleti.it - laboratorio.elleti@tiscali.it

Certificato n°	029-21	Data	03/06/2021	Pagina	20 / 22
Verbale di accet	tazione n°	21027	Prova nume	ero / pagina prova	2102702 -TG/5
Committente	Comune di	i Cantagallo	Provenienza	Loc. Fossato - C	antagallo (PO)
Sondaggio n°	1	Campione n°	2	Prof. (metri)	9,5 - 9,9

PROVA DI TAGLIO DIRETTO

2

PROVA DI TAGLIO SUL PROVINO NUMERO

Pressione di consolidazione kPa 200
Tempo di consolidazione ore 24
Pressione normale kPa 200
Resistenza al taglio kPa 103
Spostamento orizz. a rottura mm 4,30

VELOCITA' DI PROVA 0,005 mm/min

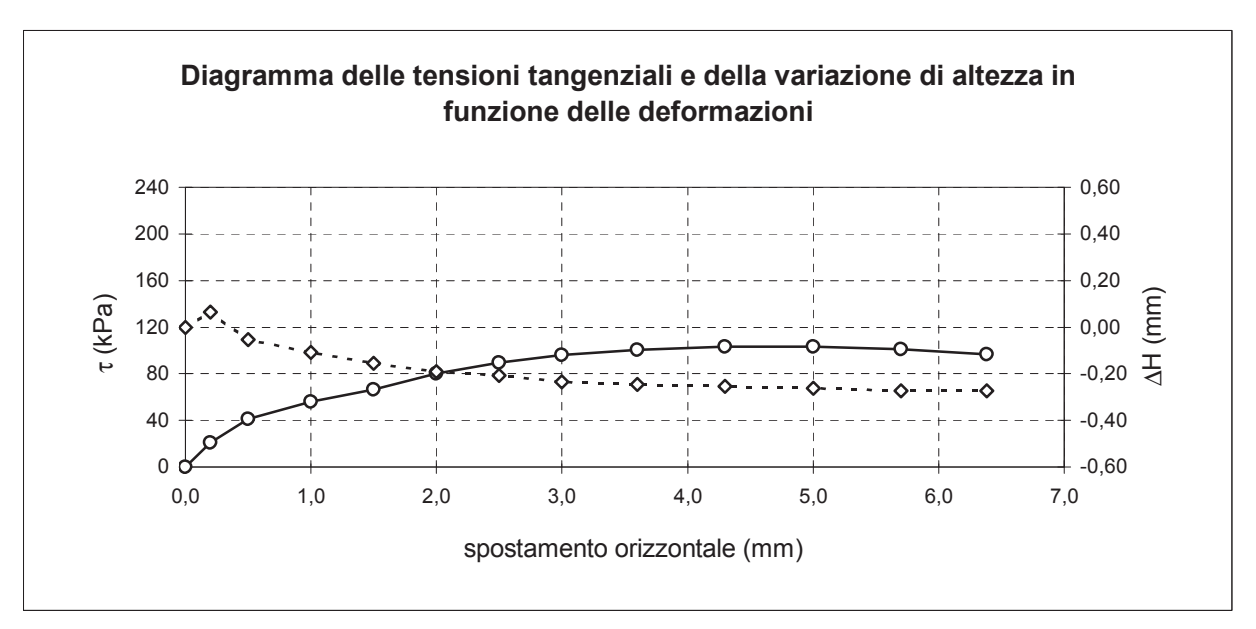
s = spostamento (mm)

Din = lettura dinamometro (mm)

DH = variazione di altezza del provino (mm)

t = resistenza al taglio (kPa)

s	Din.	DH	t
mm	mm	mm	kPa
0,00	0,000	0,00	0
0,20	0,082	0,06	21
0,50	0,162	-0,05	41
1,00	0,221	-0,11	56
1,50	0,262	-0,15	67
2,00	0,315	-0,19	80
2,50	0,352	-0,21	90
3,00	0,377	-0,24	96
3,60	0,395	-0,24	100
4,30	0,407	-0,25	103
5,00	0,405	-0,26	103
5,70	0,397	-0,27	101
6,38	0,381	-0,27	97



il Direttore Prof. Geol. Piero Focardi



Sistema di Qualità certificato UNI EN ISO 9001:2007 Certificato Nr 50 100 10624 TUV SUD - Italia

Via Galeotti 3 - 50136 Firenze - Tel/fax 055 6505508 - www.laboratorioelleti.it - laboratorio.elleti@tiscali.it

Certificato n°	029-21	Data	03/06/21	Pagina	21 / 22
Verbale di accet	tazione n°	21027	Prova nume	ero / pagina prova	2102702 -TG/6
Committente	Comune d	i Cantagallo	Provenienza	Loc. Fossato - C	Cantagallo (PO)
Sondaggio n°	1	Campione n°	2	Prof. (metri)	9,5 - 9,9

PROVA DI TAGLIO DIRETTO

3

PROVA DI TAGLIO SUL PROVINO NUMERO

Pressione di consolidazione kPa 300
Tempo di consolidazione ore 24
Pressione normale kPa 300
Resistenza al taglio kPa 162
Spostamento orizz. a rottura mm 4,30

VELOCITA' DI PROVA 0,005 mm/min

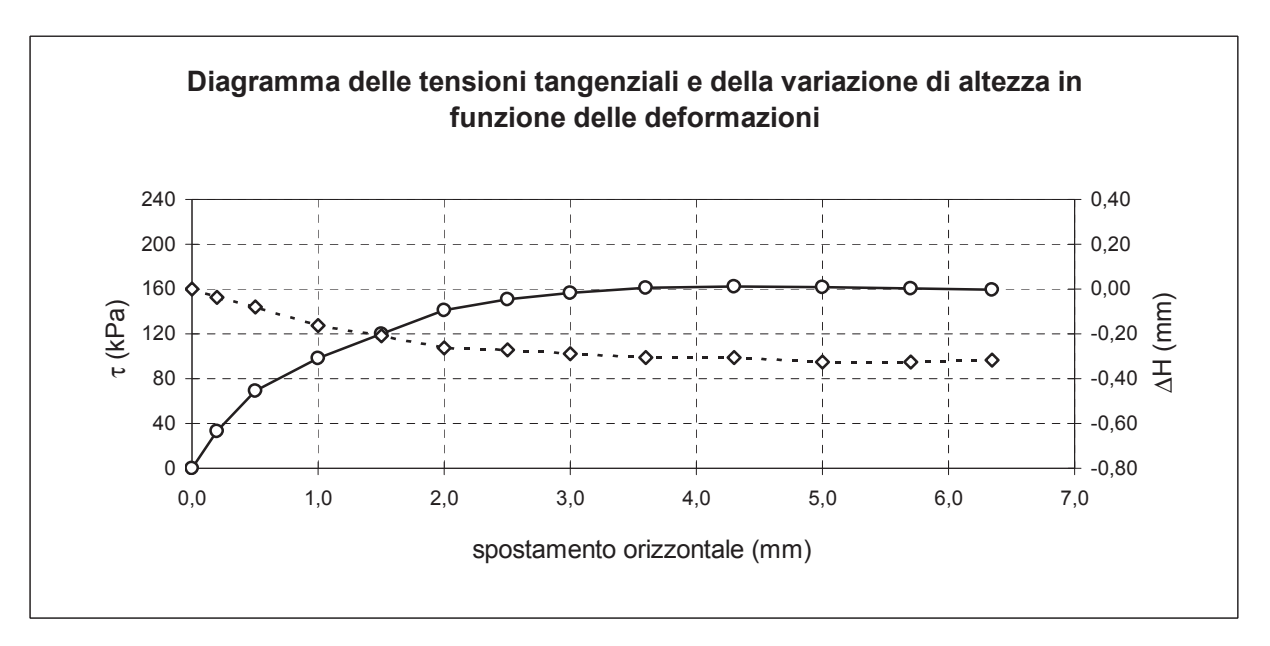
s = spostamento (mm)

Din = lettura dinamometro (mm)

DH = variazione di altezza del provino (mm)

t = resistenza al taglio (kPa)

s	Din.	DH	t
mm	mm	mm	kPa
0,00	0,000	0,00	0
0,20	0,071	-0,04	33
0,50	0,149	-0,08	69
1,00	0,212	-0,16	98
1,50	0,258	-0,21	120
2,00	0,304	-0,26	141
2,50	0,325	-0,27	151
3,00	0,337	-0,29	156
3,60	0,347	-0,31	161
4,30	0,350	-0,31	162
5,00	0,349	-0,32	162
5,70	0,346	-0,32	161
6,34	0,343	-0,32	159



il Direttore Prof. Geol. Piero Focardi



Concessione Ministeriale Circ. 7618/STC - Settore A

Sistema di Qualità certificato UNI EN ISO 9001:2007 Certificato Nr 50 100 10624 TUV SUD - Italia

Via Galeotti 3 - 50136 Firenze - Tel/fax 055 6505508 - www.laboratorioelleti.it - laboratorio.elleti@tiscali.it

Certificato n° 029-21 03/06/21 Pagina 22 / 22 Data Verbale di accettazione n° 21027 Prova numero / pagina prova 2102702 -TG/7 Committente Loc. Fossato - Cantagallo (PO) Comune di Cantagallo Provenienza Sondaggio n° 1 Campione n° 2 Prof. (metri) 9,5 - 9,9

PROVA DI TAGLIO DIRETTO

(ASTM D 3080)

Dimensioni iniziali :

altezza 2,26 cm

sezione: 36,00 cm²

PESO DI VOLUME

		Prima della prova		Dopo la rottura		ura	
Provino numero		1	2	3	1	2	3
Massa del terreno	g	161,20	164,41	169,92	157,33	161,27	164,40
Volume del terreno	cm ³	81,36	81,36	81,36	74,71	75,69	74,95
Massa specifica	g/cm ³	1,98	2,02	2,09	2,11	2,13	2,19
Peso di volume	kN/m ³	19,43	19,82	20,48	20,65	20,90	21,51

CONTENUTO DI ACQUA

		Prima della prova		Dopo la rottura			
Provino numero		1	2	3	1	2	3
Massa terreno umido	g	161,20	164,41	169,92	157,33	161,27	164,40
Massa terreno secco	g	131,39	136,00	142,07	131,39	136,00	142,07
Contenuto di acqua	%	22,69	20,89	19,60	19,74	18,58	15,72

il Direttore Prof. Geol. Piero Focardi Dr. Geol Alessandro Lugo

RIEPILOGO DEI RISULTATI DI ANALISI DI LABORATORIO

IL PRESENTE DOCUMENTO (AD USO INTERNO) NON SOSTITUISCE IL CERTIFICATO DI PROVA

Committente: Comune di Cantagallo

Dati del campione:

Provenienza: Via L'Estaque - Loc. Fossato - Cantagallo (PO)

Sondaggio n° 1 Campione n° 1 Prof. m 6,4 - 6,8

CODICE CAMPIONE 21027 01

Descrizione del campione:

Limo argilloso sabbioso bruno con abbondanti inclusi ghiaiosi.

GRANDEZZE FISICHE DETERMINATE	Contenuto di acqua %		-	
	Peso di volume kN/m ³		20,7	
	Peso specifico dei granuli		2,75	
GRANDEZZE FISICHE CALCOLATE	Indice dei vuoti			
	Porosità		_	
	Grado di saturazione %			
	Densità secca kN/m ³		-	
LIMITI DI CONSISTENZA	Limite di liquidità		-	
	Limite di plasticità		-	
	Limite di ritiro		-	
GRANULOMETRIA PER SETACCIATURA	Passante setaccio 200	%	49	
COMPLETA (SETACCIATURA E SEDIMENTAZIONE)	ciottoli+ghiaia	%	34	
	sabbia	%	18	
	limo	%	26	
	argilla	%	22	
CLASSIFICAZIONE AASHO (GRUPPO e SOTTOGRUF	PPO)	-		
RESISTENZA ALLA COMPRESSIONE SEMPLICE	(kPa)		-	
PROVA DI TAGLIO DIRETTA	angolo di attrito interno (gradi)		27	
	coesione (kPa)		49	
PROVA TRIASSIALE CD	angolo di attrito interno eff. (gra	di)	-	
	coesione eff. (kPa)		-	
PROVA TRIASSIALE CUD	angolo di attrito interno eff. (gra	di)	-	
	coesione eff. (kPa)		-	
PROVA TRIASSIALE UU	coesione non drenata (kPa)		-	
PROVA DI TAGLIO TORSIONALE	angolo di attrito di picco (gradi)		-	
	coesione di picco (kPa)		-	
	angolo di attrito residuo (gradi)		-	
	coesione residua (kPa)		-	
PROVA EDOMETRICA	Indice di compressione c _c		-	
	Indice di rigonfiamento c _s		-	
	Pressione di preconsolidazione)	-	
PERMEABILITA'	Coeff.di permeabilità k (cm/s)		-	

ELABORAZIONE RISULTATI DATI SPERIMENTALI

PROVA DI TAGLIO

Committente: Comune di Cantagallo

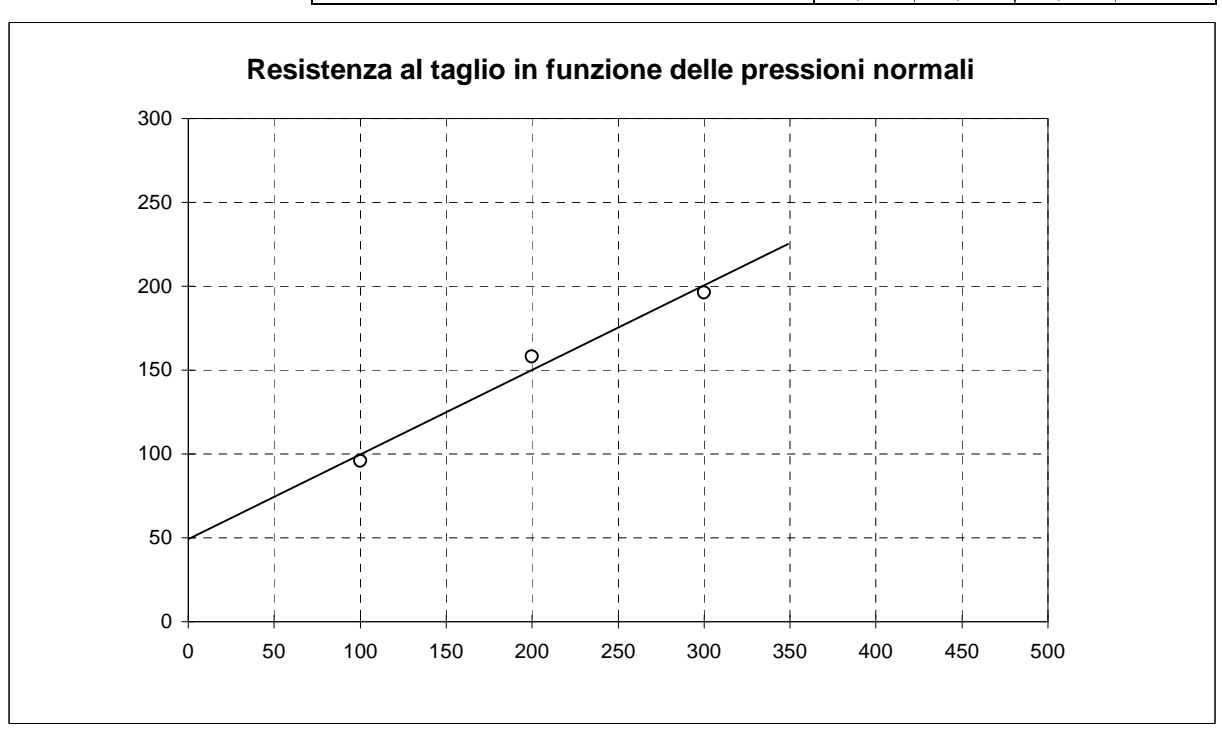
Dati del campione:

Provenienza: Loc. Fossato - Cantagallo (PO)

Sondaggio n° 1 Campione n° 1 Prof. m 6,4 - 6,8

STATO TENSIONALE A ROTTURA

Prova numero	1	2	3	
Pressione normale kPa	100	200	300	
Resistenza al taglio kPa	96	158	196	
Deformazione a rottura mm	6,62	5,70	6,42	



Coesione = 49 kPa

Angolo di attrito interno 27°

Coefficiente di correlazione della retta: 0,9810

RIEPILOGO DEI RISULTATI DI ANALISI DI LABORATORIO

IL PRESENTE DOCUMENTO (AD USO INTERNO) NON SOSTITUISCE IL CERTIFICATO DI PROVA

Committente: Comune di Cantagallo

Dati del campione:

Provenienza: Via L'Estaque - Loc. Fossato - Cantagallo (PO)

Sondaggio n° 1 Campione n° 2 Prof. m 9,5 - 9,9

CODICE CAMPIONE 21027 02

Descrizione del campione:

Limo argillos bruno molto compatto. Presenza di inclusi ghiaiosi.

GRANDEZZE FISICHE DETERMINATE	Contenuto di acqua % Peso di volume kN/m³ Peso specifico dei granuli		- 20,3	
GRANDEZZE FISICHE CALCOLATE	Indice dei vuoti Porosità			
	Grado di saturazione % Densità secca kN/m³		-	
LIMITI DI CONSISTENZA	Limite di liquidità Limite di plasticità Limite di ritiro		- - -	
GRANULOMETRIA PER SETACCIATURA COMPLETA (SETACCIATURA E SEDIMENTAZIONE)	Passante setaccio 200 ciottoli+ghiaia sabbia limo argilla	% % % %	- - -	
CLASSIFICAZIONE AASHO (GRUPPO e SOTTOGRUP		-	_	-
RESISTENZA ALLA COMPRESSIONE SEMPLICE	(kPa)		-	
PROVA DI TAGLIO DIRETTA	angolo di attrito interno (gradi) coesione (kPa)		25 20	
PROVA TRIASSIALE CD	angolo di attrito interno eff. (grac coesione eff. (kPa)	fi)	-	
PROVA TRIASSIALE CUD	angolo di attrito interno eff. (grac coesione eff. (kPa)	fi)	-	
PROVA TRIASSIALE UU	coesione non drenata (kPa)		-	
PROVA DI TAGLIO TORSIONALE	angolo di attrito di picco (gradi) coesione di picco (kPa) angolo di attrito residuo (gradi) coesione residua (kPa)		- - -	
PROVA EDOMETRICA	Indice di compressione c_c Indice di rigonfiamento c_s Pressione di preconsolidazione		-	
PERMEABILITA'	Coeff.di permeabilità k (cm/s)		-	

ELABORAZIONE RISULTATI DATI SPERIMENTALI

PROVA DI TAGLIO

Committente: Comune di Cantagallo

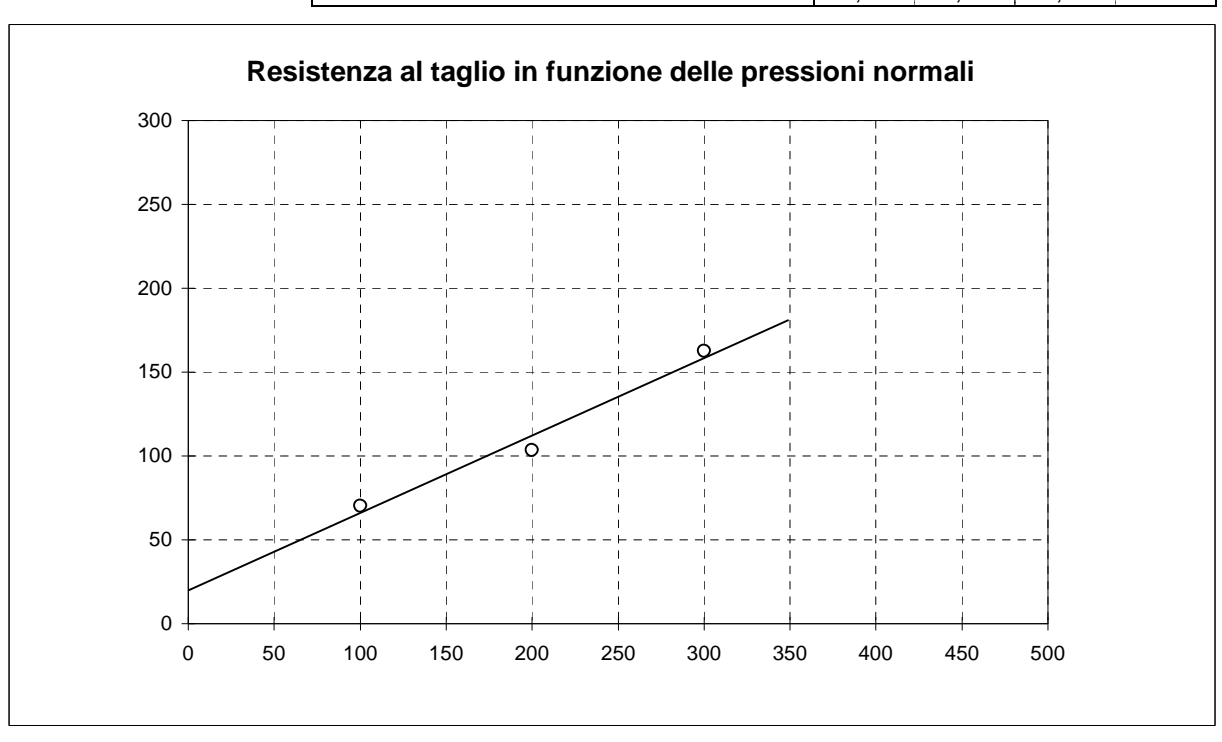
Dati del campione:

Provenienza: Loc. Fossato - Cantagallo (PO)

Sondaggio n° 1 Campione n° 2 Prof. m 9,5 - 9,9

STATO TENSIONALE A ROTTURA

Prova numero	1	2	3	
Pressione normale kPa	100	200	300	
Resistenza al taglio kPa	70	103	162	
Deformazione a rottura mm	6,46	4,30	4,30	



Coesione = 20 kPa

Angolo di attrito interno

25 °

Coefficiente di correlazione della retta:

0,9917

IBT Prospezioni S.r.I.

C.F. P.IVA 06802820487 Località Castiglioni 56 Rufina Firenze Cel 3485844183 e-mail albertoiotti.ai@gmail.com

Comune di Cantagallo (PO) Località Fossato Indagine MASW - Sismica a rifrazione – Misure HVSR



Committente:

COMUNE CANTAGALLO

FIRENZE, MAGGIO 2021

PREMESSA

Su incarico del Comune di Cantagallo è stata condotta una campagna di indagini geofisiche costituita da:

- un'indagine sismica mediante metodo MASW per la valutazione della velocità di propagazione delle onde Vs di taglio finalizzata alla definizione del tipo di suolo presente nell'area ai sensi di quanto previsto dalla vigente normativa
- una misura di microtremori per la valutazione del rapporto H/V per valutare la presenza di fenomeni di risonanza (HVSR)
- due stendimenti di sismica a rifrazione per la valutazione dei principali orizzonti presenti.

Di seguito sono riportati i risultati dell'analisi svolta.

L'area in esame si trova nel Comune di Cantagallo (PO) località Fossato. La Figura 2 riporta un'immagine recante l'ubicazione dello stendimento realizzato.



Fig - 2 – Ubicazione delle indagini realizzate



1 Sismica a rifrazione

Le onde elastiche provocate da una vibrazione si trasmettono nel suolo con velocità differenti per ogni litotipo. Nella prospezione sismica a rifrazione, si sfrutta la diversa velocità di propagazione delle onde longitudinali (onde P) e o trasversali (onde S), Le prime sono più veloci fra le diverse onde elastiche entrambe possono essere utilizzate per determinare spessori e andamento dei livelli presenti.

La prospezione consiste nel generare un'onda sismica di compressione o trasversale nel terreno attraverso una determinata sorgente di energia (colpo di mazza, maglio o esplosivo etc.) e nel misurare il tempo impiegato da questa a compiere il percorso nel sottosuolo dal punto di energizzazione fino agli apparecchi di ricezione (*geofoni*) seguendo le leggi di rifrazione dell'ottica (*Legge di Snell*). La rifrazione si verifica in corrispondenza delle superfici di separazione tra due strati sovrapposti di densità (o meglio di modulo elastico) crescente.

L'apparecchiatura necessaria per le prospezioni è costituita da una serie di ricevitori (geofoni) diversi per tipologia a seconda che si vogliano misurare le onde P o S che vengono spaziati lungo un determinato allineamento (stendimento) e da un cronografo che registra l'istante di inizio della perturbazione elastica ed i tempi di primo arrivo delle onde a ciascun geofono. Così, osservando i primi arrivi su punti posti a distanze diverse dalla sorgente energizzante, è possibile costruire una curva tempo-distanza (dromocrona) rappresentante la variazione del minimo percorso in funzione del tempo. Attraverso metodi analitici si ricavano quindi le velocità delle onde elastiche longitudinali ($V_p \ e/o \ V_s$) dei mezzi attraversati ed il loro spessore.

La velocità di propagazione delle onde elastiche nel suolo presenta ampie variazioni; per lo stesso tipo di roccia essa diminuisce col grado di alterazione, di fessurazione e/o di ismo strati; aumenta per contro con la profondità e l'età geologica. Sensibili differenze si possono avere, in rocce stratificate, tra le velocità rilevate lungo i piani di strato e quelle rilevate perpendicolarmente a questi. La velocità delle onde compressionali (onde P), diversamente da quelle trasversali (onde S) che non si trasmettono nell'acqua, è fortemente influenzata dalla presenza della falda acquifera e dal grado di saturazione.

Questo comporta che anche litotipi differenti possano avere uguali velocità delle onde sismiche compressionali (ad esempio roccia fortemente fratturata e materiale detritico saturo con velocità V_p dell'ordine di 1400÷1700 m/sec), per cui non necessariamente



l'interpretazione sismo stratigrafica corrisponderà con la reale situazione geologicostratigrafica.

Il metodo sismico a rifrazione è soggetto inoltre alle seguenti limitazioni:

- un livello può essere evidenziato soltanto se la velocità di trasmissione delle onde longitudinali in esso risulta superiore a quella dei livelli soprastanti (effetto della inversione di velocità);
- un livello di spessore limitato rispetto al passo dei geofoni e alla sua profondità può non risultare rilevabile;
- un livello di velocità intermedia compreso tra uno strato sovrastante a velocità minore ed uno sottostante a velocità sensibilmente maggiore può non risultare rilevabile perché mascherato dagli "arrivi" dallo strato sottostante (effetto dello strato nascosto e "zona oscura");
- aumentando la spaziatura tra i geofoni aumenta la profondità di investigazione, ma può ovviamente ridursi la precisione nella determinazione della profondità dei limiti di passaggio tra i diversi livelli individuati. In presenza di successioni di livelli con velocità (crescenti) di poco differenti tra loro, orizzonti a velocità intermedia con potenza sino anche ad 1/3 del passo adottato possono non essere evidenziati. Il limite tra due orizzonti può quindi in realtà passare "attraverso" un terzo intermedio non evidenziabile;
- analogamente, incrementi graduali di velocità con la profondità danno origine a dromocrone che consentono più schemi interpretativi. Il possibile errore può essere più contenuto potendo disporre di sondaggi di taratura e "cercando" sulle dromocrone delle basi sismiche i livelli che abbiano velocità il più possibile simili a quelle ottenute con le tarature.

Per contro i moderni metodi di elaborazione del dato sismico, come il *Generalized Reciprocal Method* (GRM: PALMER, 2001), consentono di ricostruire la morfologia sepolta di più rifrattori sovrapposti, variamente "accidentati" e con velocità variabili lungo il profilo, anche in presenza di morfologie di superficie non piane: la buona precisione raggiungibile, specie se si dispone di sondaggi di taratura, consente talora di elevare la prospezione sismica da semplice valutazione qualitativa a valido supporto quantitativo dell'indagine geognostica. In particolare nel caso in esame viene proposta una interpretazione di tipo tomografico ottenuta mediante l'impiego del software RAY-FRACT.

1.1 Sistema di acquisizione

L'acquisizione dei dati in campagna è stata eseguita utilizzando un sistema composto dalle seguenti parti:

• sismografo: Daq Link III, 24 canali, 24 bit

• sorgente energizzante: cannone e/o mazza 20kg

• trigger: innesco a molla

 apparecchiatura di ricezione: 24 geofoni orizzontali con frequenza propria di 4.5 e 10 Hz.

1.2 I risultati nell'area in esame

Le caratteristiche della geometria degli stendimenti sono riassunte in Tabella 1.

Stendimento	Lunghezza	N° Shot	Onde	N° geofoni
St1 S-N	52	4	P	12
St2 W-E	52	4	P-MASW	12

Tabella 1 - Geometria dello stendimento.

L'indagine sismica ha permesso di valutare la presenza di diversi orizzonti rifrattori e l'elaborazione tomografica ha permesso di valutare la presenza di variazione di velocità di propagazione delle onde S all'interno di uno stesso orizzonte.

1.2.1 Stendimento St1 onde P

Questo stendimento si allunga lungo l'area con orientazione circa S-N. La Figura 2 riporta le dromocrone relative ai primi arrivi per questo stendimento.

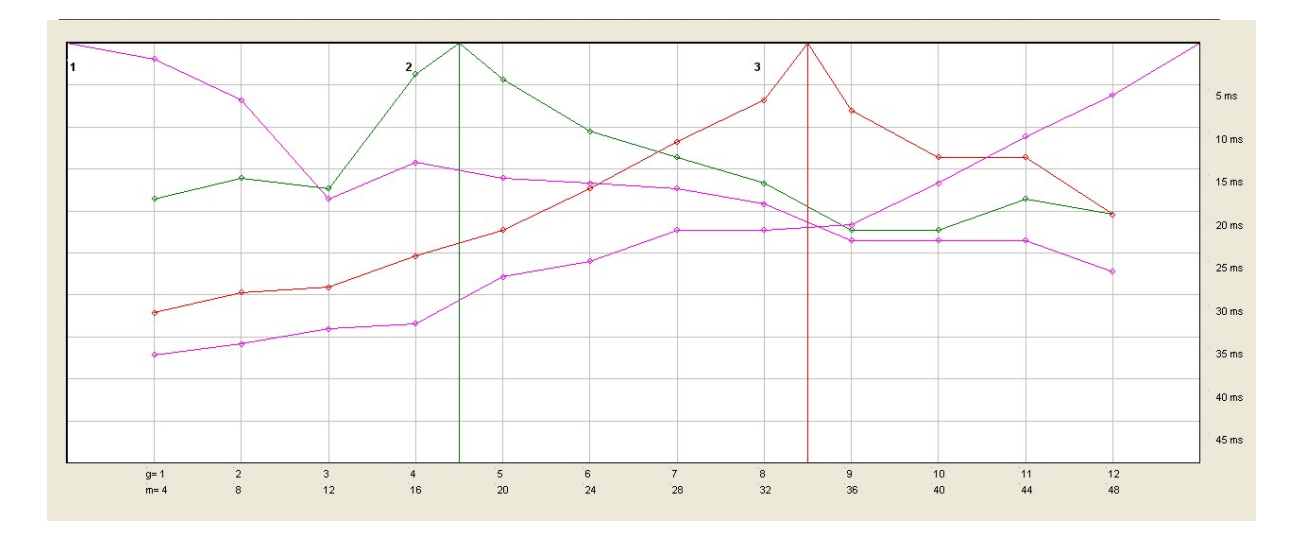


Figura 2 - Dromocrone stendimento St1 onde p.

È possibile riconoscere tre orizzonti: un primo orizzonte con velocità di propagazione delle onde p fino a 700-900 m/s con spessore massimo varabile da 4 a 8-10m interpretabile come depositi copertura alterazione; lo spessore di questo livello si mostra molto diverso tra la parte alta dello stendimento dove si trova la strada e gli spessori sono massimi. È riconoscibile un secondo orizzonte con velocità delle onde p fino a 1500-1700 m/s con spessore massimo investigato di circa 5 m; questo orizzonte è interpretabile come substrato alterato / detrito addensato. Il terzo orizzonte con velocità maggiori è interpretabile come substrato poco alterato; è significativo notare come il substrato sia riconosciuto solo nel tratto iniziale dello stendimento e sembri approfondirsi nel tratto finale.

La Figura 3 riporta l'interpretazione e tomografica per lo stendimento 1

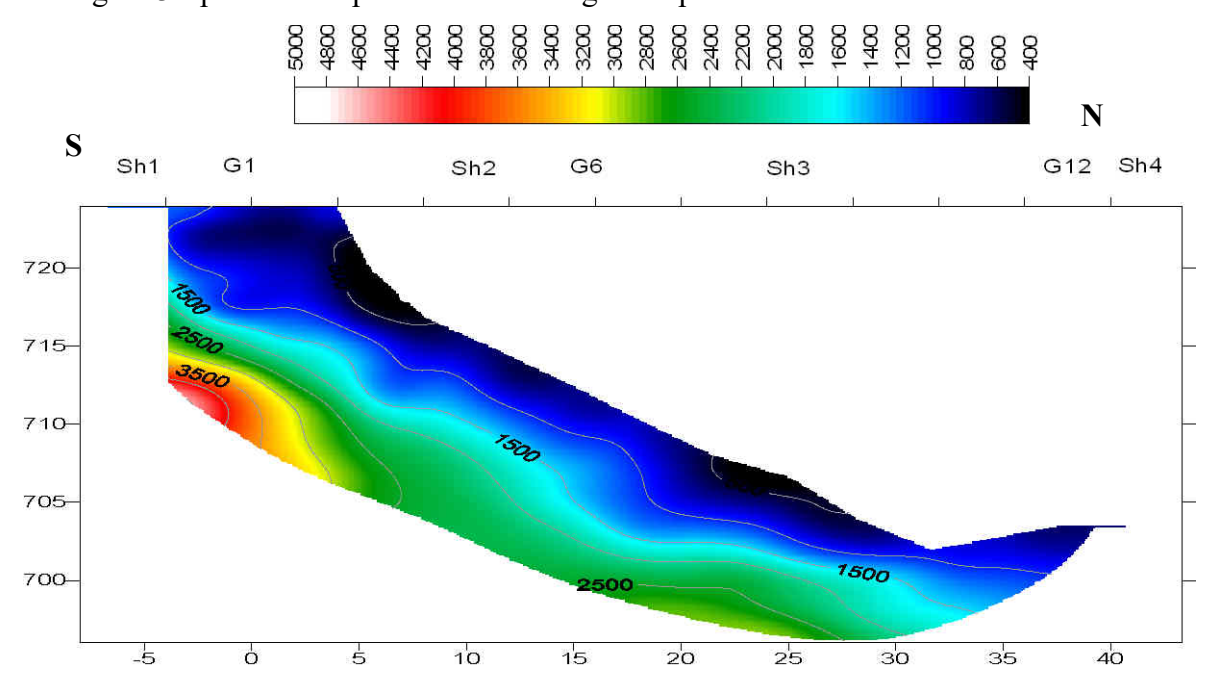


Figura 3 - Tomografia stendimento 1 onde p (distanze e profondità in m).

1.2.2 Stendimento St12 onde P

Questo stendimento si allunga lungo l'area con orientazione circa W-E. La Figura 2 riporta le dromocrone relative ai primi arrivi per questo stendimento.

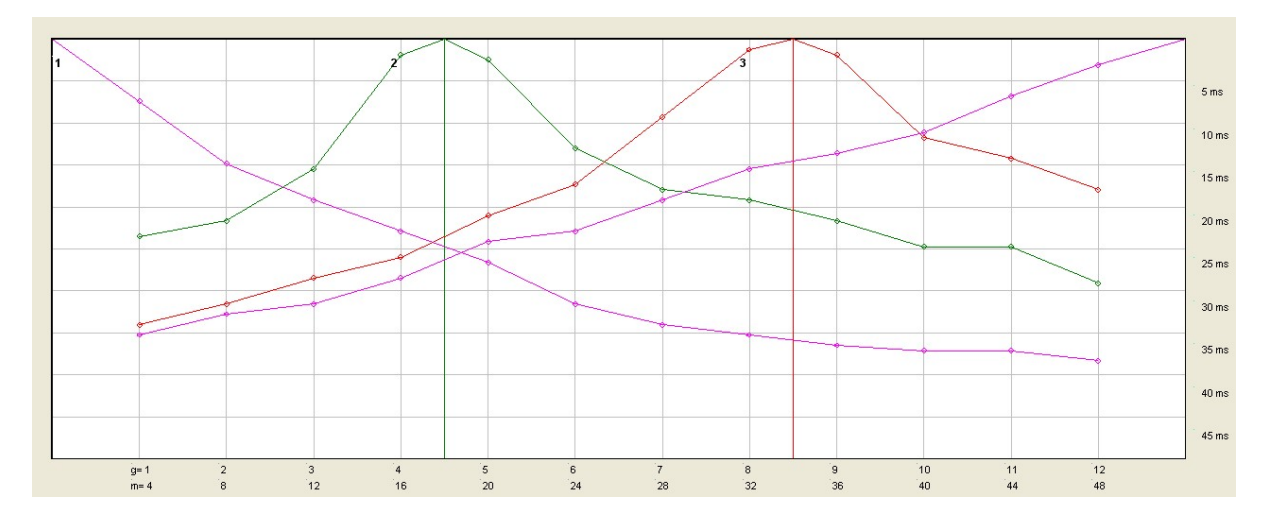


Figura 2 - Dromocrone stendimento St1 onde p.

È possibile riconoscere tre orizzonti: un primo orizzonte con velocità di propagazione delle onde p fino a 700-900 m/s con spessore massimo varabile da 4 a 10-12m interpretabile come depositi copertura alterazione; lo spessore di questo livello si mostra massimo nel tratto iniziale dello stendimento. È riconoscibile un secondo orizzonte con velocità delle onde p fino a 1500-1700 m/s con spessore massimo investigato di circa 5 m nel primo tratto dello stendimento e con spessore maggiore 8-12 m nel tratto finale; questo orizzonte è interpretabile come substrato alterato / detrito addensato. Il terzo orizzonte con velocità maggiori è interpretabile come substrato poco alterato.

La Figura 3 riporta l'interpretazione e tomografica per lo stendimento 1

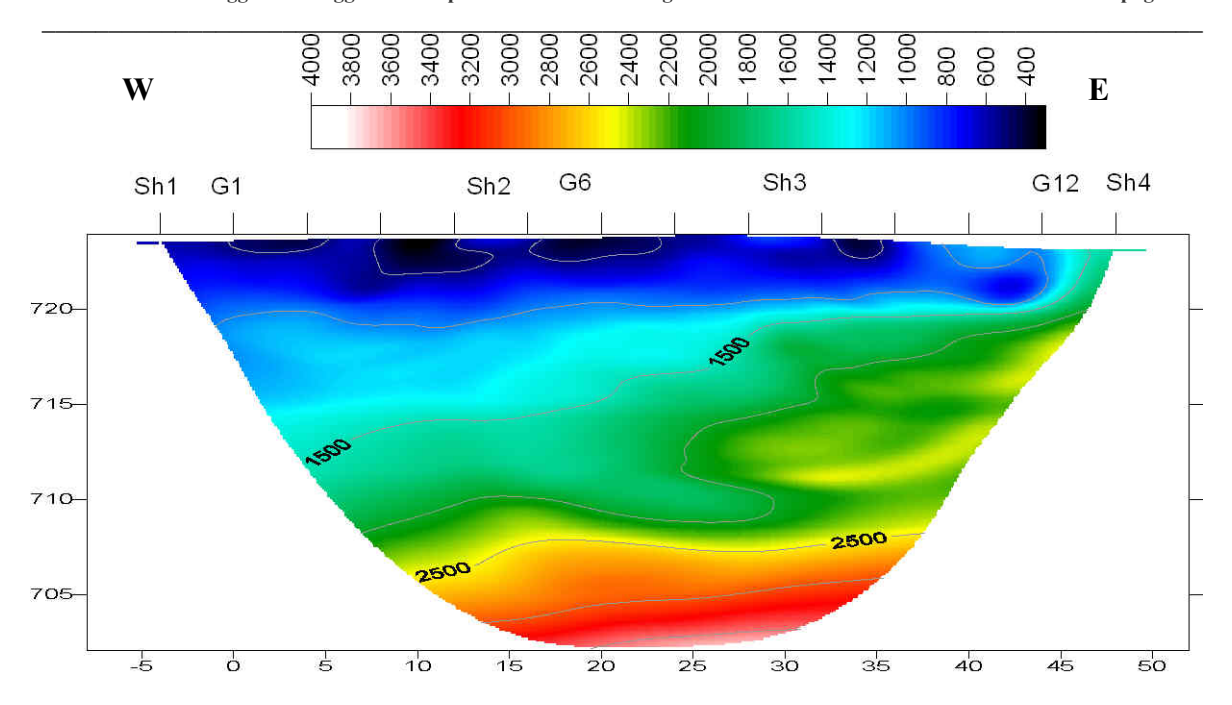


Figura 3 - Tomografia stendimento 1 onde p (distanze e profondità in m).

2 Indagine MASW

Sono stati eseguiti due stendimenti per l'acquisizione dei dati da sottoporre ad una elaborazione MASW (Multichannel Analysis of Surface Waves) per la valutazione dell'andamento della velocità delle onde di taglio nei primi 30 m Ve. È stato impiegato il metodo *attivo* che consente in genere di ottenere una velocità di fase (quindi una curva di dispersione) sperimentale apparente nell'intervallo di frequenza compreso tra 5 e 70 Hz che da quindi informazioni sulla fascia più superficiale di terreno. I due stendimenti sono stati realizzati prima e dopo la struttura di attraversamento.

Le fasi prevedono del procedimento applicato prevedono:

- 1. calcolo della velocità di fase e ricostruzione della curva di dispersione
- 2. calcolo della velocità di fase apparente numerica
- 3. individuazione del profilo di velocità delle onde di taglio verticali vs per interazione e confronto con i dati sperimentali fino ad una sovrapposizione ottimale
- 4. calcolo della velocità equivalente nei primi 30 m di profondità
- 5. Riconoscimento della categoria sismica del suolo secondo la normativa sismica OPCM 3274 e le NTC 2008.

2.1 Acquisizione dei dati

I dati sono stati acquisiti con un sismografo Daq Link III 24 bit 24 canali lungo una linea sismica con interasse geofonico pari a 2 m, intervallo di campionamento di 2 ms e finestra di campionamento pari a 3 s. La Figura 2 riporta le tracce registrate dei dati acquisiti.

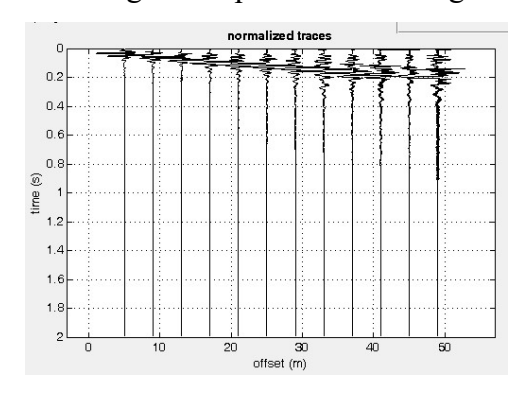


Figura 3 - Tracce dei dati acquisiti



2.2 Ricostruzione della curva di dispersione

A partire dalla rappresentazione delle velocità verticali dell'intero campo di moto nel dominio frequenza numero d'onda (Figura 4) viene estratta la curva di dispersione apparente sperimentale nell'intervallo di frequenza compreso tra 2 e 70 Hz che come detto caratterizza gli strati più superficiali (30 m).

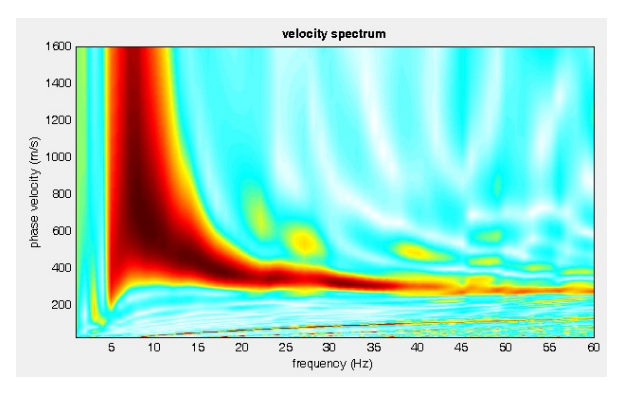


Figura 4 - Spettro delle velocità dell'intero campo di moto

2.3 Confronto tra la curva sperimentale e quelle calcolata

Una volta ricostruita e discretizzata la curva di dispersione sperimentale ne viene generata una calcolata e sovrapposta a quella sperimentale modificando la curva calcolata fino ad avere una buona sovrapposizione con quella sperimentale (Figura 5).

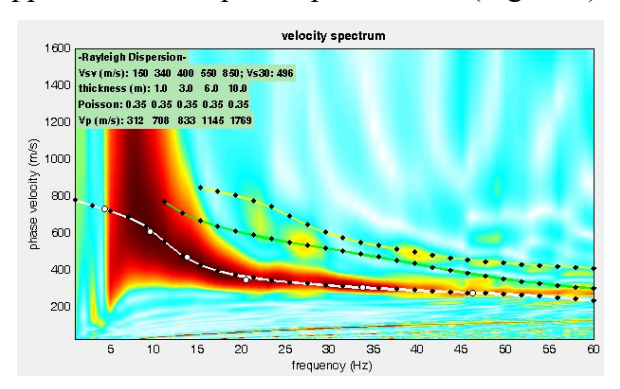


Figura 5 - Confronto tra la curva sperimentale e quella calcolata

È a questo punto possibile passare a definire un profilo di velocità del substrato sul quale calcolare la Vs 30 (Figura 6).

 $Sondaggi\ a\ carotaggio\ -\ Prove\ penetrometriche-Indagini\ Sismiche-Misure\ inclinometriche-Rilievi\ topografici$

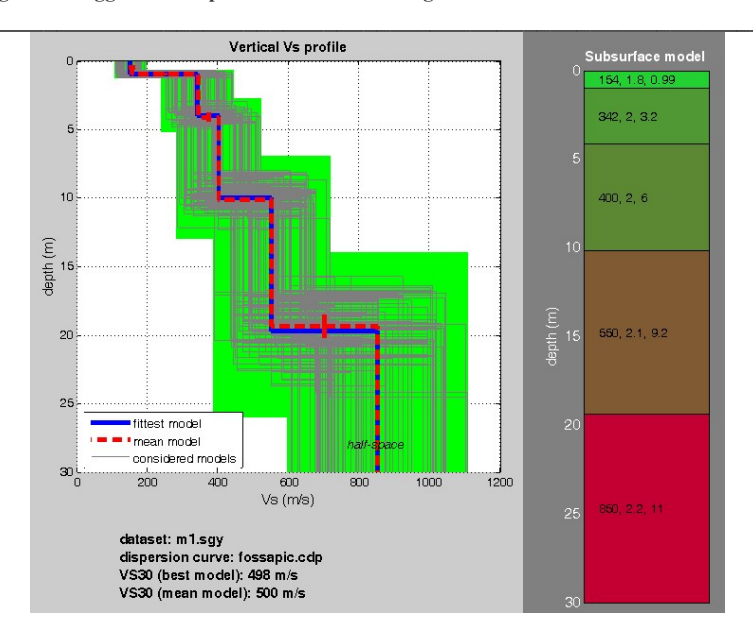
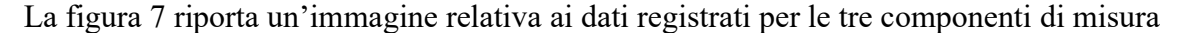


Figura 6 – Andamento della velocità Vs con la profondità



3 Riconoscimento dei picchi di risonanza



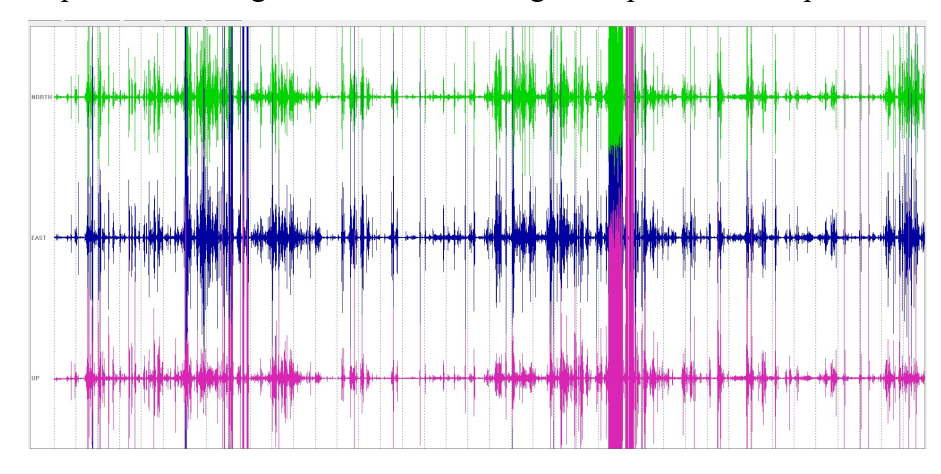


Fig. 7 - Andamento delle registrazioni delle tre componenti di microtremore nei punti di misura

Da segnale misurato è possibile per ogni componente ottenete lo spettro di risposta frequenza contro velocità su frequenza sintetizzato per le tre componenti nella figura 8

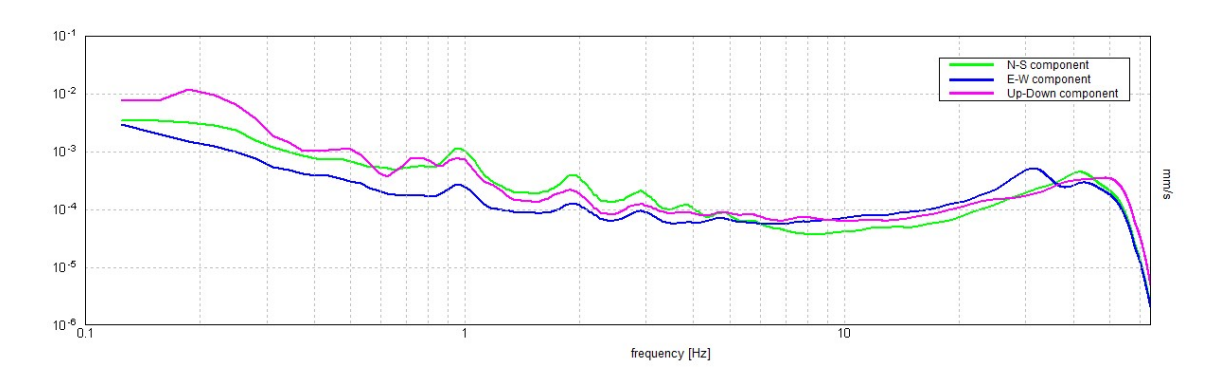


Fig. 8 - Andamento degli spettri f-v/f nelle tre componenti nei punti di misura.

Dall'analisi degli spettri è possibile ottenere per le varie frequenze il rapporto H/V che indica la presenza di fenomeni di risonanza. L'analisi del rapporto deve considerare la direzionalità del picco. Un picco strutturale e non influenzato ad esempio da una sorgente esterna si mostrerà costante nelle diverse direzioni. La figura 9 mostra il valore del rapporto H/V in un diagramma Azimuth-Frequenza La presenza di un picco costante nelle varie direzioni si manifesta con una linea orizzontale continua, una fascia stretta indica una frequenza precisa di risonanza, una fascia di colore più alta indica una disperazione nel valore della frequenza.



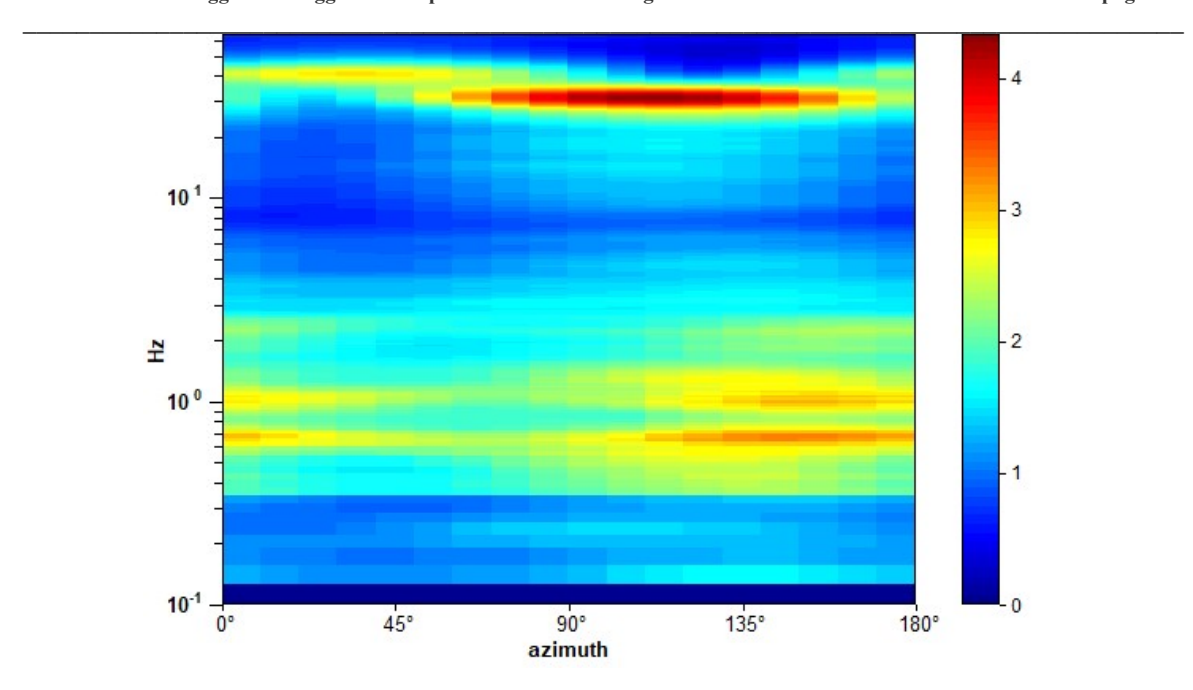


Fig. 9 - Andamento del rapporto H/V in un diagramma Azimuth - Frequenza La figura 10 riporta L'andamento del rapporto H/V in funzione della Frequenza.

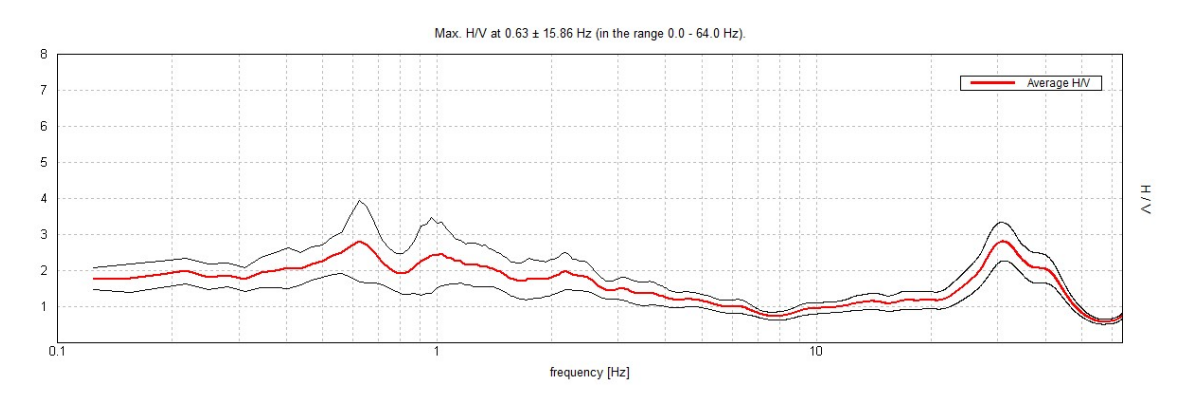


Fig. 10 - Andamento del rapporto H/V alle varie frequenze nei punti di misura In letteratura si ritengono significativi picchi con ampiezza maggiore di 2, dall'analisi della direzionalità del segnale, ottenuta confrontando la componente verticale e le due componenti orizzontali separate (Figura 4 e 9), si vede che nella misura 1 è presente un evidente picco con frequenza 32 Hz. e ampiezza 2.8.



4 Riconoscimento della Ve (NTC 2018) e del profilo di appartenenza

In base a quanto definito nelle NTC 2018 la categoria di suolo deve essere definita in funzione della velocità equivalente calcolata secondo l'espressione:

$$V_{S,eq} = \frac{H}{\sum_{i=1}^{N} \frac{h_i}{V_{S,i}}}$$
 [3.2.1]

con:

h_i spessore dell'i-esimo strato;

V_{Si} velocità delle onde di taglio nell'i-esimo strato;

N numero di strati;

H profondità del substrato, definito come quella formazione costituita da roccia o terreno molto rigido, caratterizzata da Vs non inferiore a 800 m/s.

La tabella 3 riporta le categorie di suolo come definite nelle NTC 2018.

Categoria	Caratteristiche della stratigrafia
Α	Ammassi rocciosi affioranti o terreni molto rigidi caratterizzati da valori di velocità delle onde
	di taglio superiori a 800 m/s, eventualmente comprendenti in superficie terreni di caratteristiche
	meccaniche più scadenti con spessore massimo pari a 3 m.
В	Rocce tenere e depositi di terreni a grana grossa molto addensati o terreni a grana fina molto consistenti,
	caratterizzati da un miglioramento delle proprietà meccaniche con la profondità e da
	valori di velocità equivalente compresi tra 360 m/s e 800 m/s.
С	Depositi di terreni a grana grossa mediamente addensati o terreni a grana fina mediamente consistenti
	con profondità del substrato superiori a 30 m, caratterizzati da un miglioramento delle
	proprietà meccaniche con la profondità e da valori di velocità equivalente compresi tra
	180 m/s e 360 m/s.
D	Depositi di terreni a grana grossa scarsamente addensati o di terreni a grana fina scarsamente consistenti,
	con profondità del substrato superiori a 30 m, caratterizzati da un miglioramento delle
	proprietà meccaniche con la profondità e da valori di velocità equivalente compresi tra
	100 e 180 m/s.
E	Terreni con caratteristiche e valori di velocità equivalente riconducibili a quelle definite per le categorie
	C o D, con profondità del substrato non superiore a 30 m.

Tabella 3 - Categorie di suolo NTC 2018

La velocità Ve per il terreno in esame è pari a 408 m/s. Il terreno può essere classificato come terreno di categoria B.

Firenze, maggio '21

Dott. Alberto Iotti

IBT Prospezioni Srl

All Sol